

# **BASt FE 86.0096/2014**

## **Brandüberschlag in Straßentunneln**

### **Anlage A6: Rechteck Mulde Richtungsverkehr 300 kg/s owF**

Bauherr: **BASt**  
Brüderstraße 53  
51427 Bergisch Gladbach

Auftraggeber: **BASt**  
Brüderstraße 53  
51427 Bergisch Gladbach

Auftrag Nr.: 6.1/14-011

Berechnete Bauteile:

Gesamtumfang: 75 Seiten

Aufgestellt:	Dr.-Ing. habil. Jörg Schmidt Dr. rer. nat. Peter Simon Dipl.-Ing. (BA) Tom Guder	10/2014
--------------	--	---------

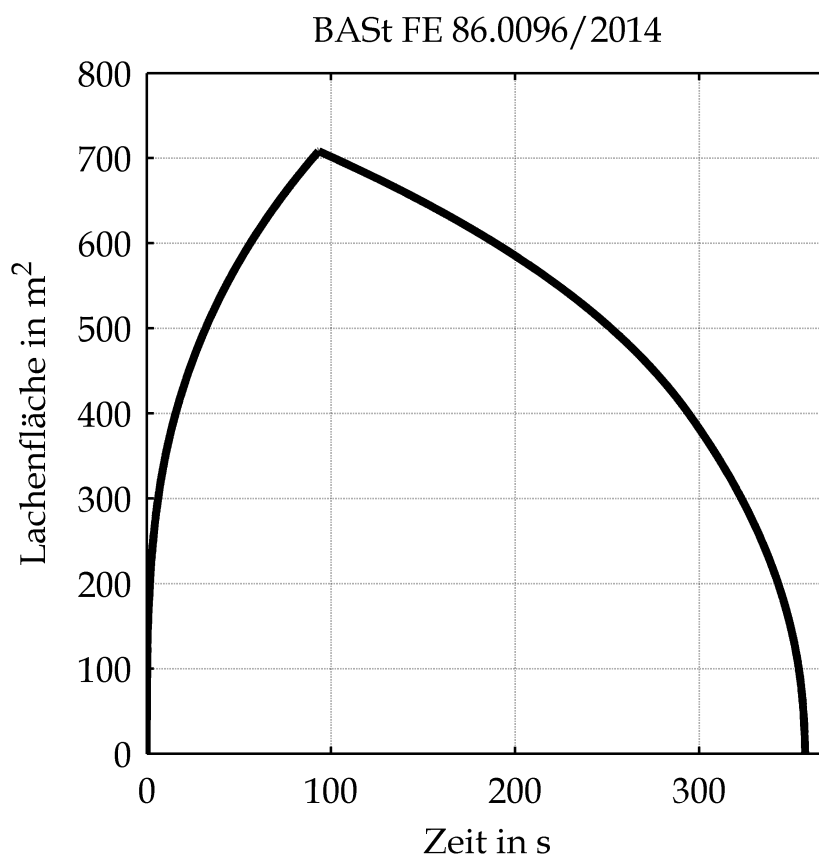
Intern geprüft:	Prof. Dr.-Ing. Frank Dehn
-----------------	---------------------------

Raum für Prüfeintragungen:

## I Gesamtinhaltsverzeichnis

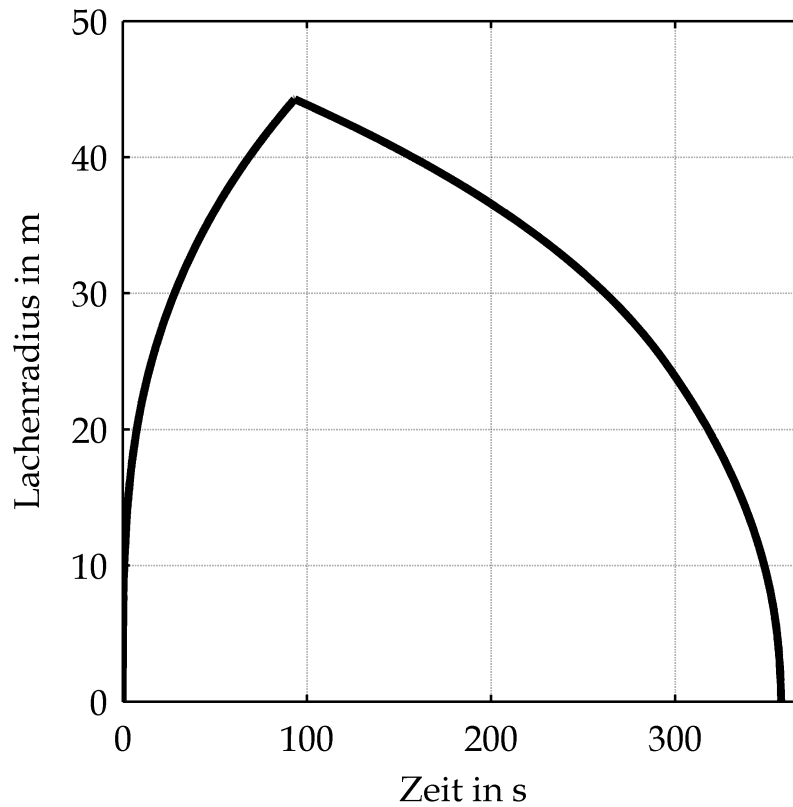
<b>II</b>	<b>Ermittlung der Lachengeometrie unter Berücksichtigung der Ventilation</b>	<b>2</b>
<b>III</b>	<b>Berechnungsergebnisse</b>	<b>14</b>
1	Energien und Bauteiltemperaturen . . . . .	14
2	Wärmestrahlung an der Tunneldecke . . . . .	22
3	Gastemperaturen . . . . .	28
4	Gasgeschwindigkeiten . . . . .	34
5	Sauerstoffgehalt . . . . .	40
6	Kohlendioxidgehalt . . . . .	46
7	Kohlenmonoxidgehalt . . . . .	52
8	Optische Dichte . . . . .	58
9	Sichtweiten . . . . .	64
<b>IV</b>	<b>Bewerteter Temperatur-Zeit-Verlauf</b>	<b>70</b>
<b>V</b>	<b>Durchwärmungsverhalten</b>	<b>71</b>

## II Ermittlung der Lachengeometrie unter Berücksichtigung der Ventilation

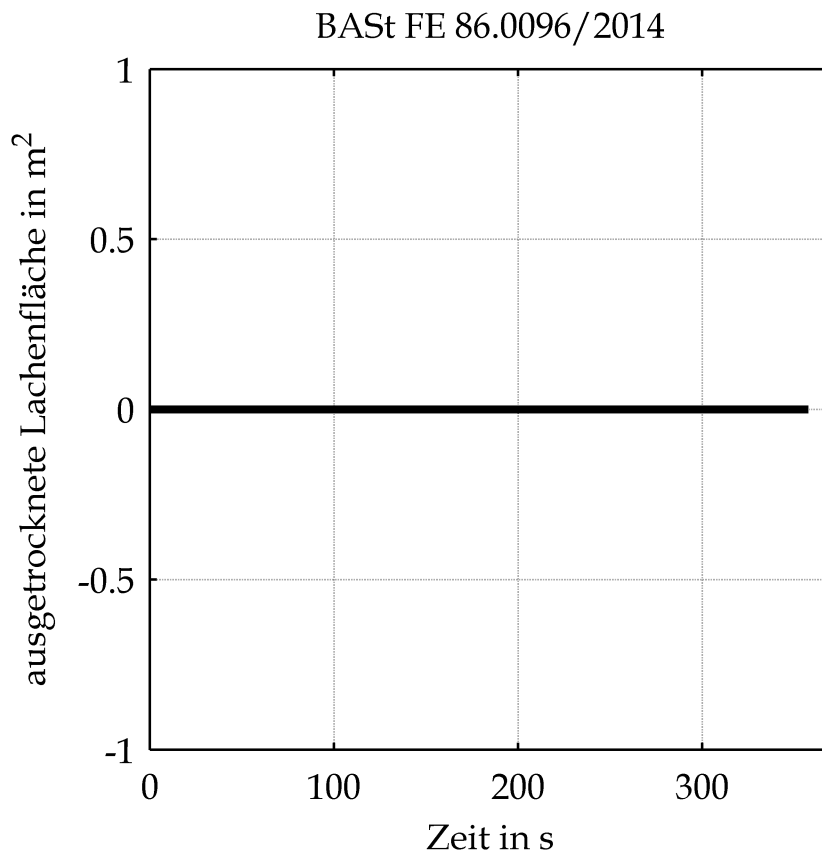


Fläche der Lache in Abhängigkeit von der Zeit

### BASt FE 86.0096/2014

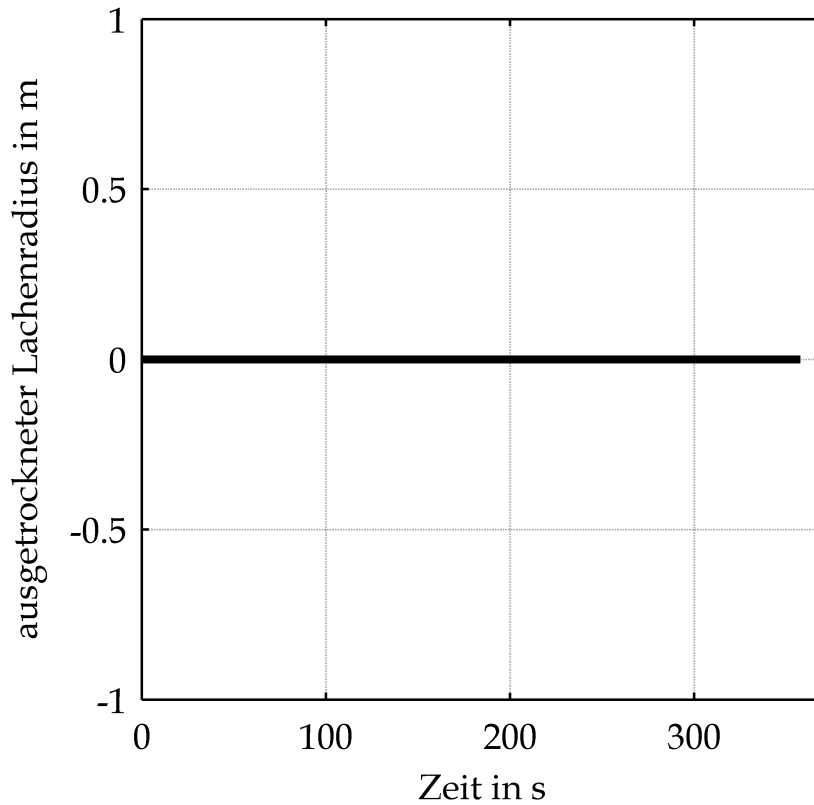


Radius der Lache in Abhängigkeit von der Zeit



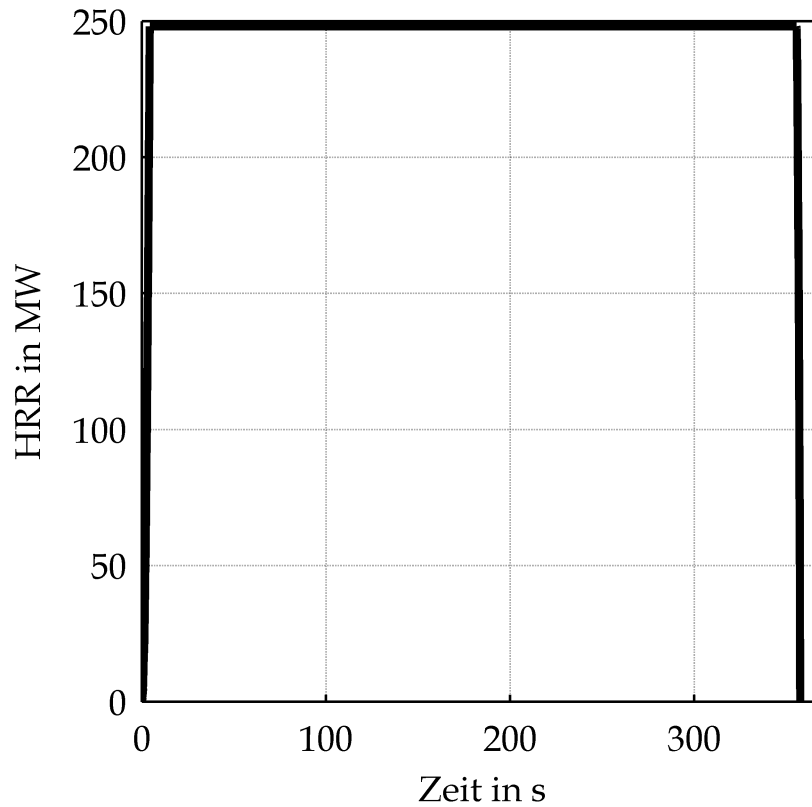
Fläche der ausgetrockneten Lache in Abhängigkeit von der Zeit

### BASSt FE 86.0096/2014



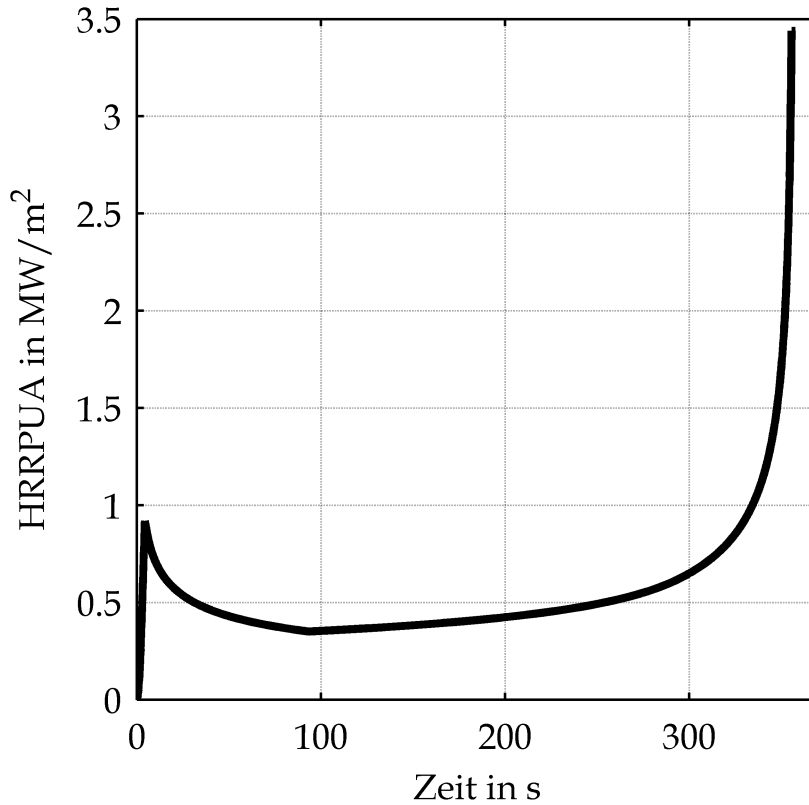
Radius der ausgetrockneten Lache in Abhängigkeit von der Zeit

BAS<sub>t</sub> FE 86.0096/2014



Wärmefreisetzungsrate (HRR) in Abhängigkeit von der Zeit

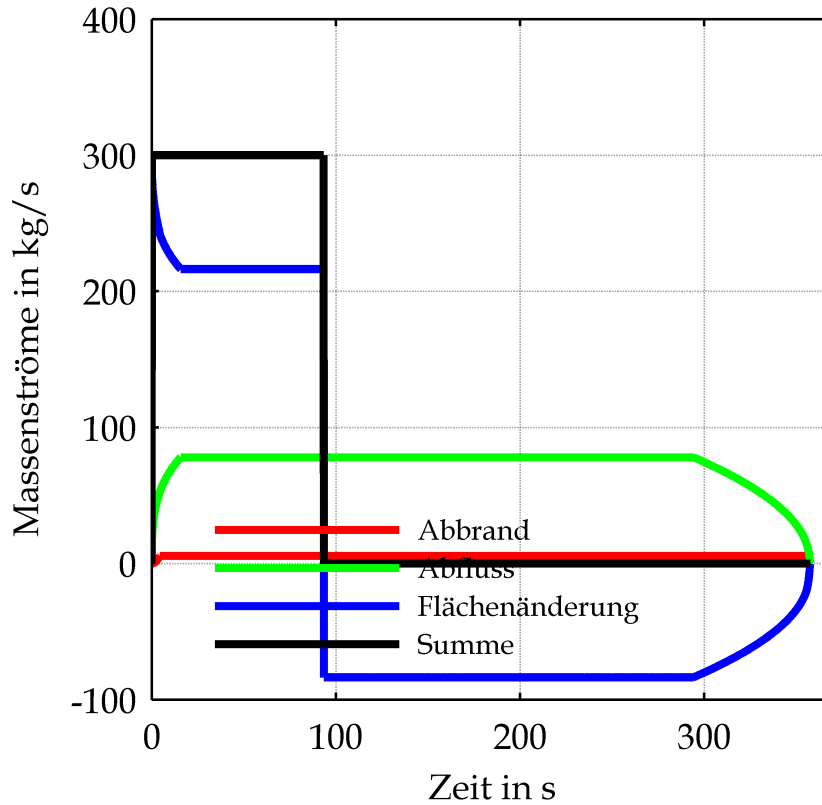
BASSt FE 86.0096/2014



Wärmefreisetzungsrate pro Flächeneinheit (HRRPUA)  
in Abhängigkeit von der Zeit

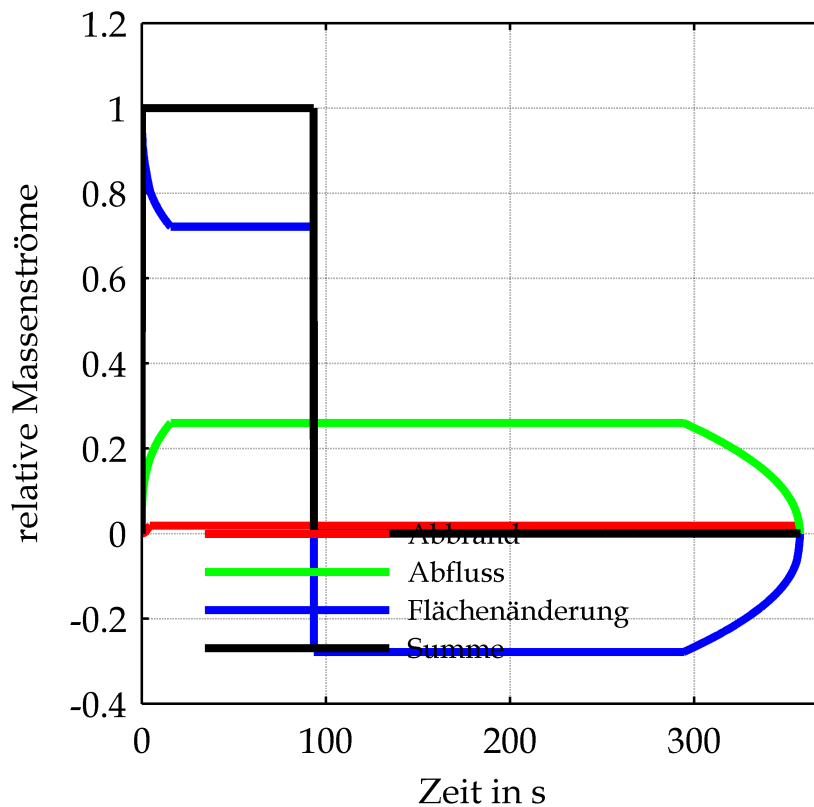


### BASt FE 86.0096/2014



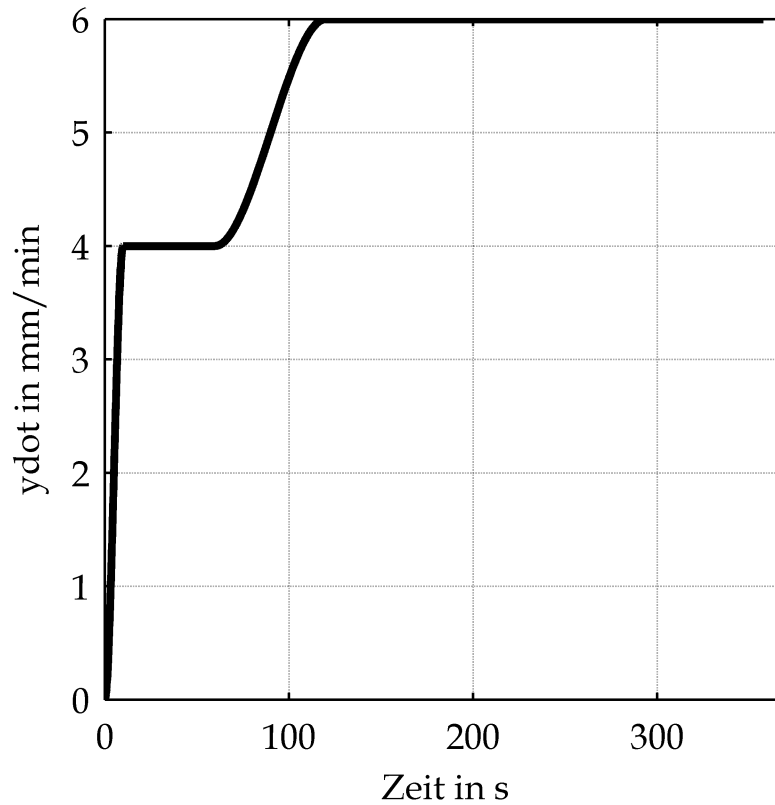
Gesamtübersicht der Massenströme in Abhängigkeit von der Zeit

### BASSt FE 86.0096/2014



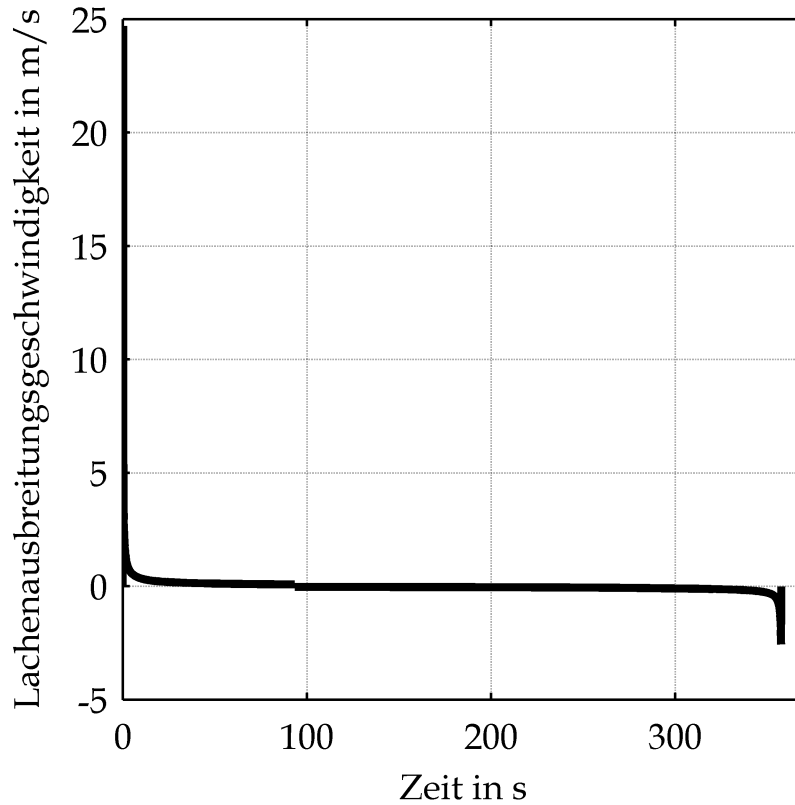
Gesamtübersicht der auf die austretende Flüssigkeit bezogenen Massenströme in Abhängigkeit von der Zeit

BAS<sub>t</sub> FE 86.0096/2014

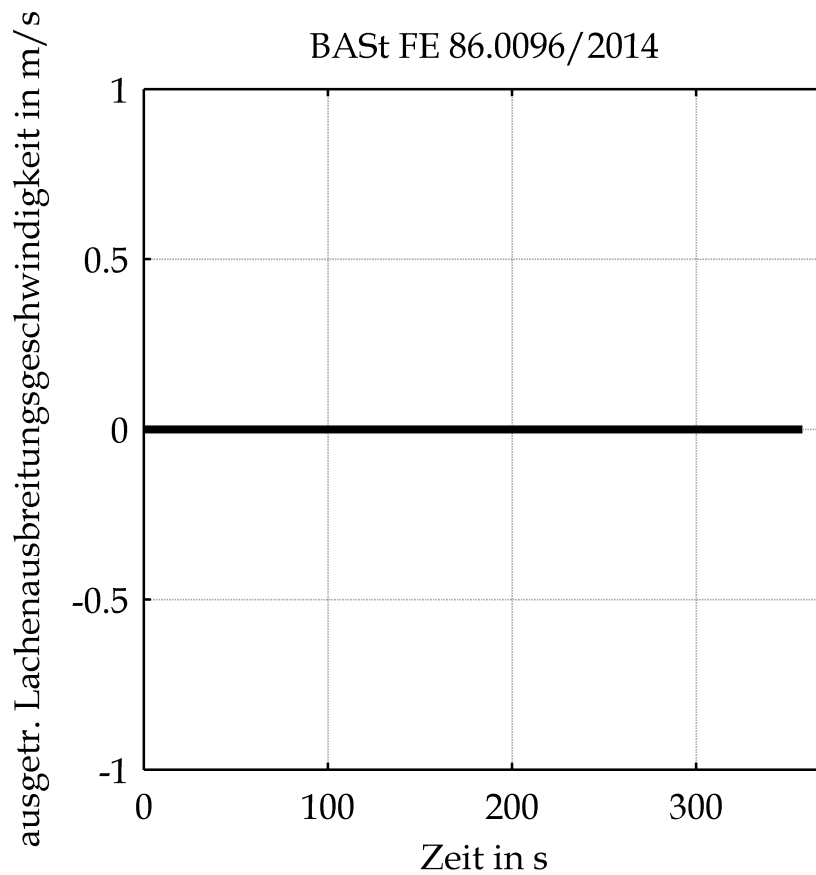


Vorgegebene Abbrandgeschwindigkeit in Abhängigkeit von der Zeit

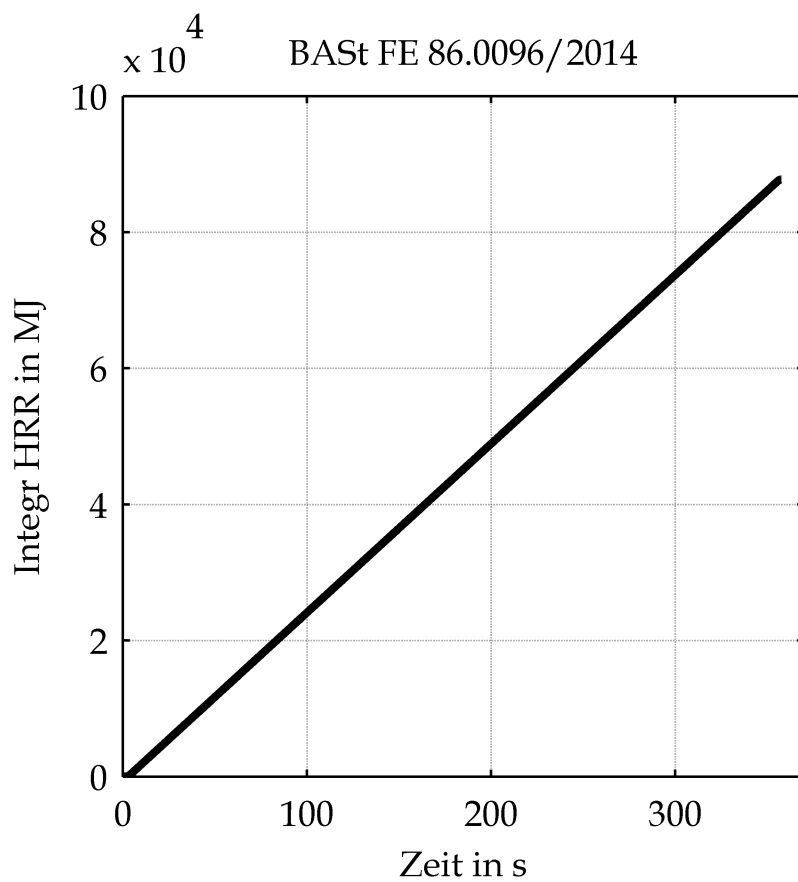
### BASt FE 86.0096/2014



Ausbreitungsgeschwindigkeit der Lache in Abhängigkeit von der Zeit



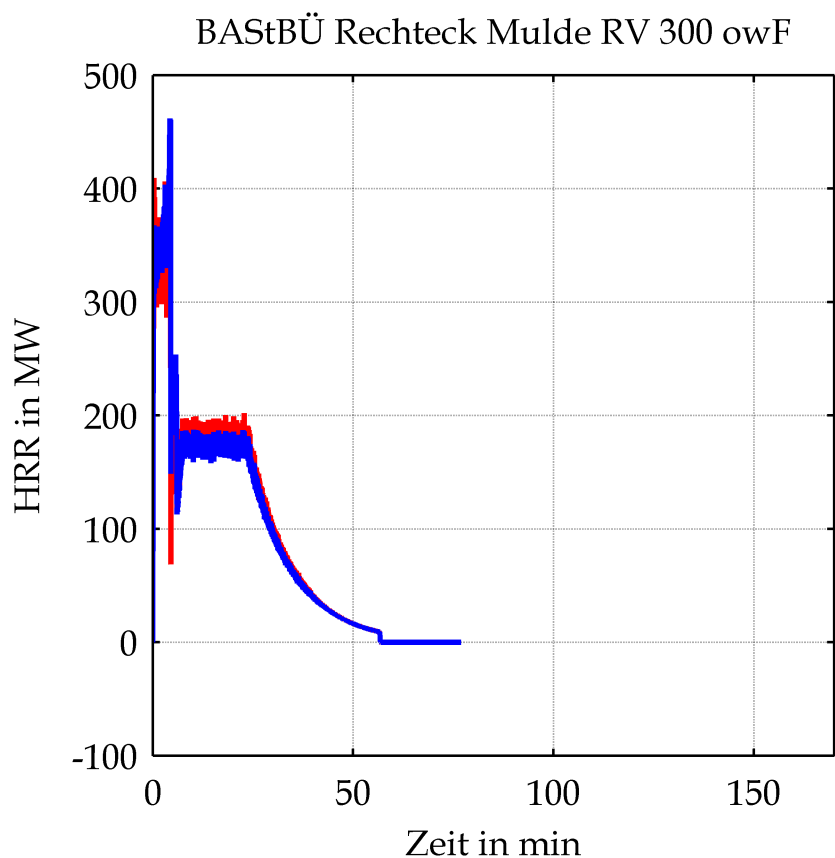
Austrocknungsgeschwindigkeit der Lache in  
Abhängigkeit von der Zeit



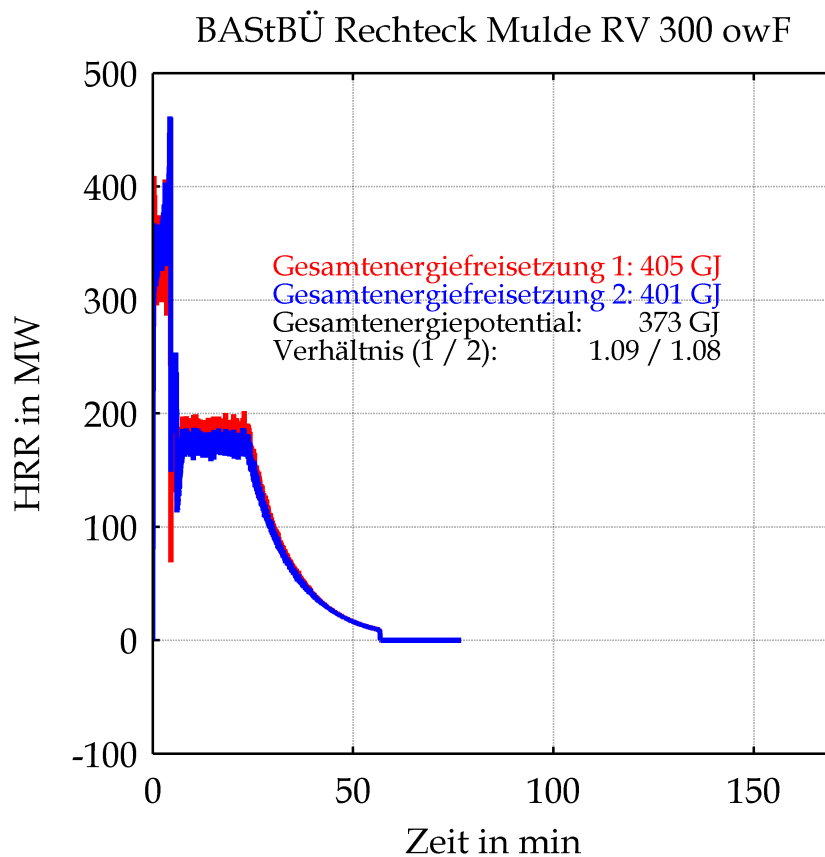
Freigesetzte Gesamtenergie in Abhängigkeit von der Zeit

### III Berechnungsergebnisse

#### 1 Energien und Bauteiltemperaturen

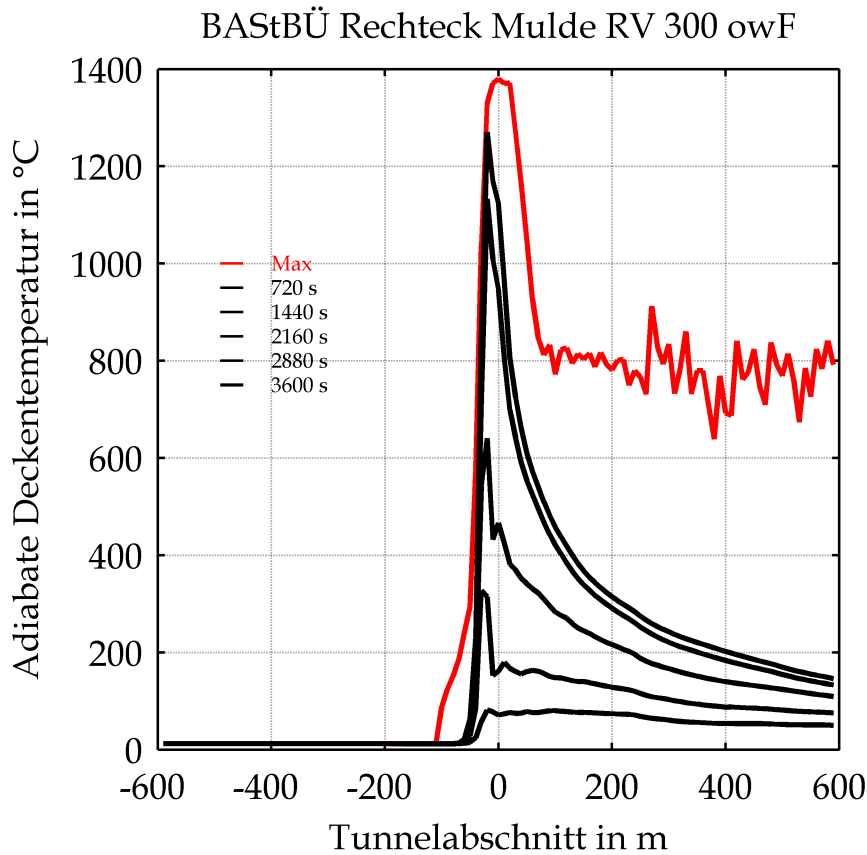


Mittels CFD-Berechnung ermittelte Wärmefreisetzungsrate in Abhängigkeit von der Zeit unter Berücksichtigung der Ventilationsbedingungen bzw. der Sauerstoffversorgung (rot: Integral der Energiedichte; blau: Energieverluste an den Modellgrenzen)

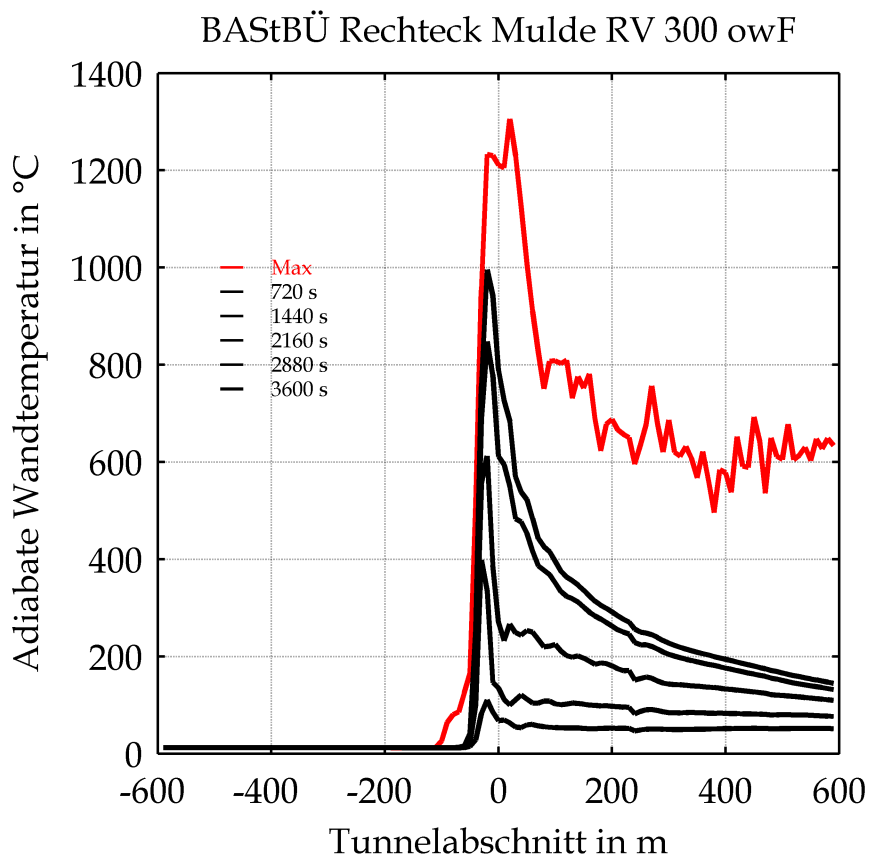


Mittels CFD-Berechnung ermittelte Wärmefreisetzungsrate in Abhängigkeit von der Zeit unter Berücksichtigung der Ventilationsbedingungen bzw. der Sauerstoffversorgung (rot: Integral der Energiedichte; blau: Energieverluste an den Modellgrenzen) sowie Vergleich der Gesamtenergiefreisetzung mit dem Gesamtenergiepotential

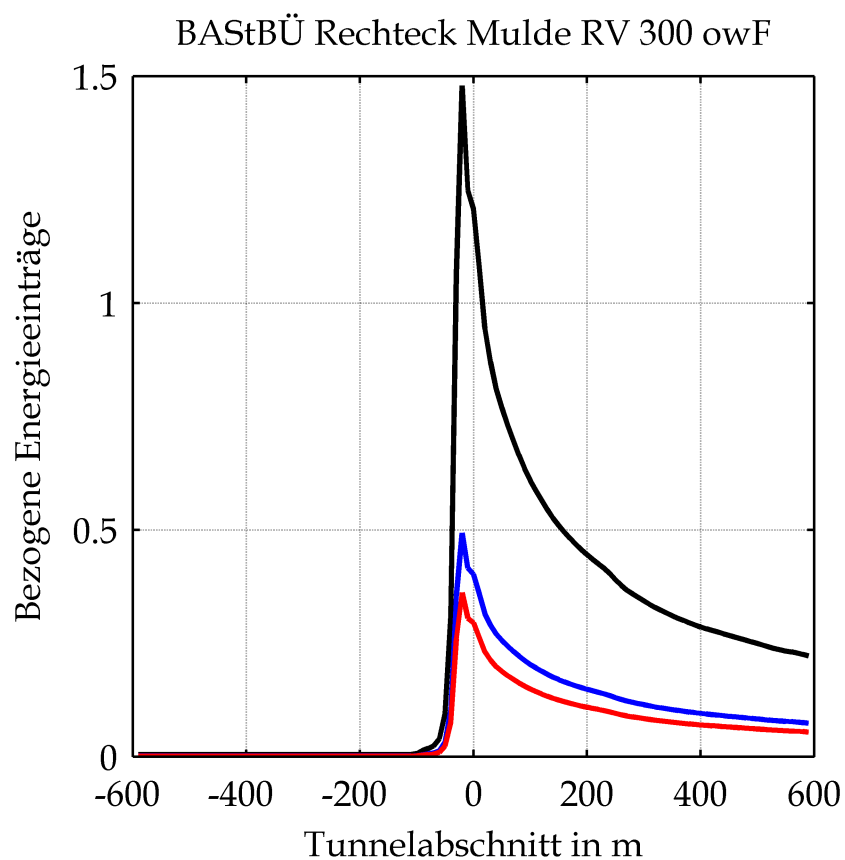




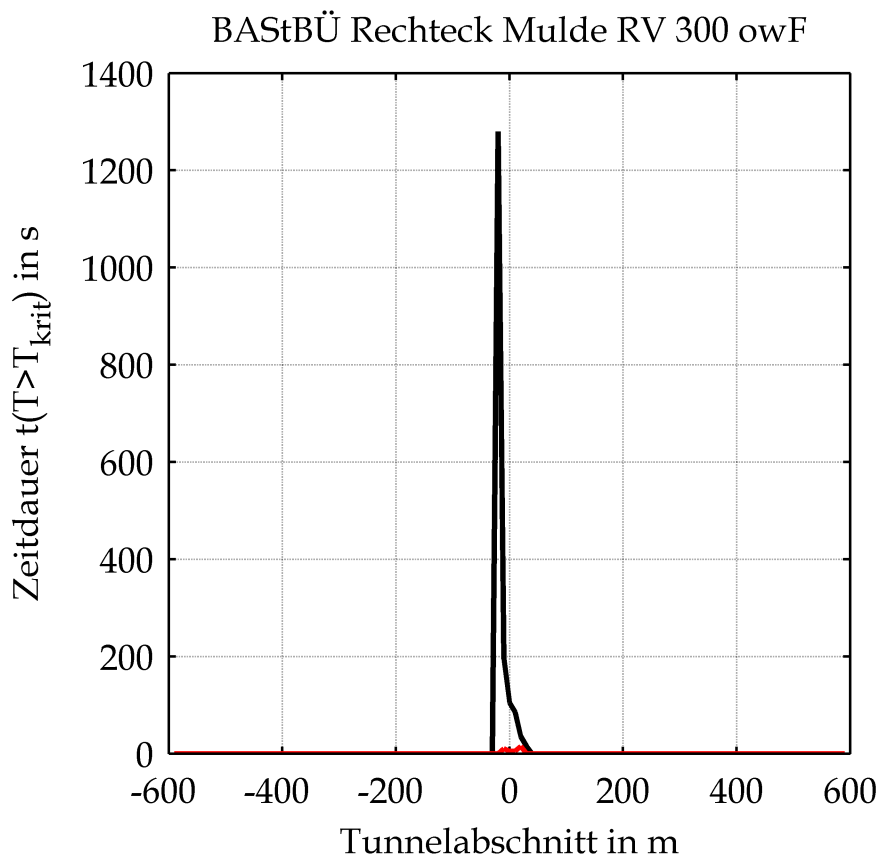
Mittels CFD-Berechnung ermittelte adiabate Deckentemperaturen in Abhängigkeit von der Zeit unter Berücksichtigung der Ventilationsbedingungen bzw. der Sauerstoffversorgung (rot: Maximalwerte, schwarz: Temperaturen in Abhängigkeit von der Einwirkungsdauer)



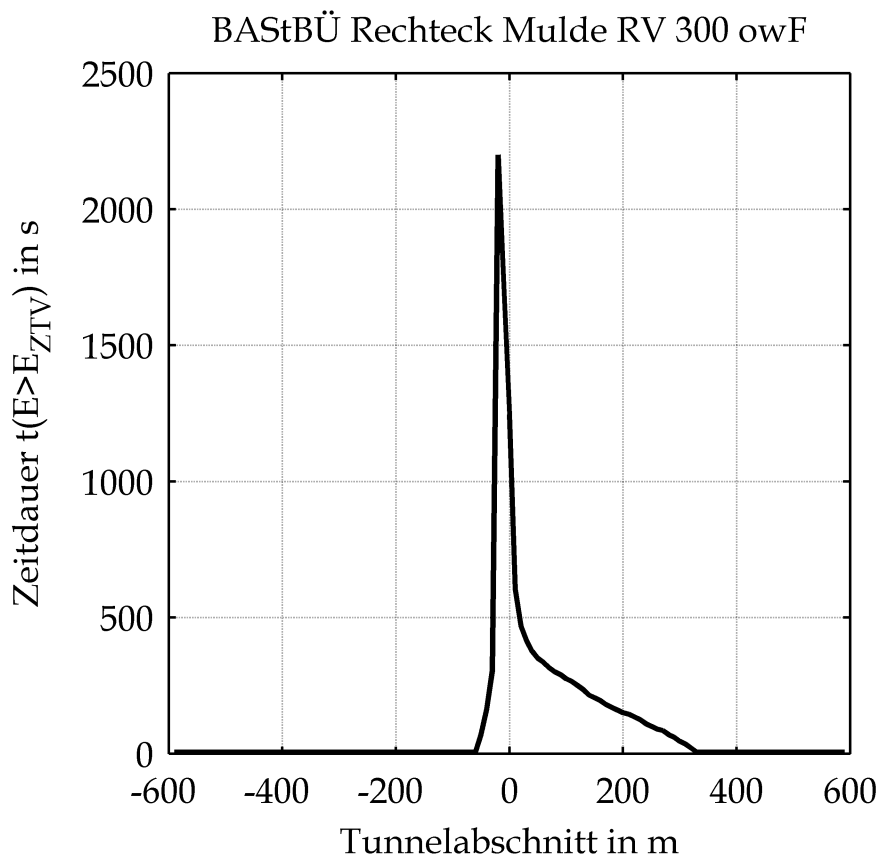
Mittels CFD-Berechnung ermittelte adiabate Wandtemperaturen in 3 m Höhe in Abhängigkeit von der Zeit unter Berücksichtigung der Ventilationsbedingungen bzw. der Sauerstoffversorgung (rot: Maximalwerte, schwarz: Temperaturen in Abhängigkeit von der Einwirkungsdauer)



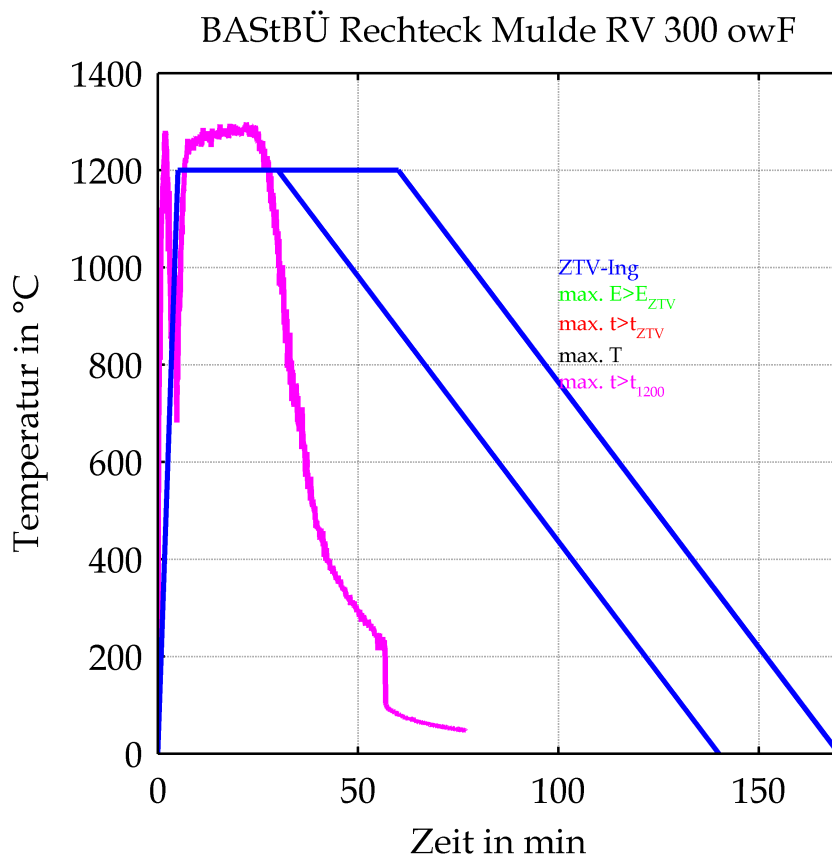
Mittels CFD-Berechnung ermittelte, auf den Energieeintrag der ZTV-ING-Temperatur-Zeit-Kurve bezogene Energieeinträge in Abhängigkeit von der Tunnellänge unter Berücksichtigung der Ventilationsbedingungen bzw. der Sauerstoffversorgung (blau: Basiswert ZTV-ING 150 min, schwarz: Basiswert ZTV-ING 30 min)



Mittels CFD-Berechnung ermittelte Zeitdauer der adiabaten Deckentemperatur größer 1200°C (schwarz) bzw. größer 1350°C (rot) in Abhängigkeit von der Tunnellänge unter Berücksichtigung der Ventilationsbedingungen bzw. der Sauerstoffversorgung

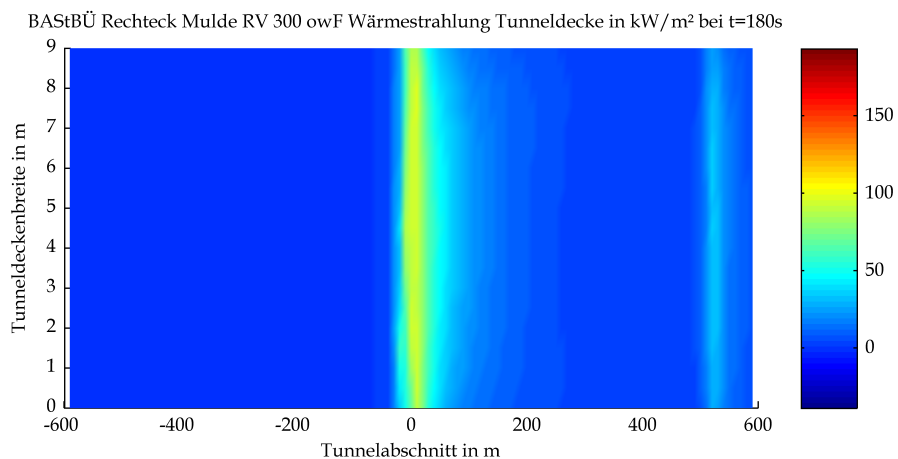
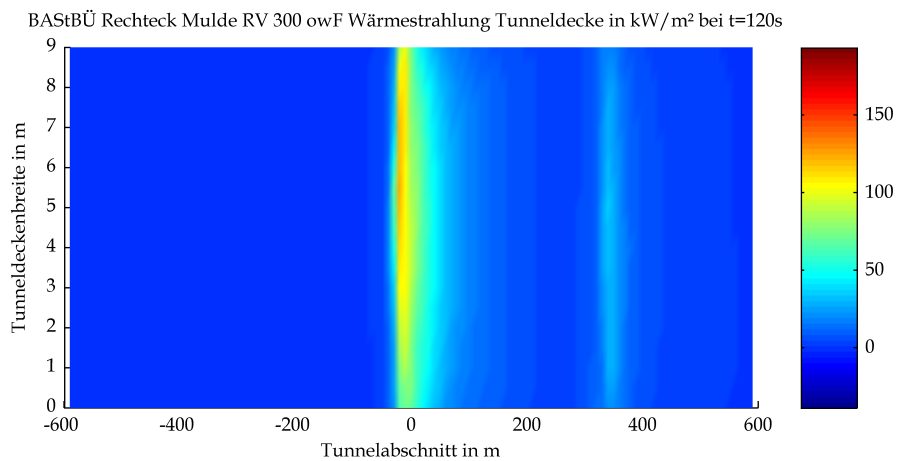
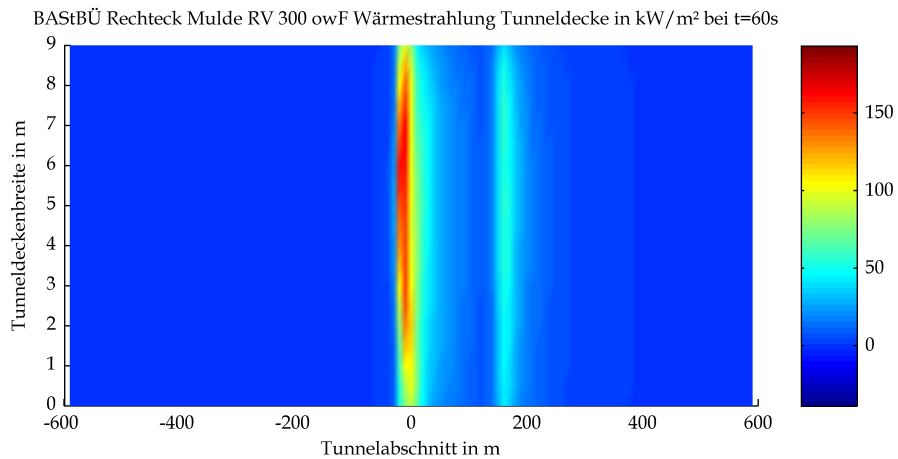


Mittels CFD-Berechnung ermittelte Zeitdauer mit im Vergleich zur ZTV-ING-Kurve höheren Energieeinträgen in die Tunneldecke in Abhängigkeit von der Tunnellänge unter Berücksichtigung der Ventilationsbedingungen bzw. der Sauerstoffversorgung

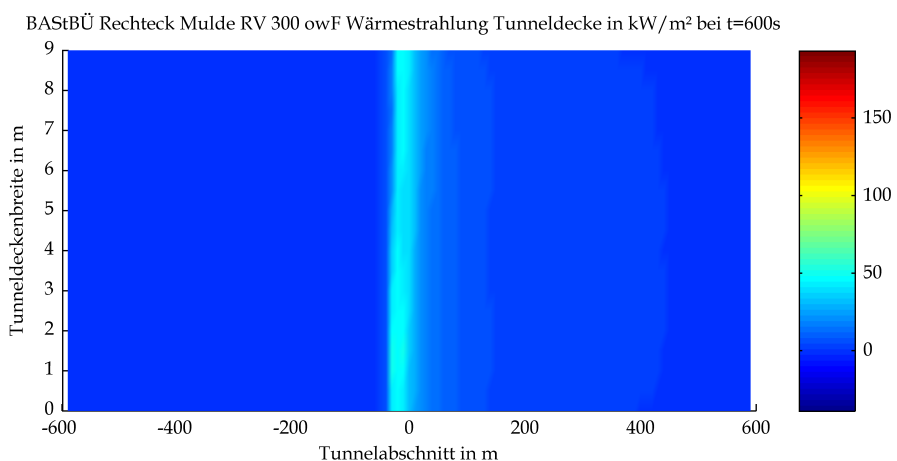
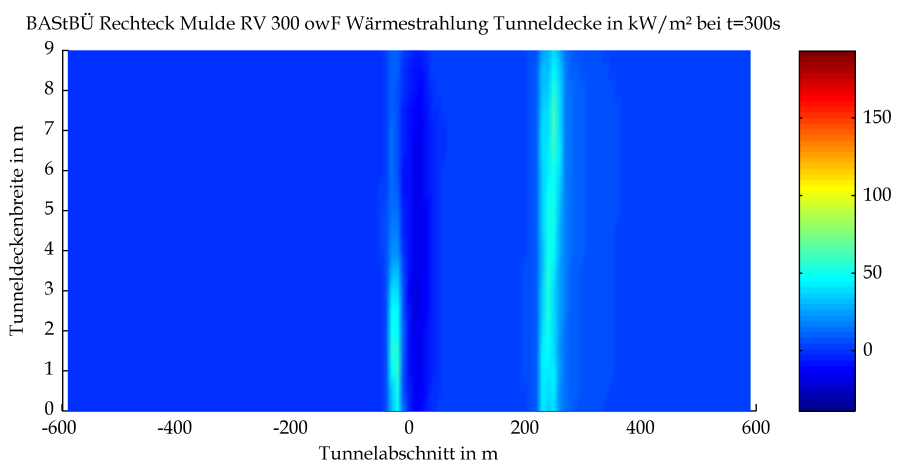
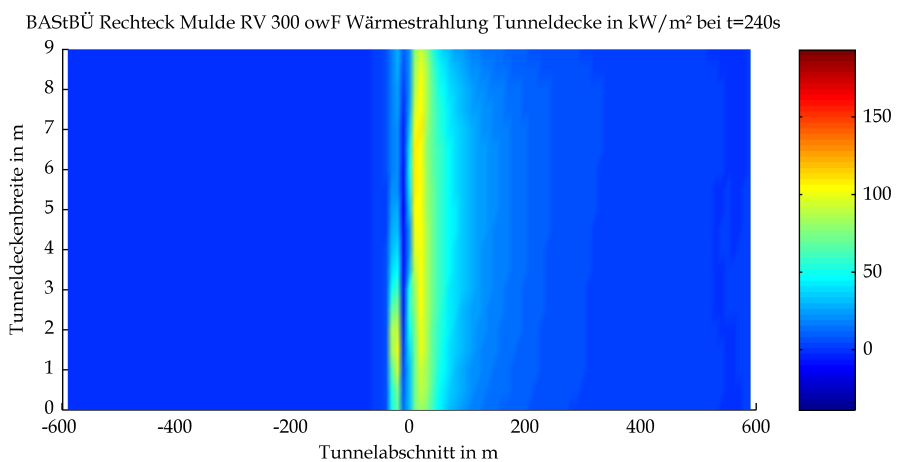


Mittels CFD-Berechnung ermittelte Temperatur-Zeit-Verläufe für die Maximalwerte der zuvor dargestellten Kriterien unter Berücksichtigung der Ventilationsbedingungen bzw. der Sauerstoffversorgung (blau: ZTV-ING-Temperatur-Zeit-Verlauf)

## 2 Wärmestrahlung an der Tunneldecke

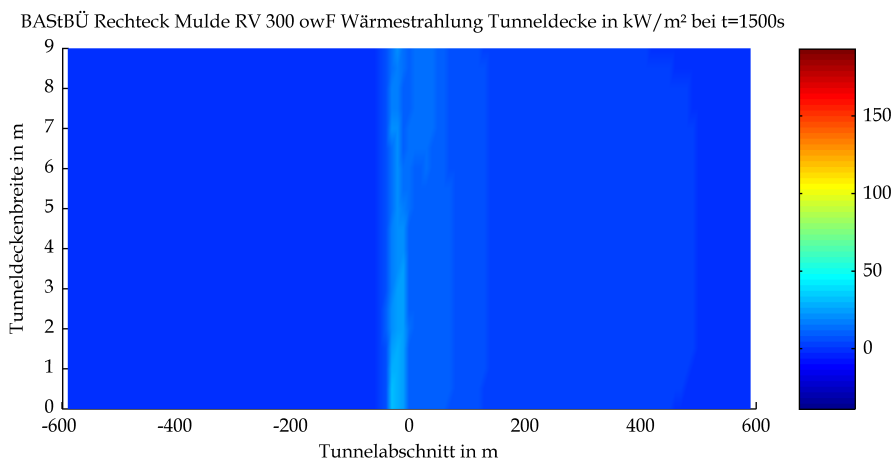
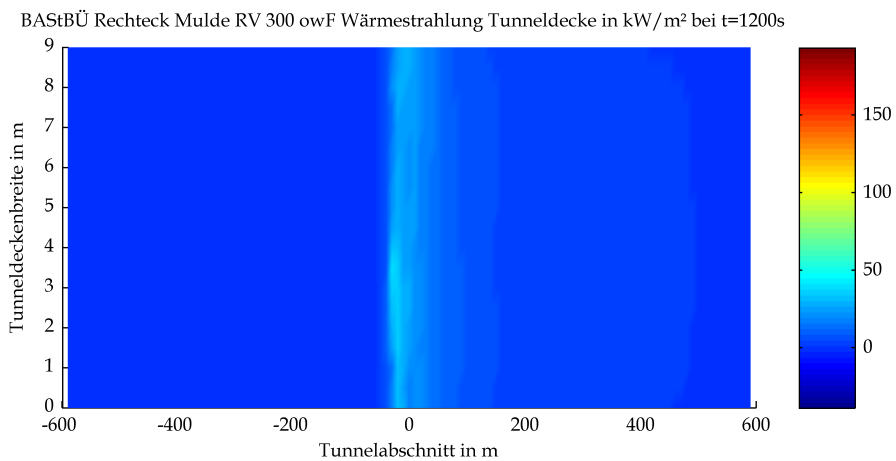
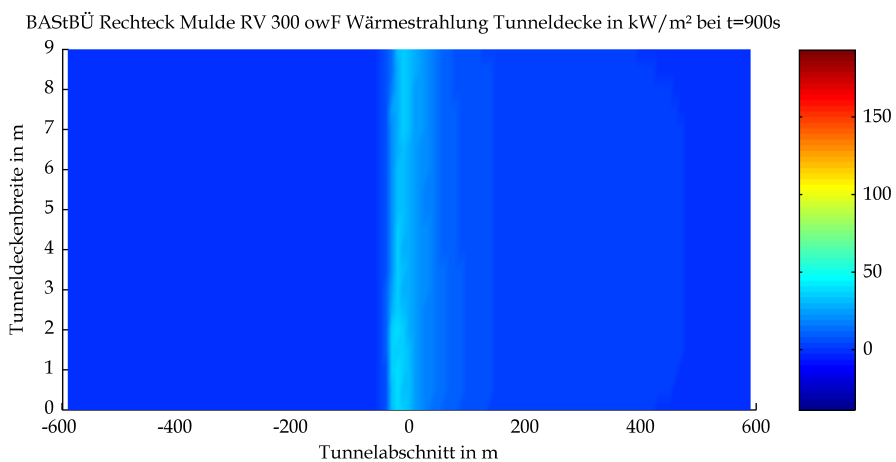


Mittels CFD-Berechnung ermittelte Strahlungswärme an der Tunneldecke



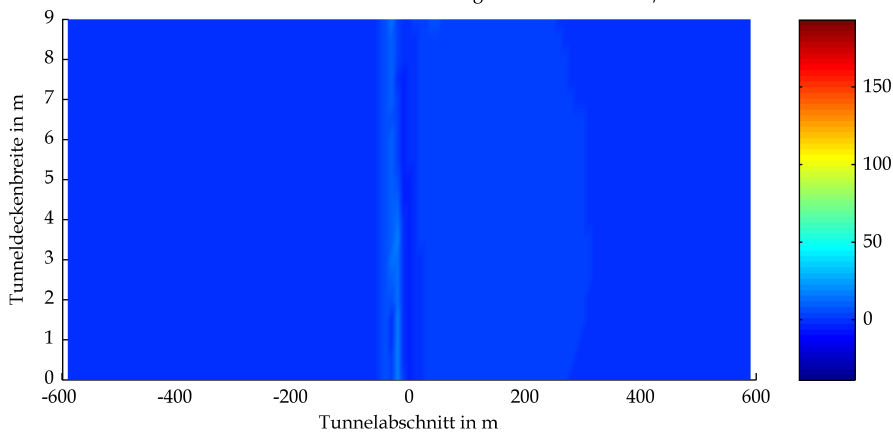
Mittels CFD-Berechnung ermittelte Strahlungswärme an der Tunneldecke



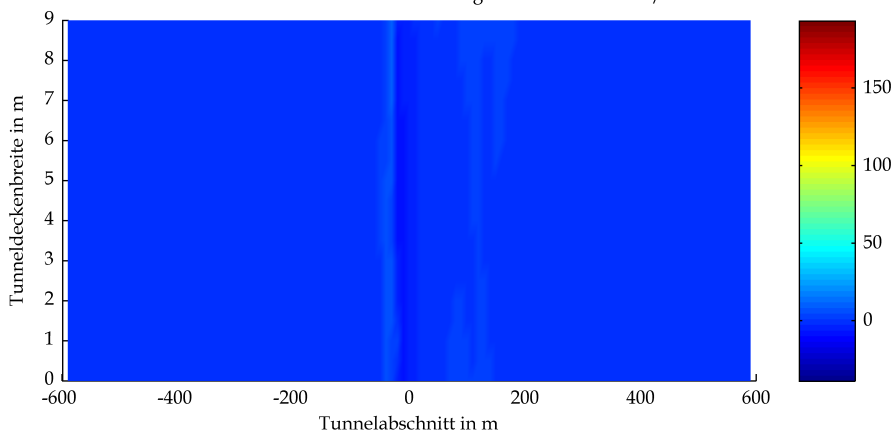


Mittels CFD-Berechnung ermittelte Strahlungswärme an der Tunneldecke

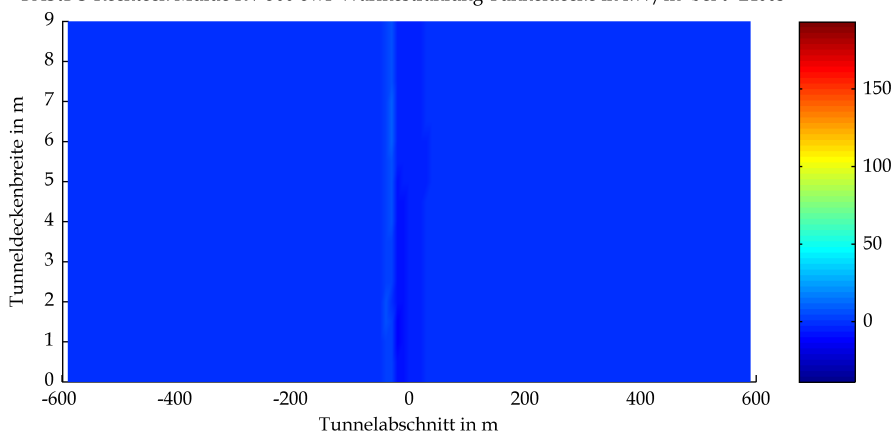
BAStBÜ Rechteck Mulde RV 300 owf Wärmestrahlung Tunneldecke in kW/m<sup>2</sup> bei t=1800s



BAStBÜ Rechteck Mulde RV 300 owf Wärmestrahlung Tunneldecke in kW/m<sup>2</sup> bei t=2100s

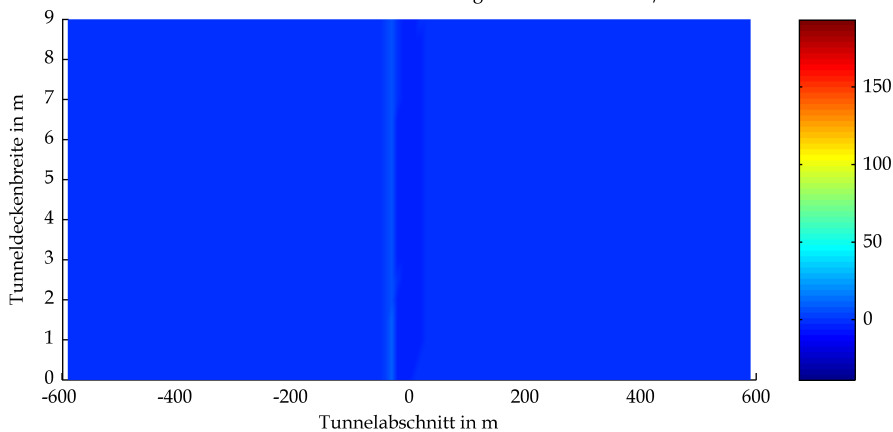


BAStBÜ Rechteck Mulde RV 300 owf Wärmestrahlung Tunneldecke in kW/m<sup>2</sup> bei t=2400s

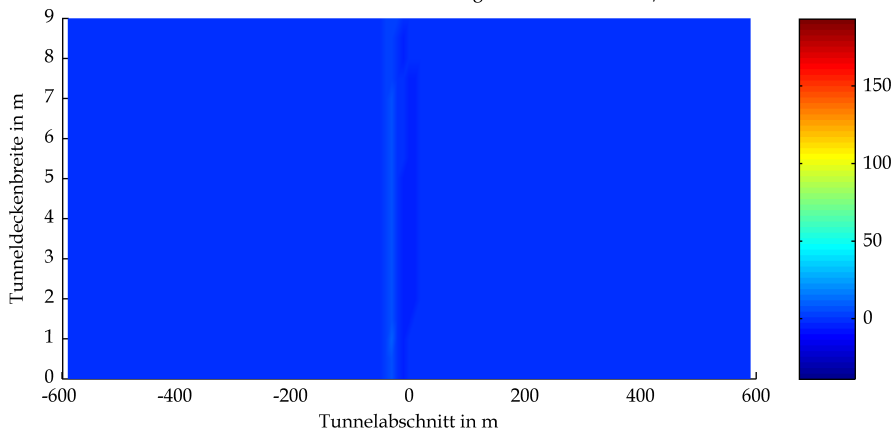


Mittels CFD-Berechnung ermittelte Strahlungswärme an der Tunneldecke

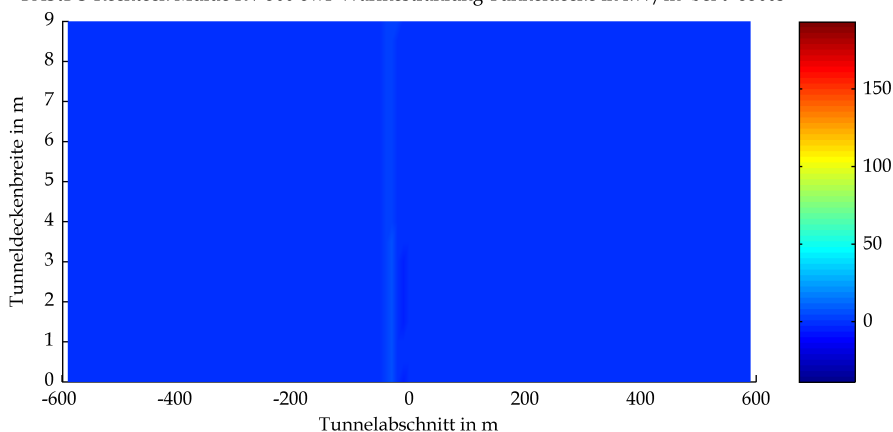
BAStBÜ Rechteck Mulde RV 300 o.w.F. Wärmestrahlung Tunneldecke in kW/m<sup>2</sup> bei t=2700s



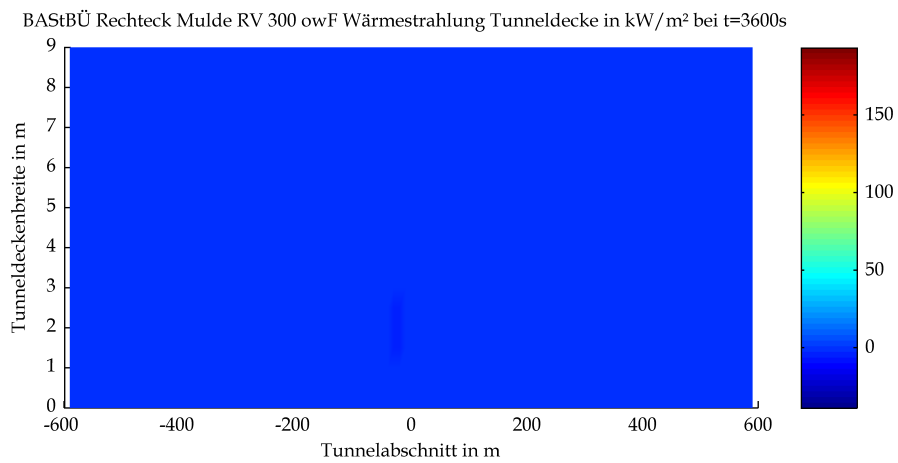
BAStBÜ Rechteck Mulde RV 300 o.w.F. Wärmestrahlung Tunneldecke in kW/m<sup>2</sup> bei t=3000s



BAStBÜ Rechteck Mulde RV 300 o.w.F. Wärmestrahlung Tunneldecke in kW/m<sup>2</sup> bei t=3300s

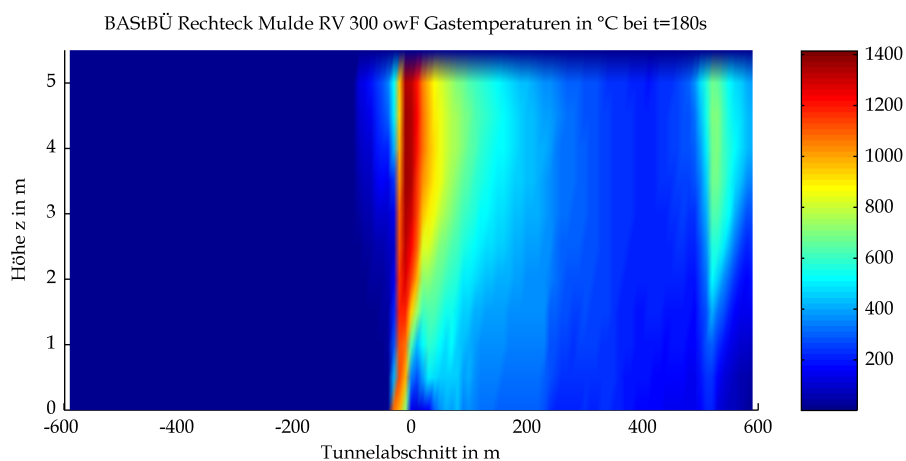
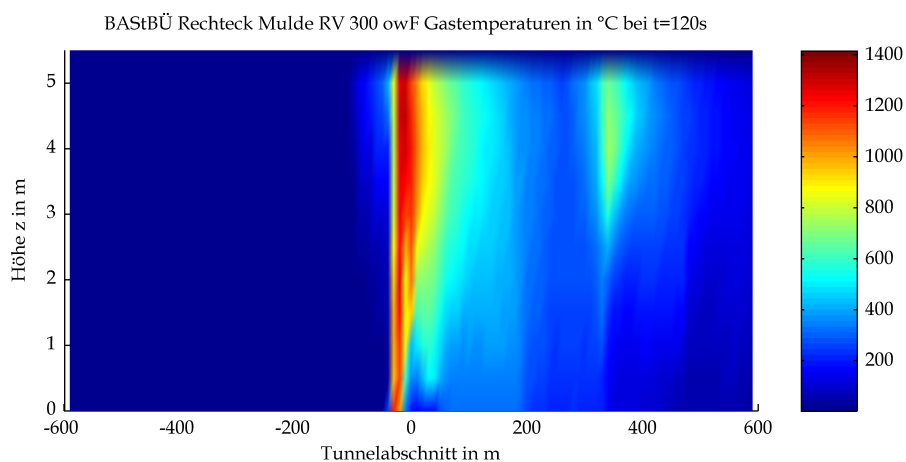
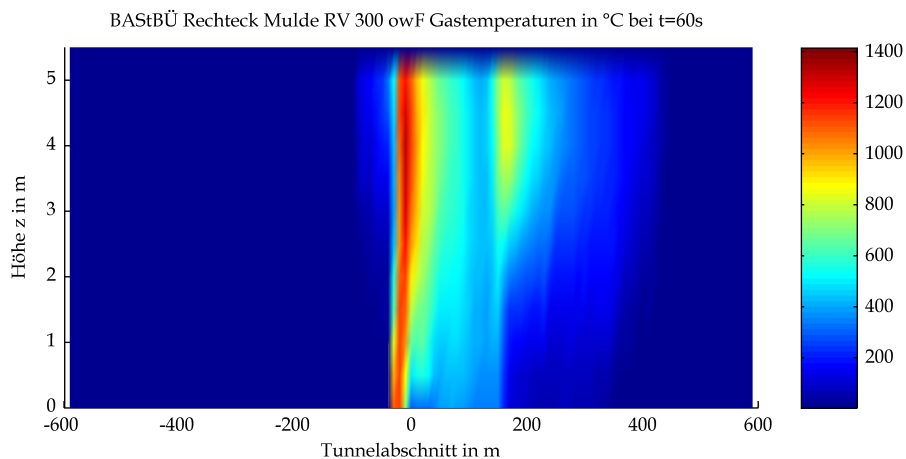


Mittels CFD-Berechnung ermittelte Strahlungswärme an der Tunneldecke

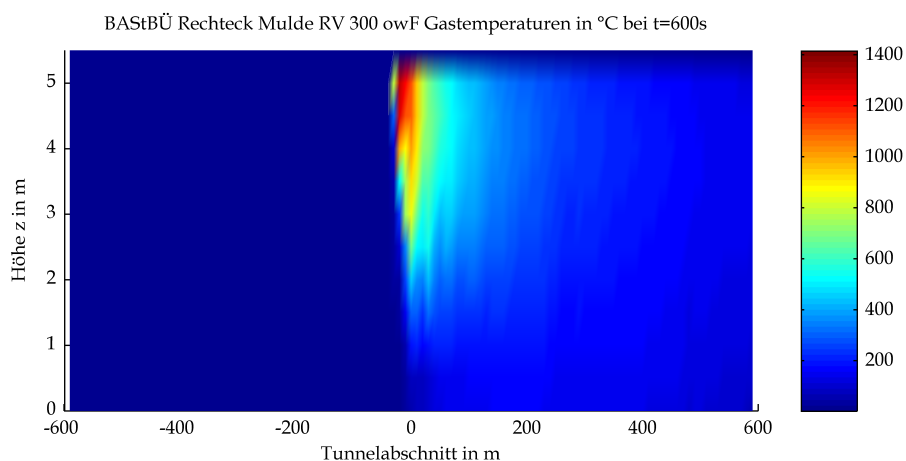
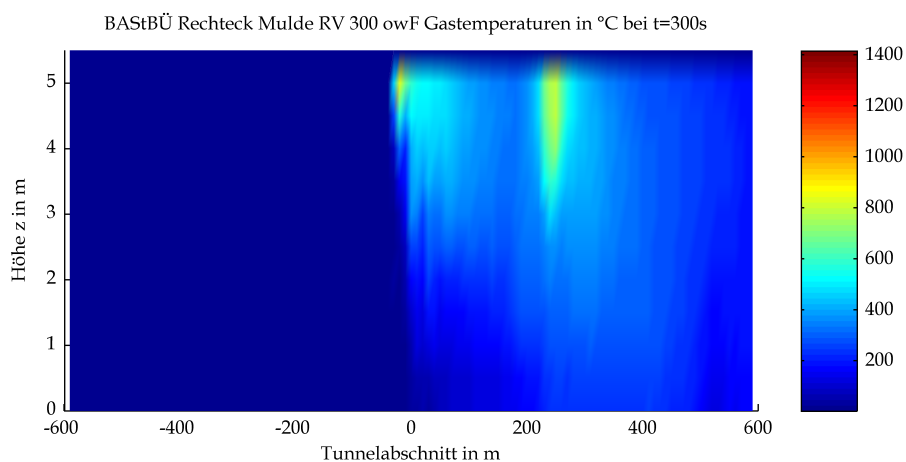
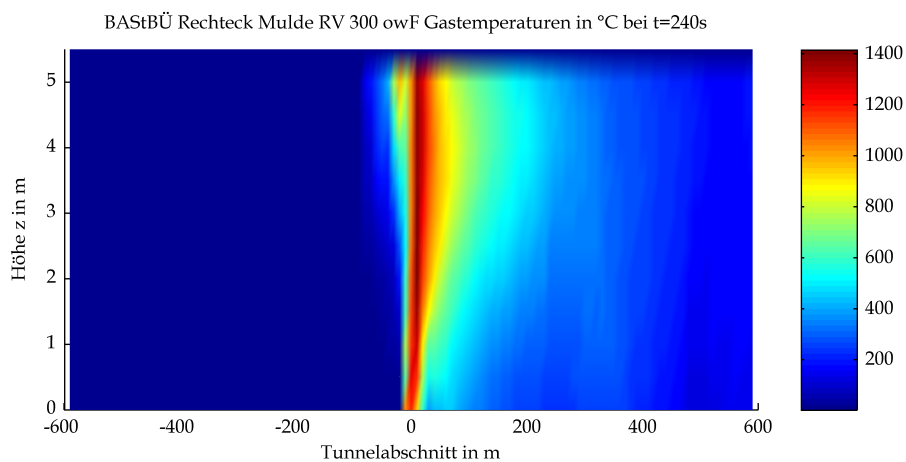


Mittels CFD-Berechnung ermittelte Strahlungswärme an der Tunneldecke

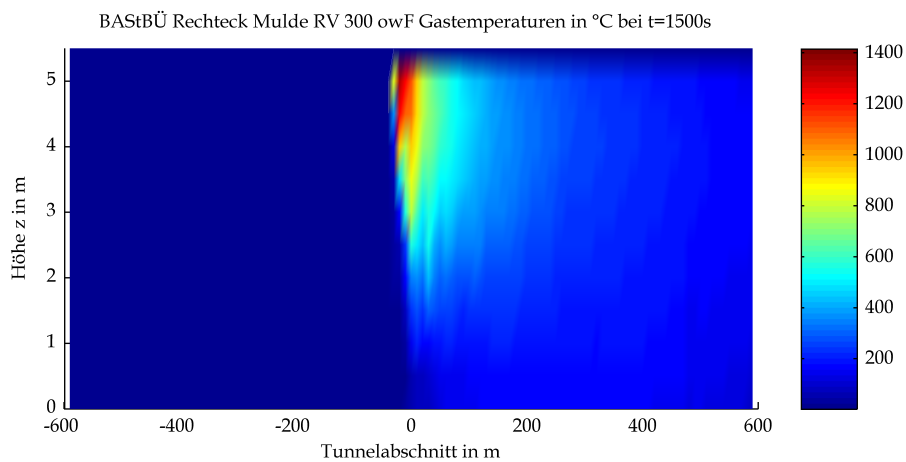
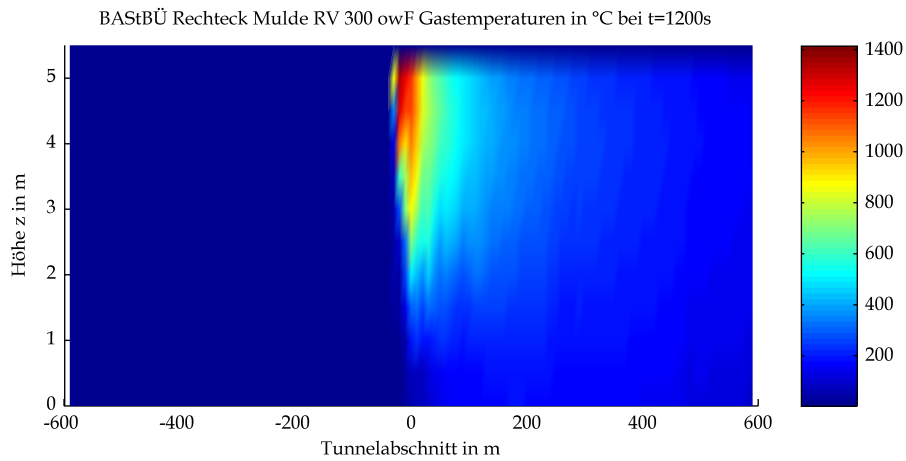
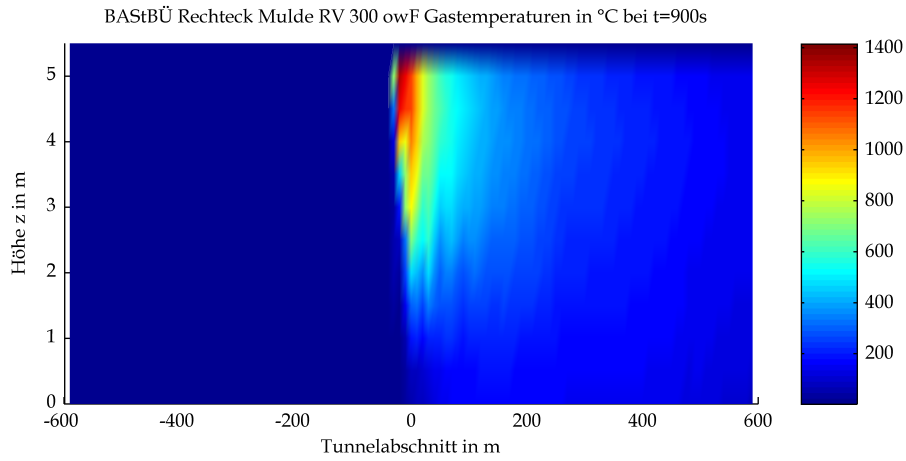
### 3 Gastemperaturen



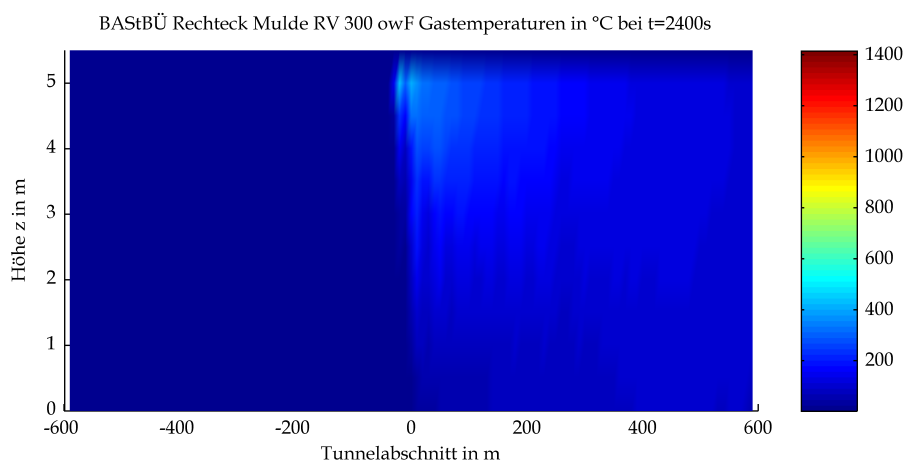
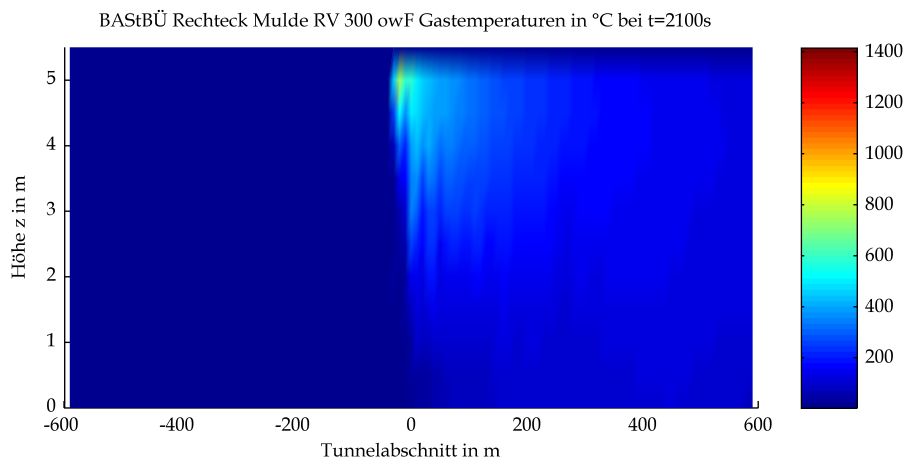
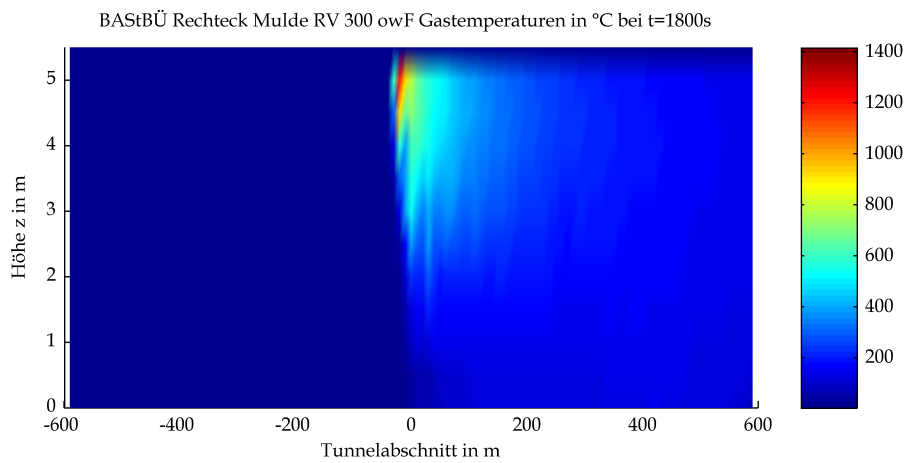
Mittels CFD-Berechnung ermittelte Gastemperaturen



Mittels CFD-Berechnung ermittelte Gasttemperaturen

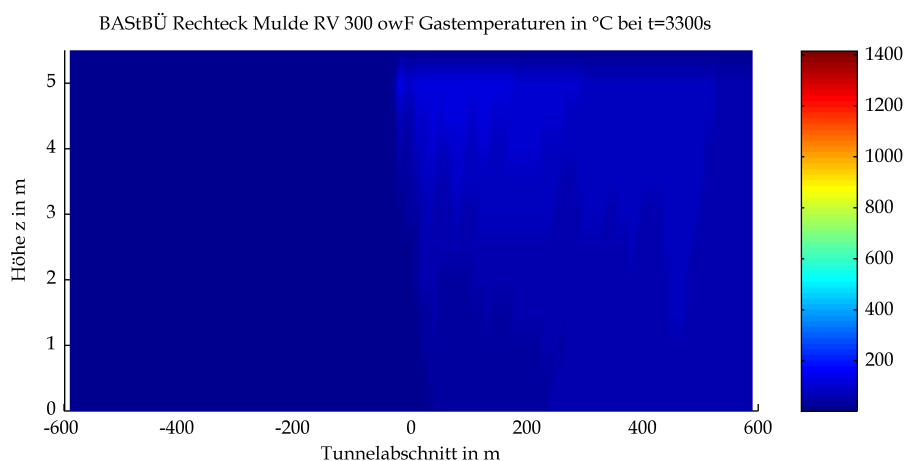
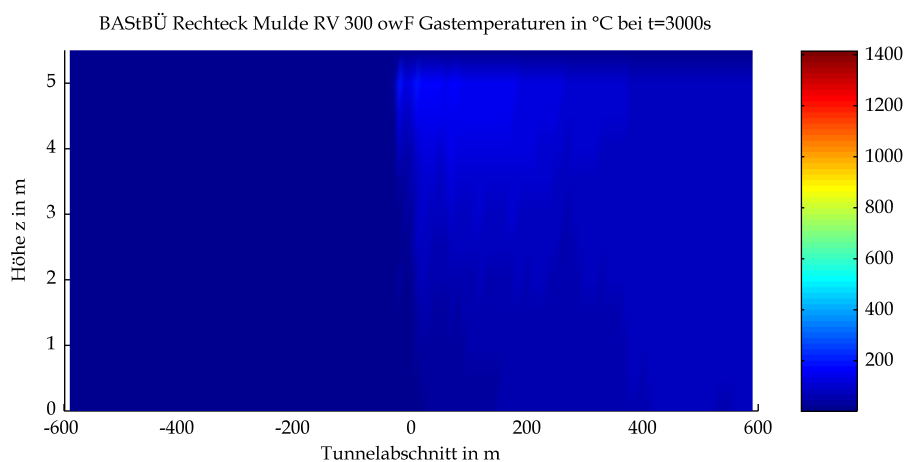
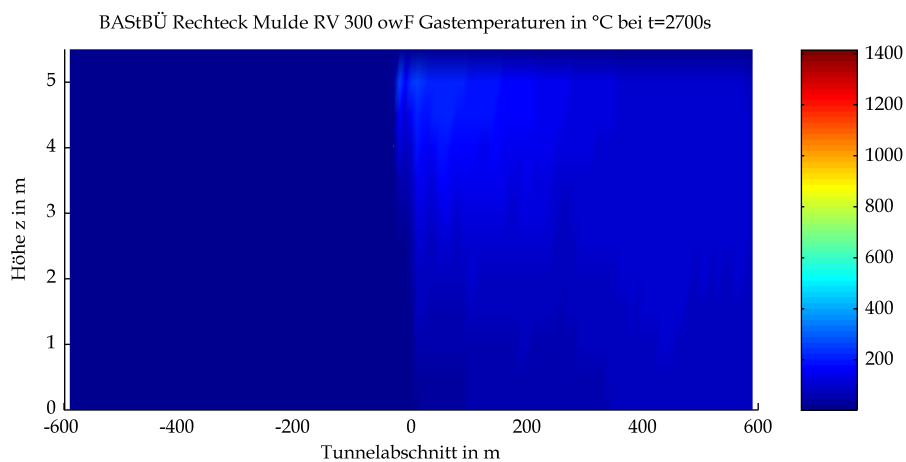


Mittels CFD-Berechnung ermittelte Gasttemperaturen

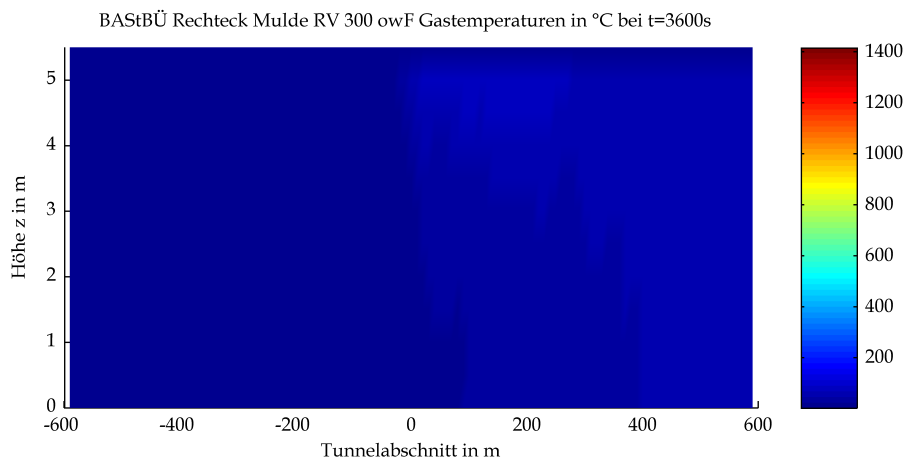


Mittels CFD-Berechnung ermittelte Gasttemperaturen



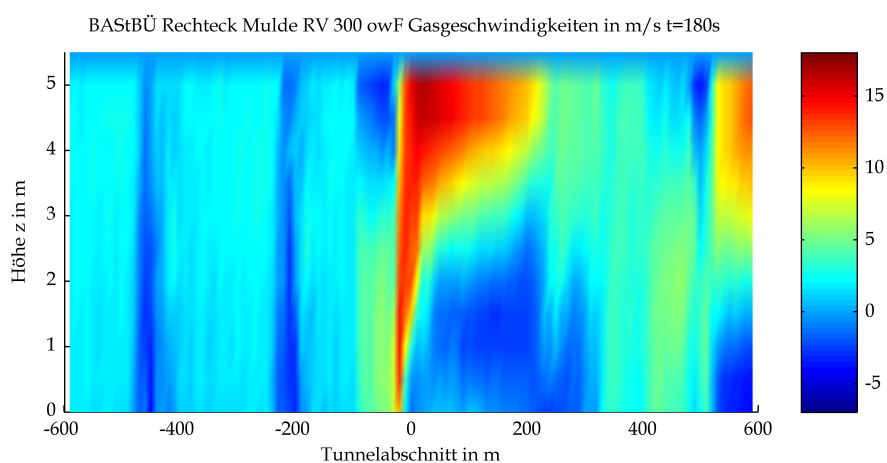
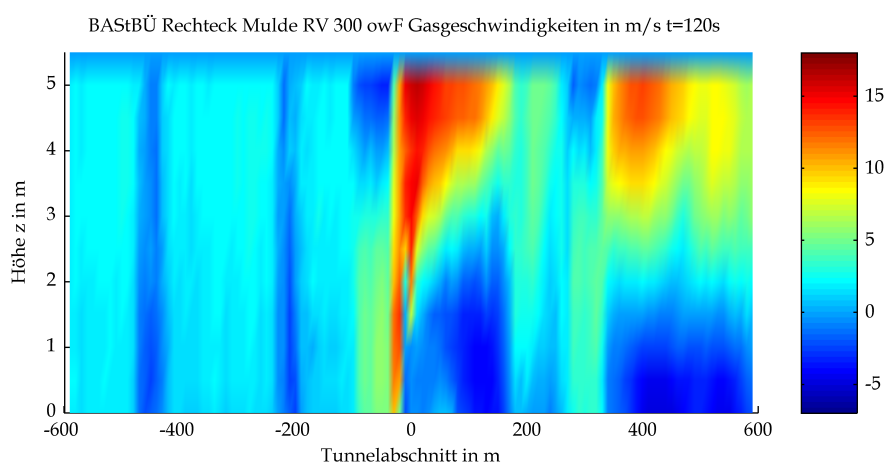
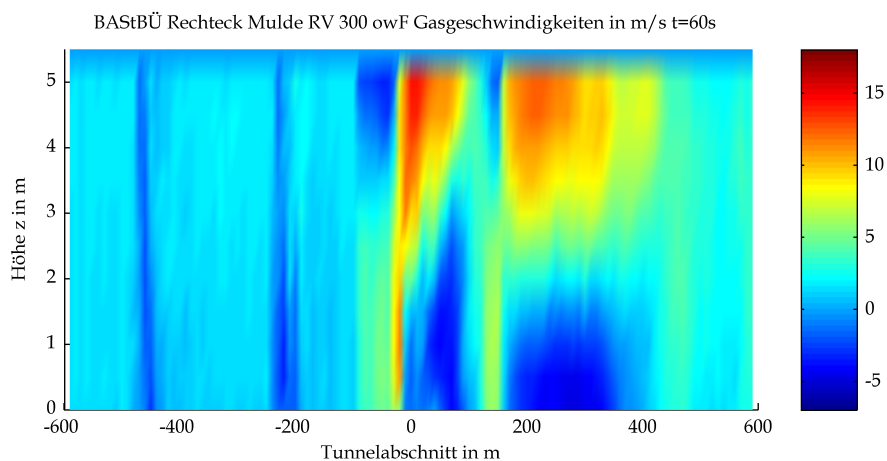


Mittels CFD-Berechnung ermittelte Gasttemperaturen

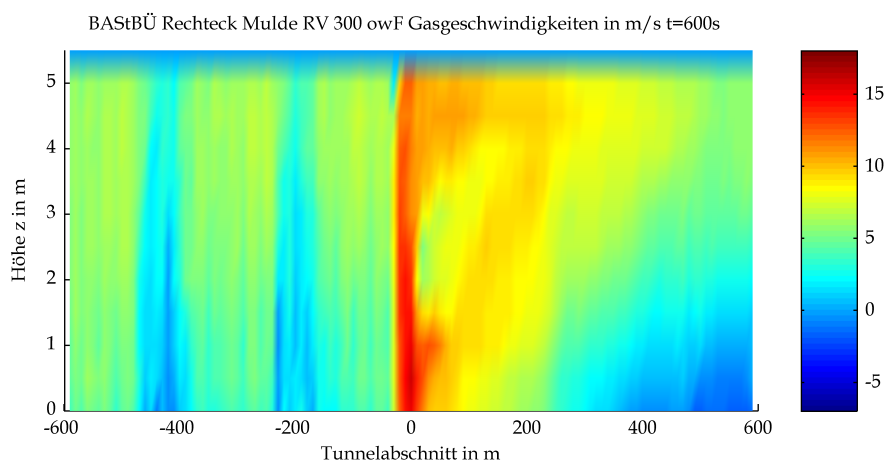
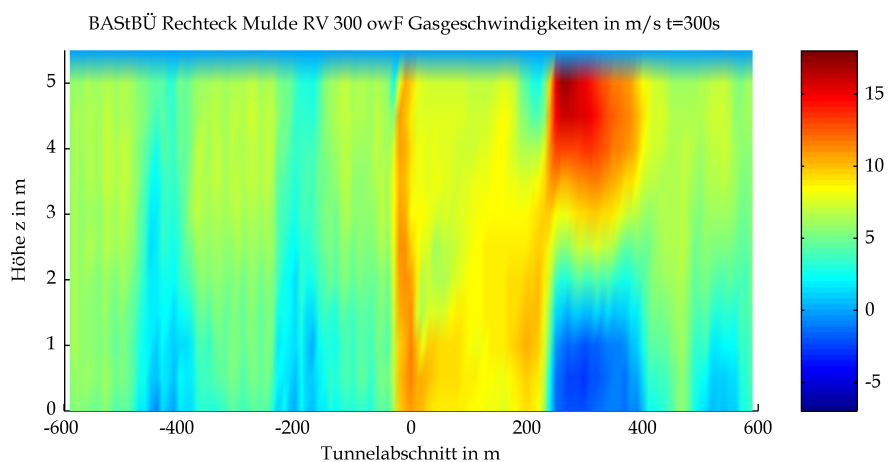
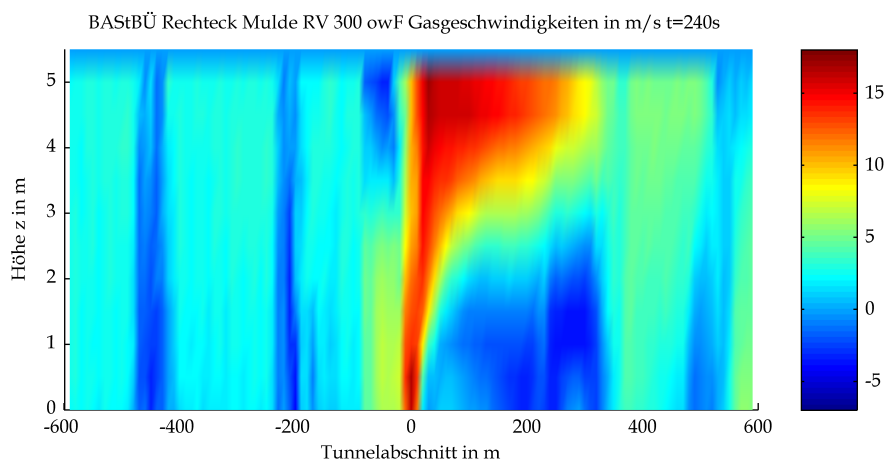


Mittels CFD-Berechnung ermittelte Gasttemperaturen

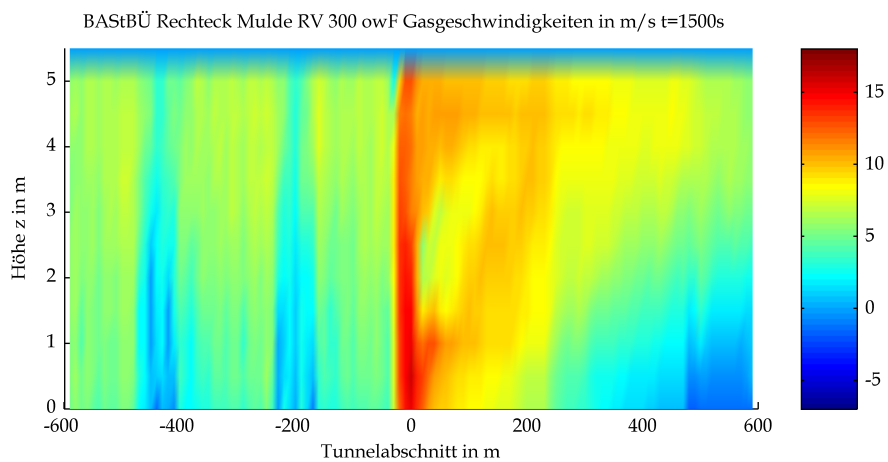
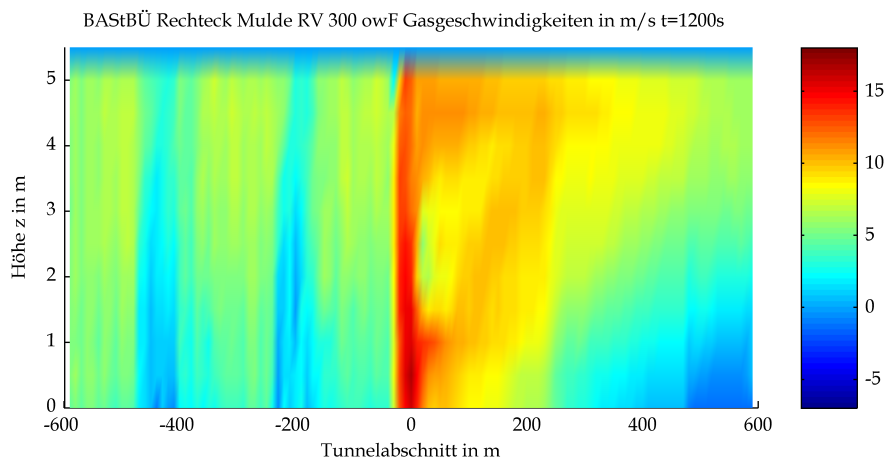
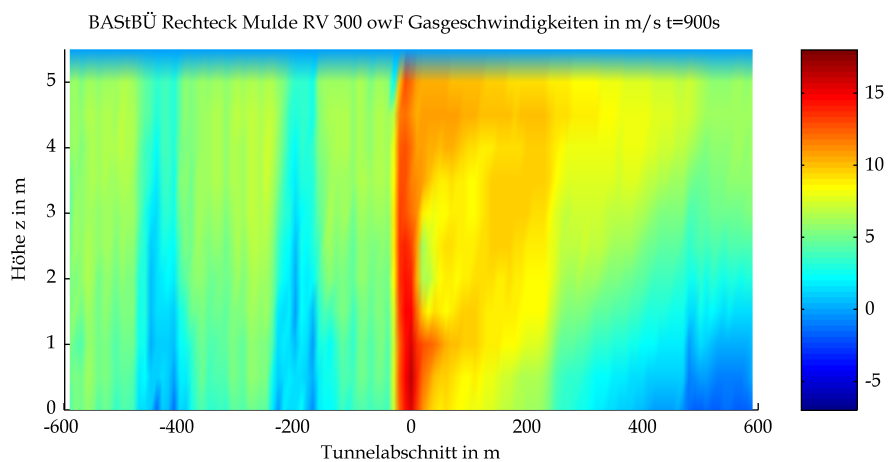
## 4 Gasgeschwindigkeiten



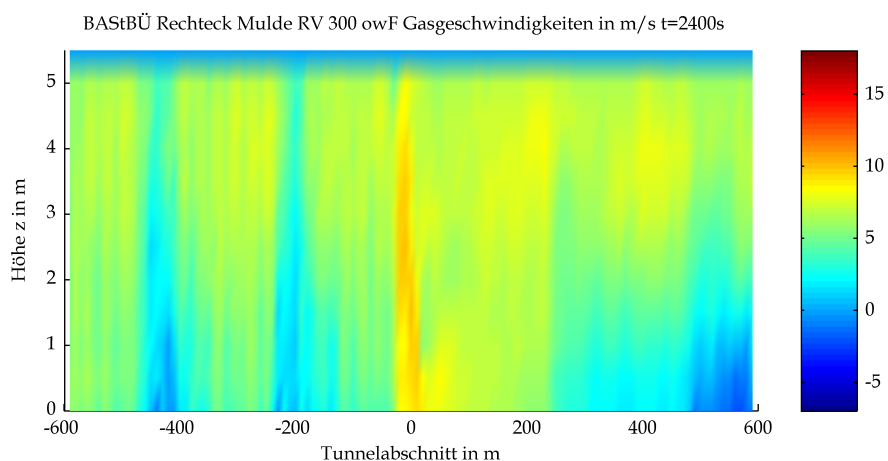
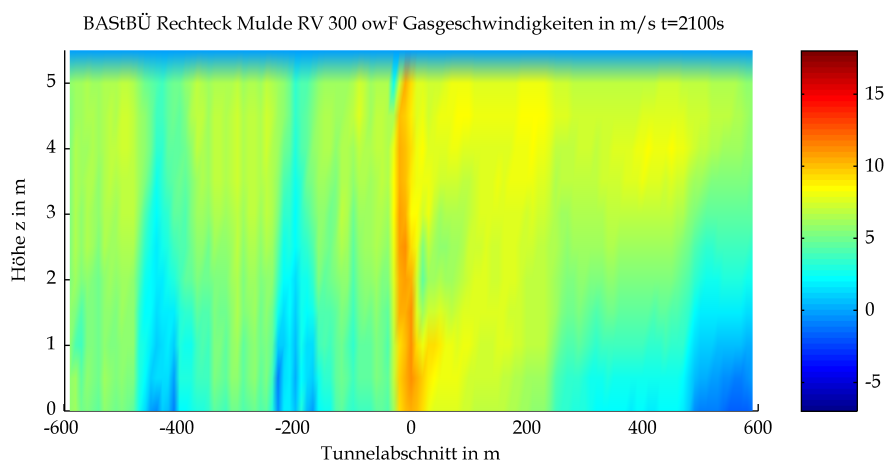
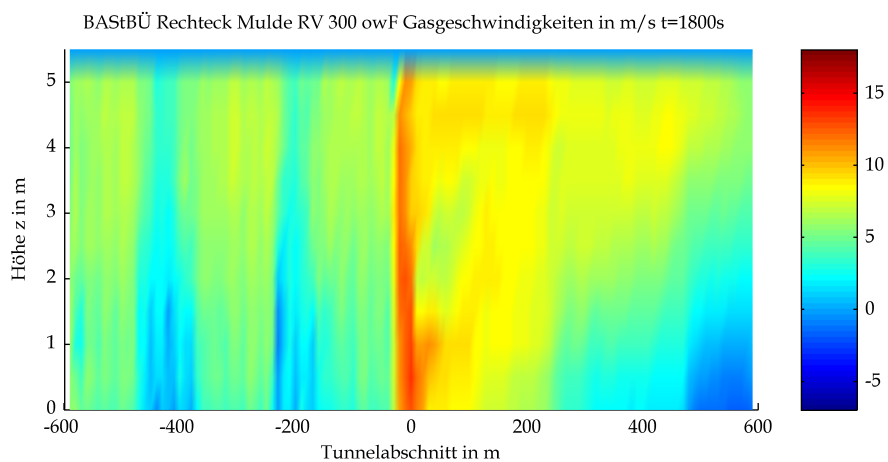
Mittels CFD-Berechnung ermittelte Gasgeschwindigkeit



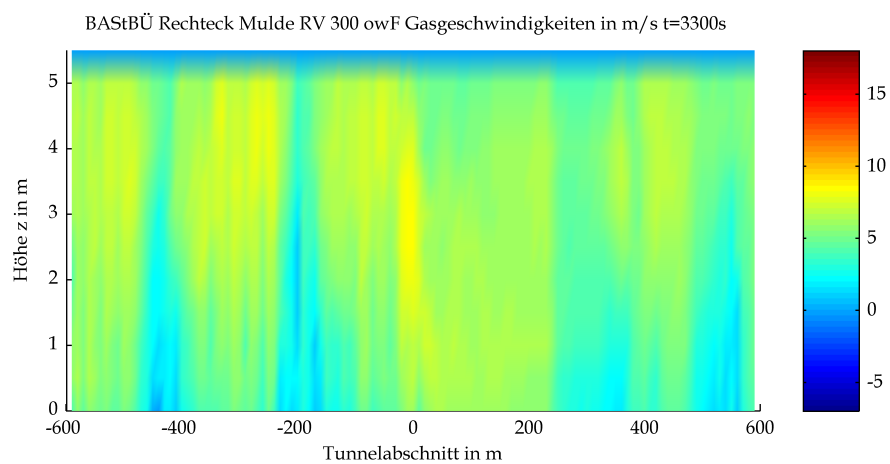
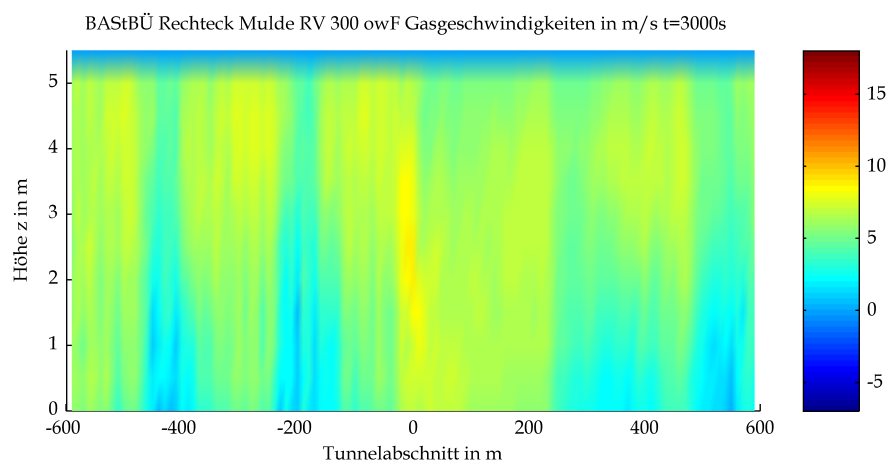
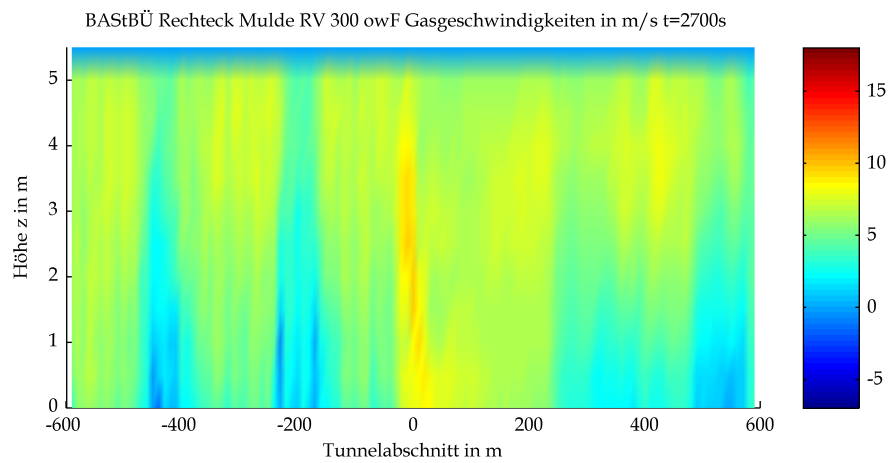
Mittels CFD-Berechnung ermittelte Gasgeschwindigkeit



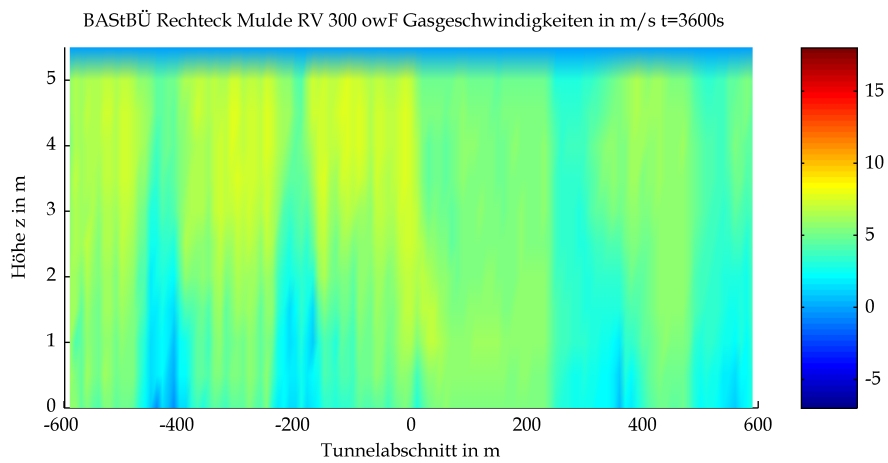
Mittels CFD-Berechnung ermittelte Gasgeschwindigkeit



Mittels CFD-Berechnung ermittelte Gasgeschwindigkeit



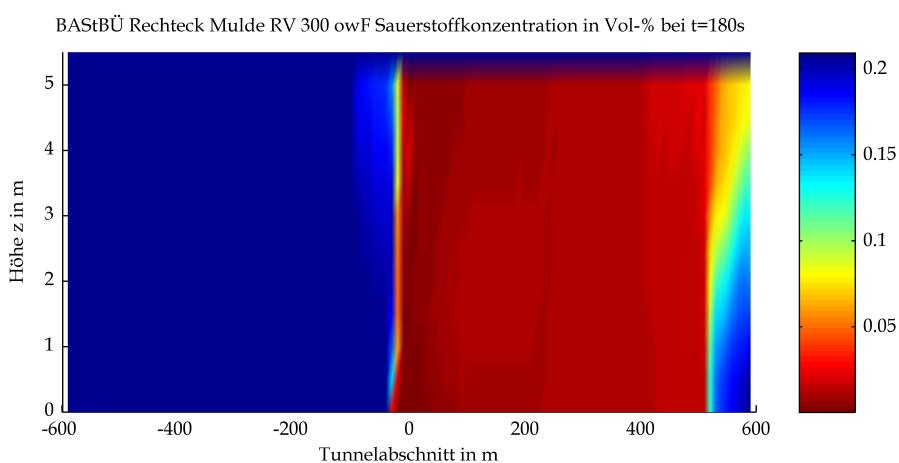
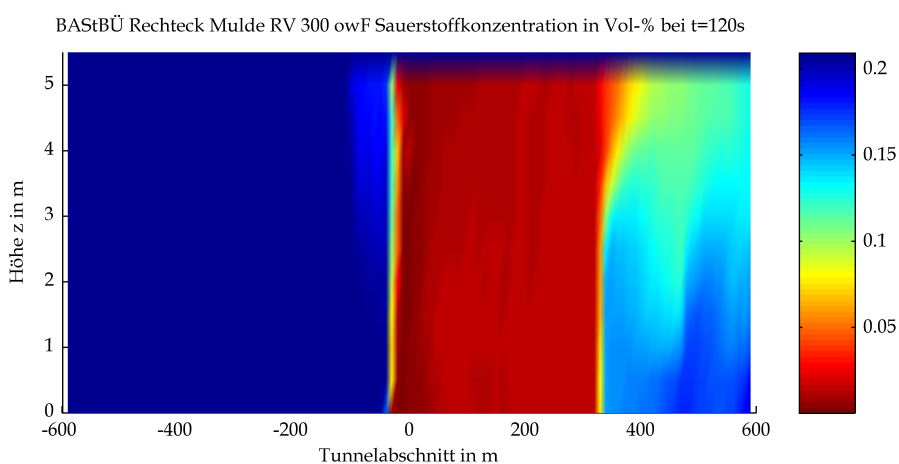
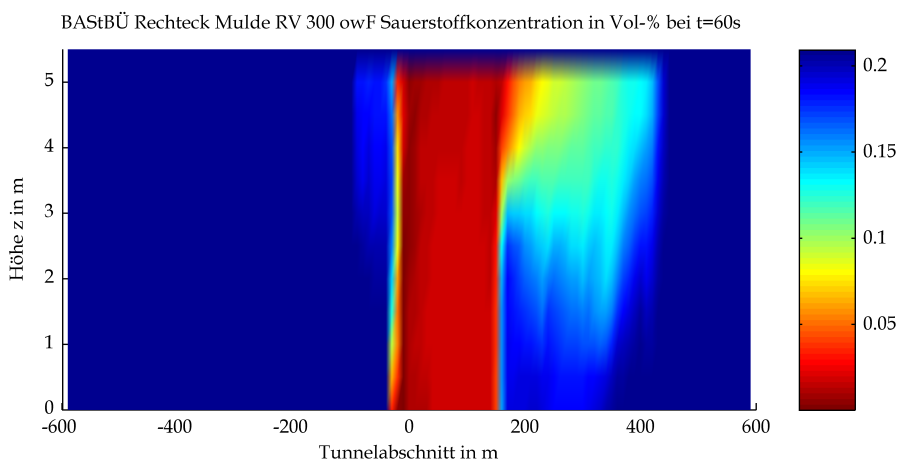
Mittels CFD-Berechnung ermittelte Gasgeschwindigkeit



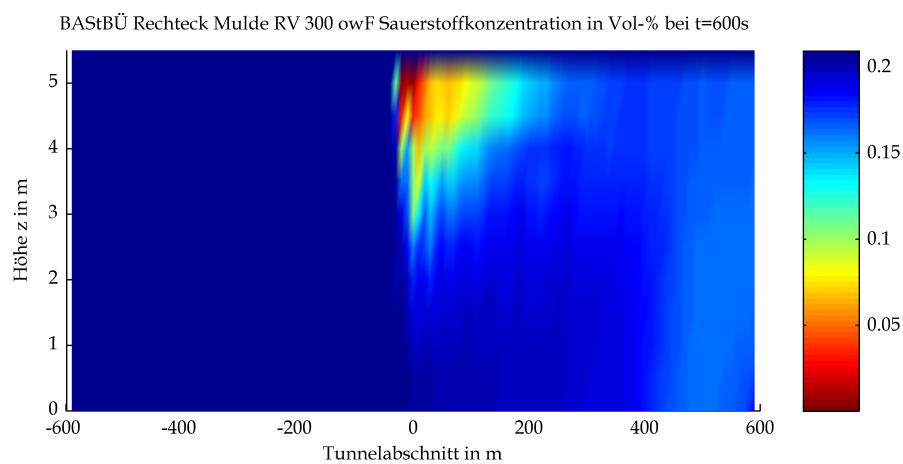
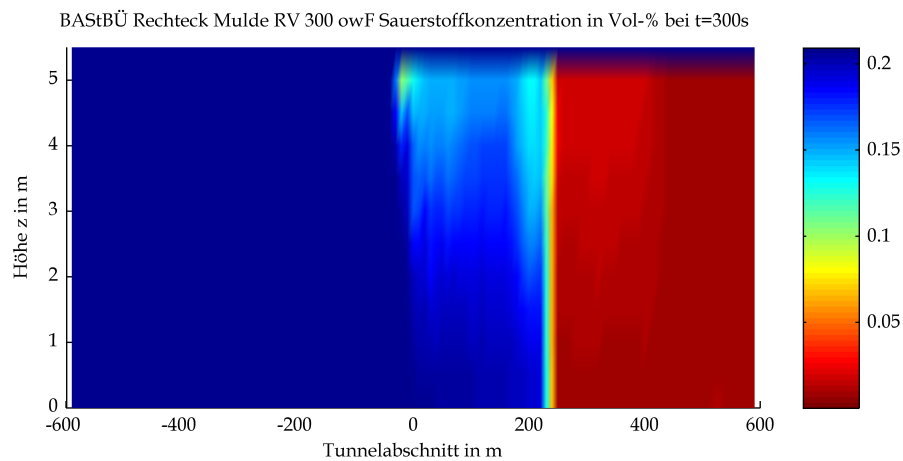
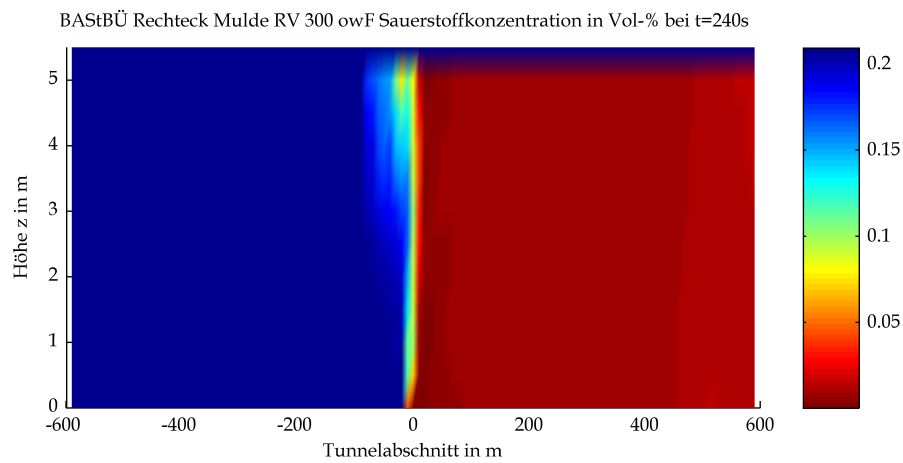
Mittels CFD-Berechnung ermittelte Gasgeschwindigkeit



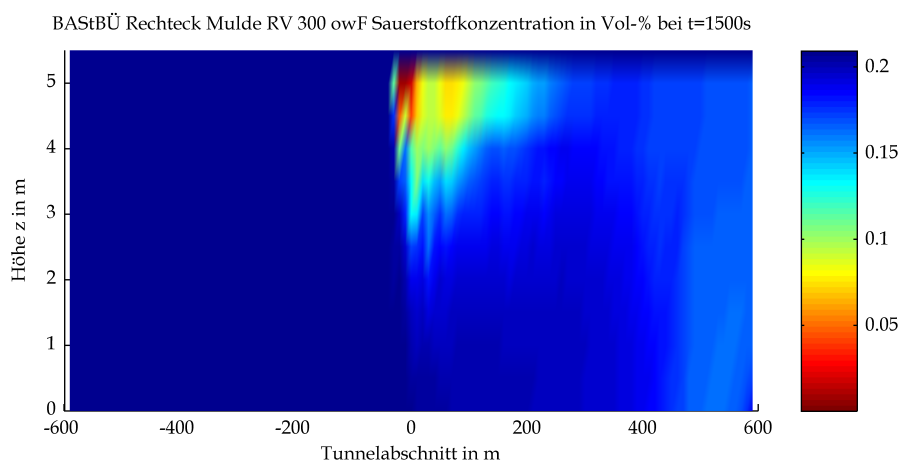
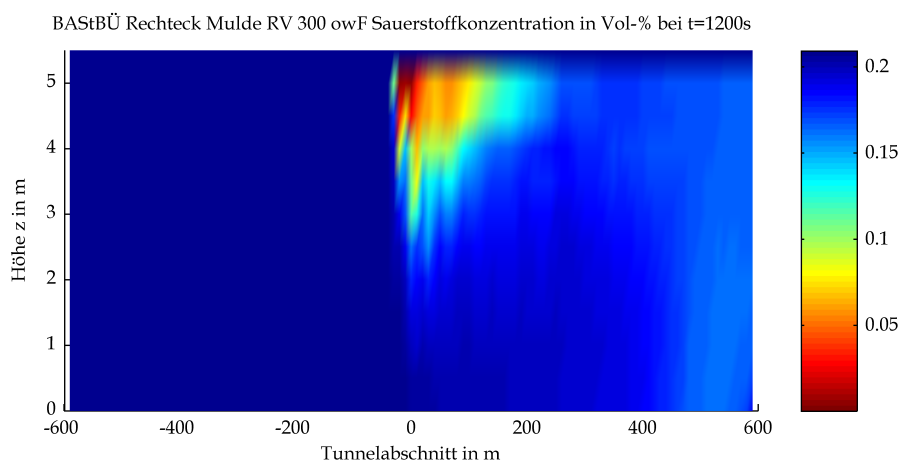
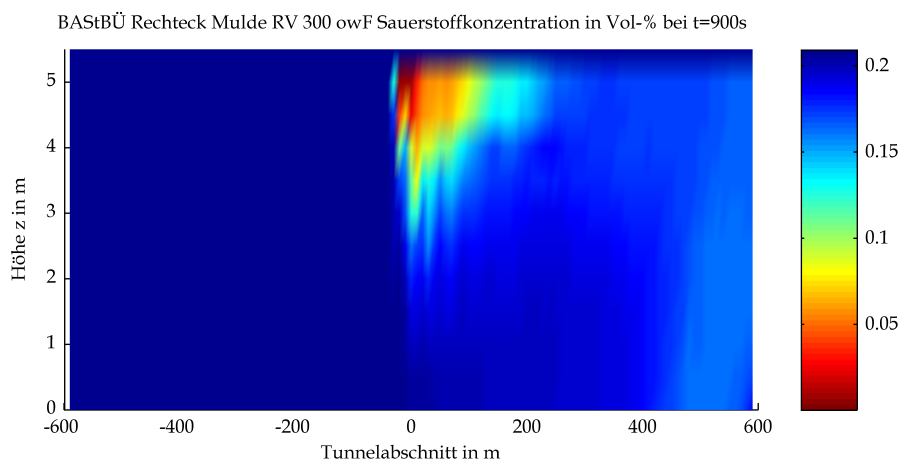
## 5 Sauerstoffgehalt



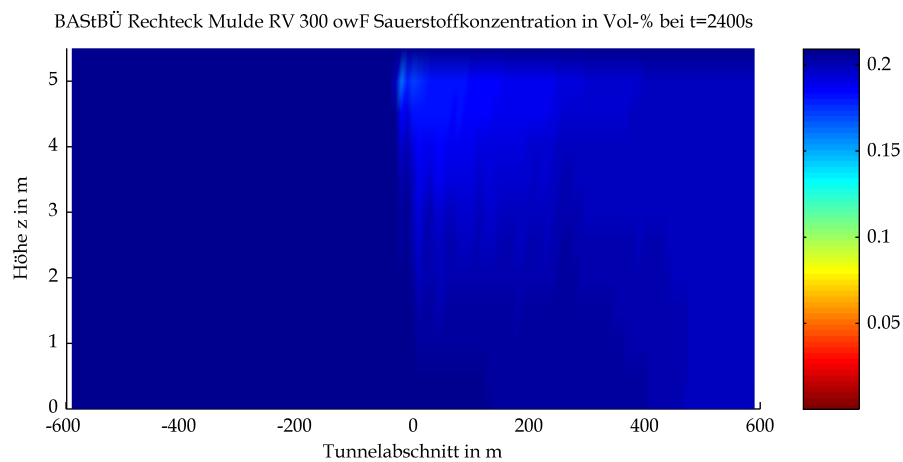
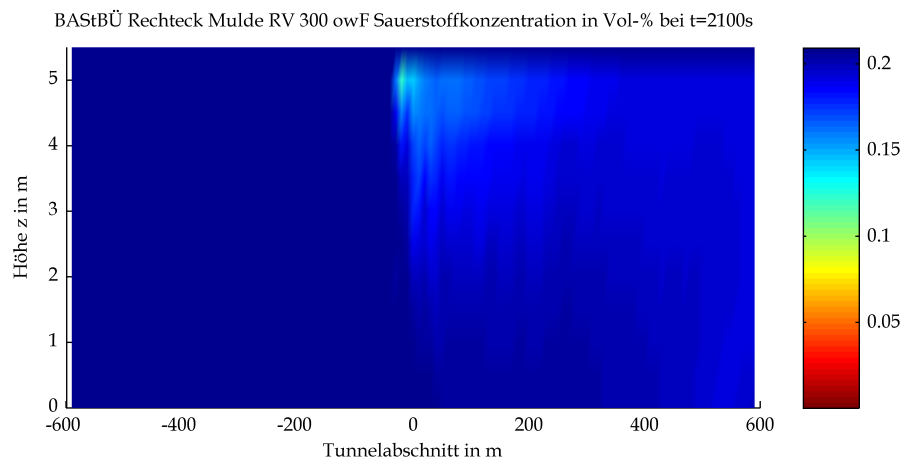
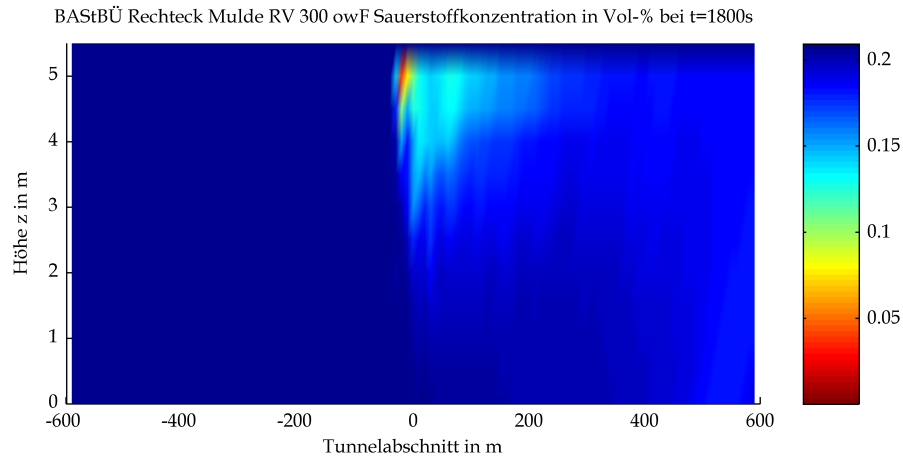
Mittels CFD-Berechnung ermittelte Sauerstoffgehalte



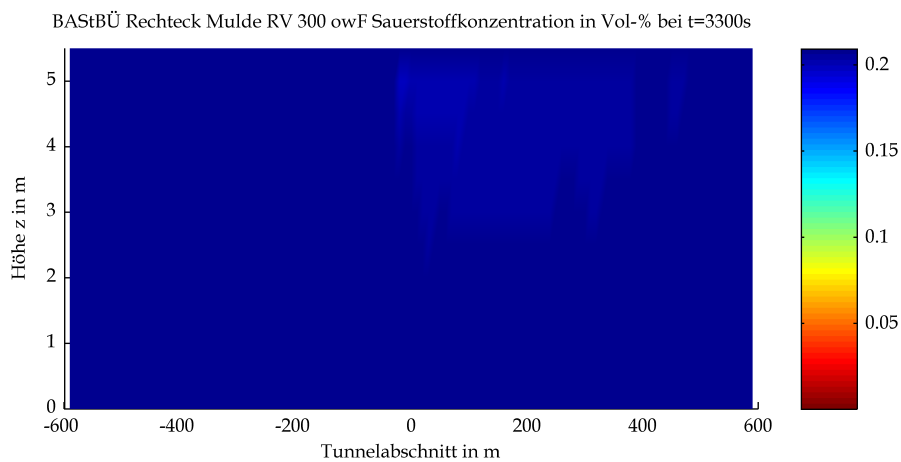
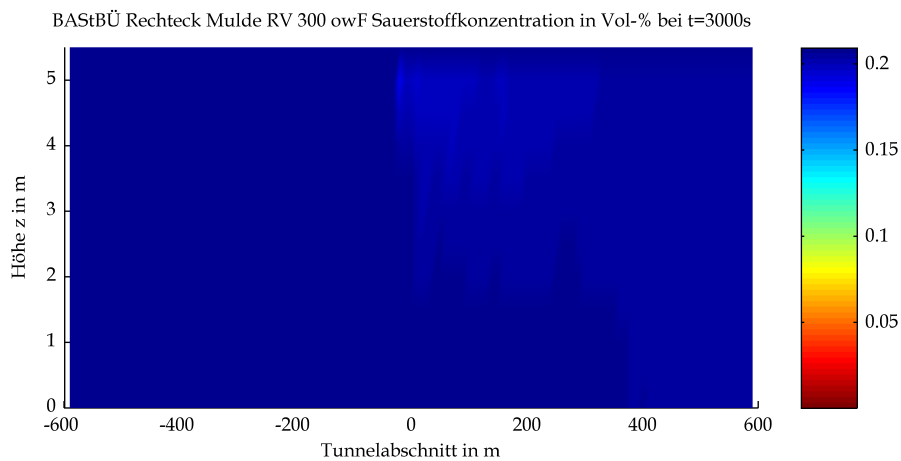
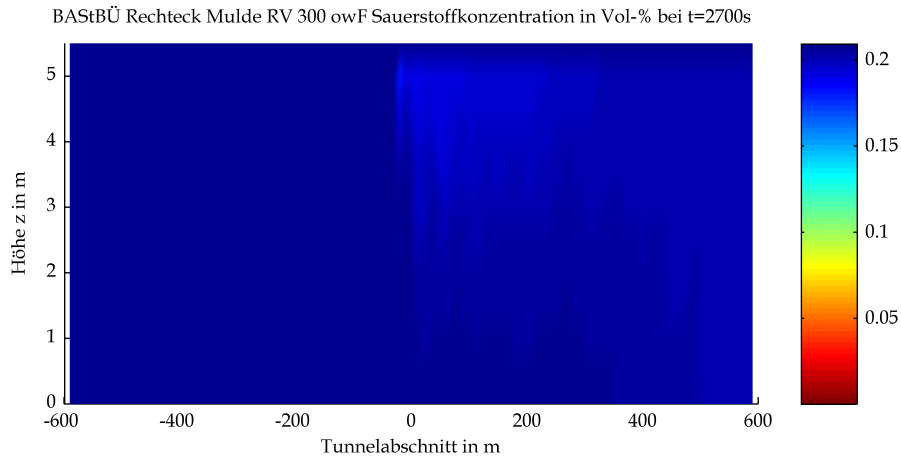
Mittels CFD-Berechnung ermittelte Sauerstoffgehalte



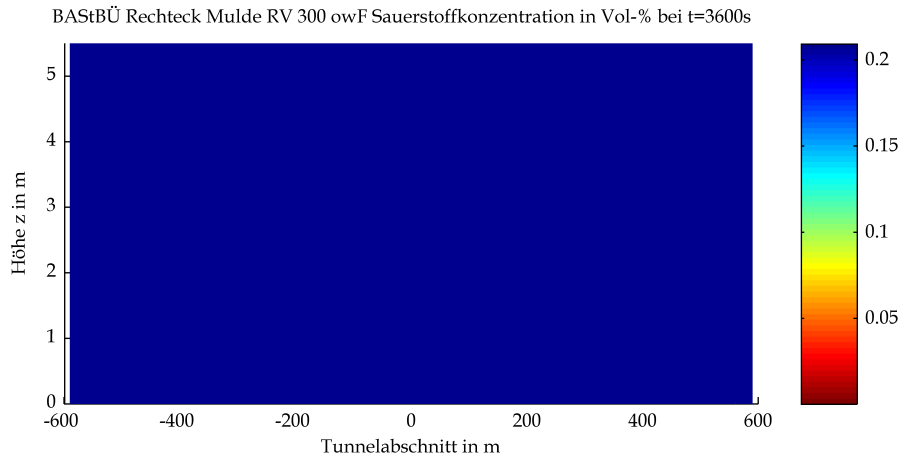
Mittels CFD-Berechnung ermittelte Sauerstoffgehalte



Mittels CFD-Berechnung ermittelte Sauerstoffgehalte

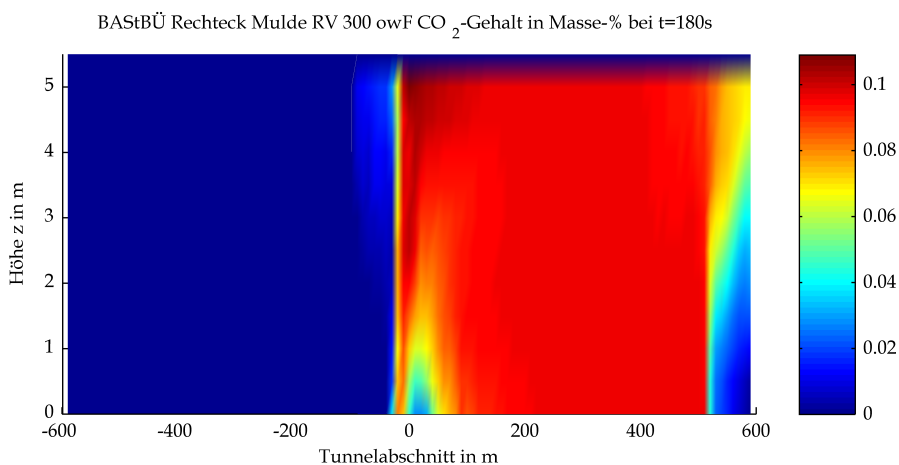
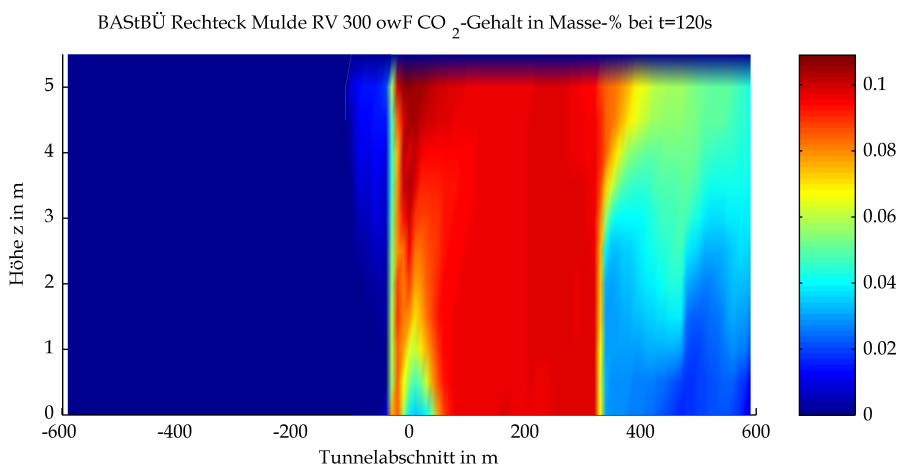
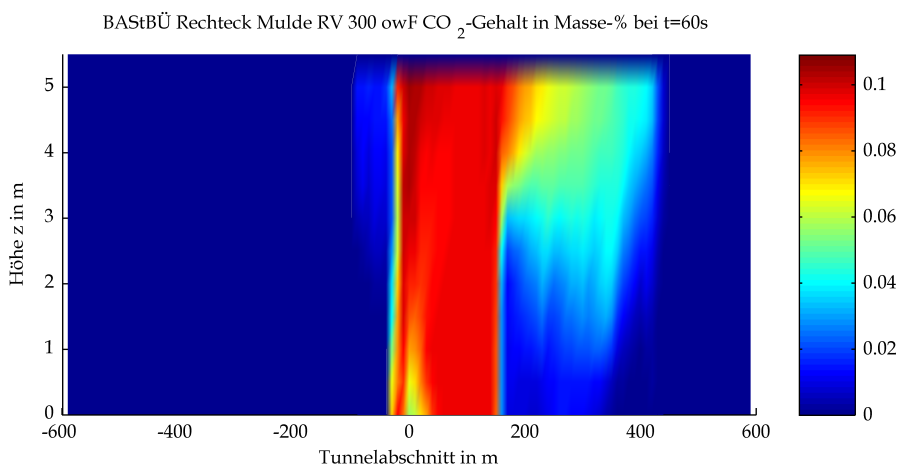


Mittels CFD-Berechnung ermittelte Sauerstoffgehalte

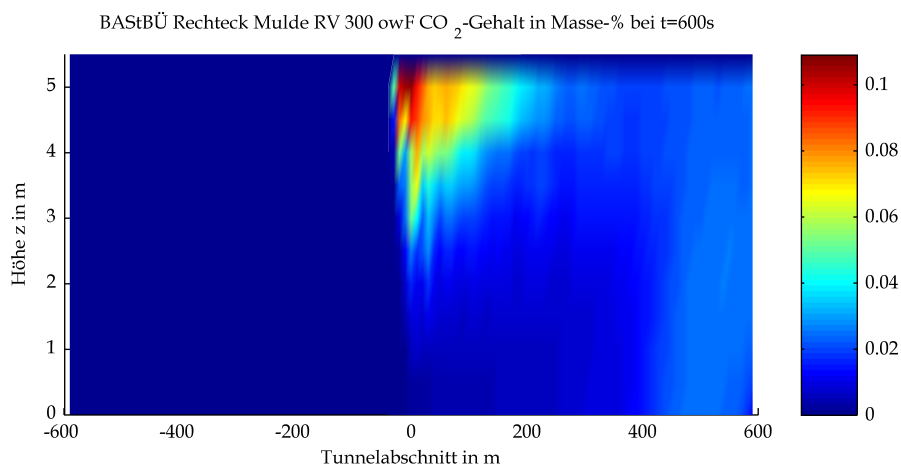
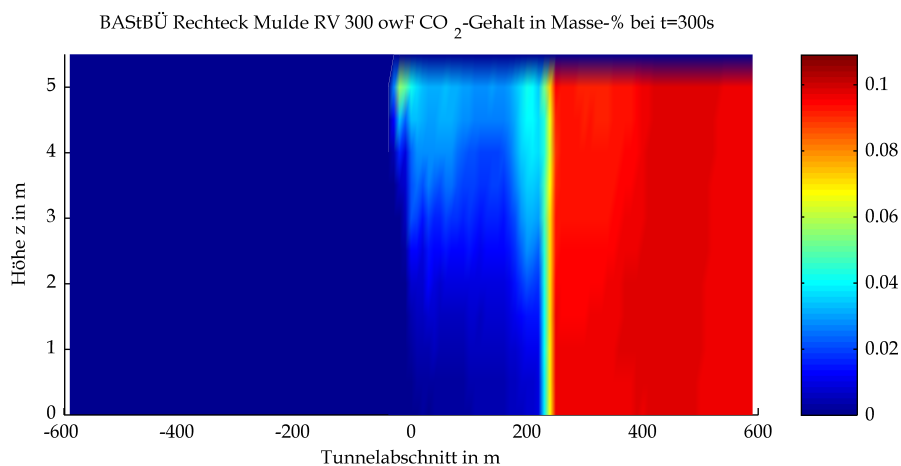
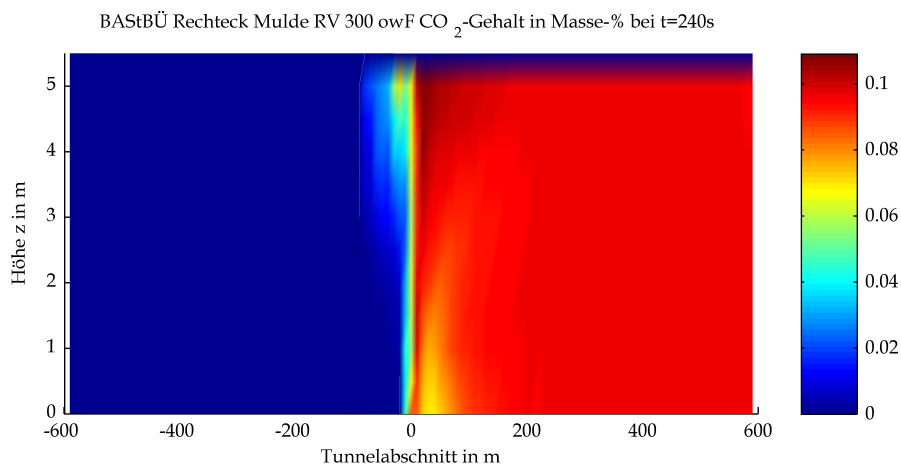


Mittels CFD-Berechnung ermittelte Sauerstoffgehalte

## 6 Kohlendioxidgehalt

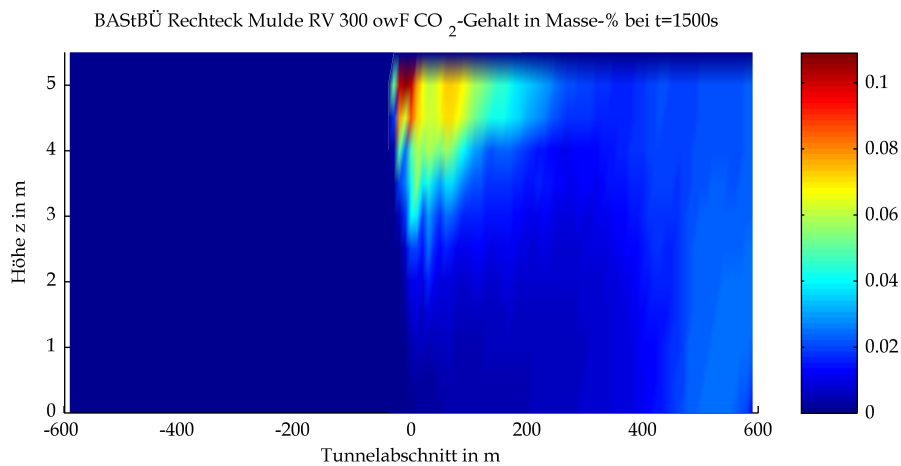
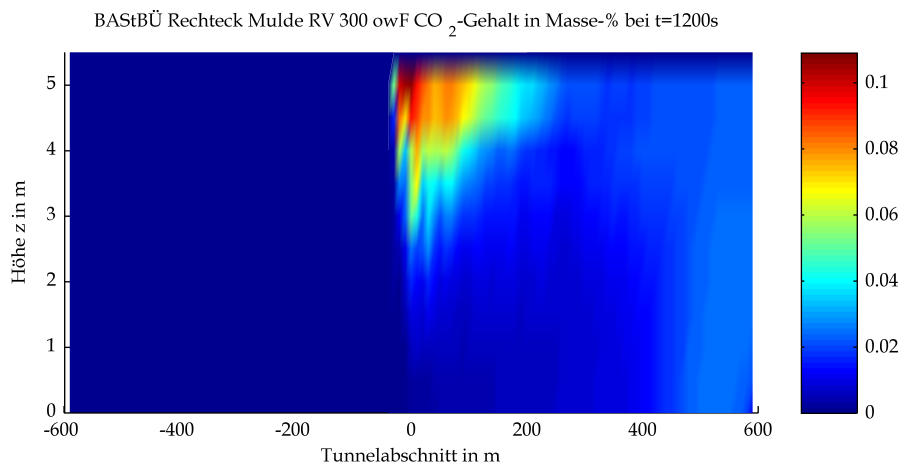
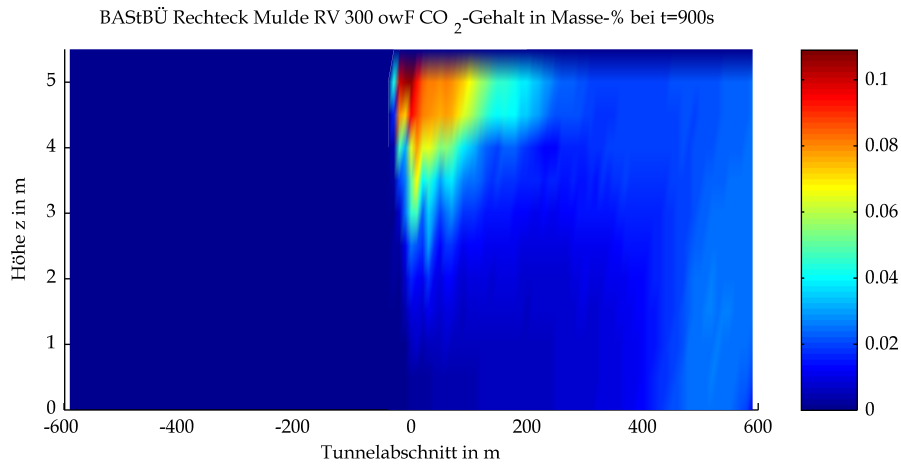


Mittels CFD-Berechnung ermittelte Kohlendioxidgehalte

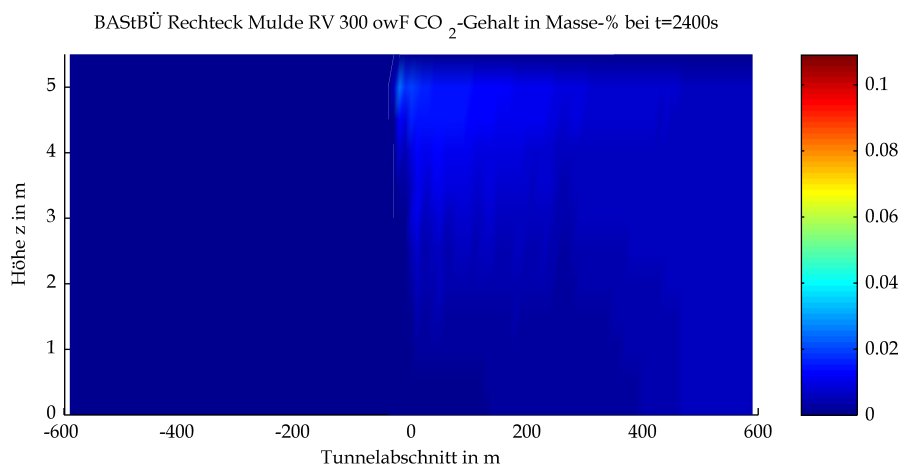
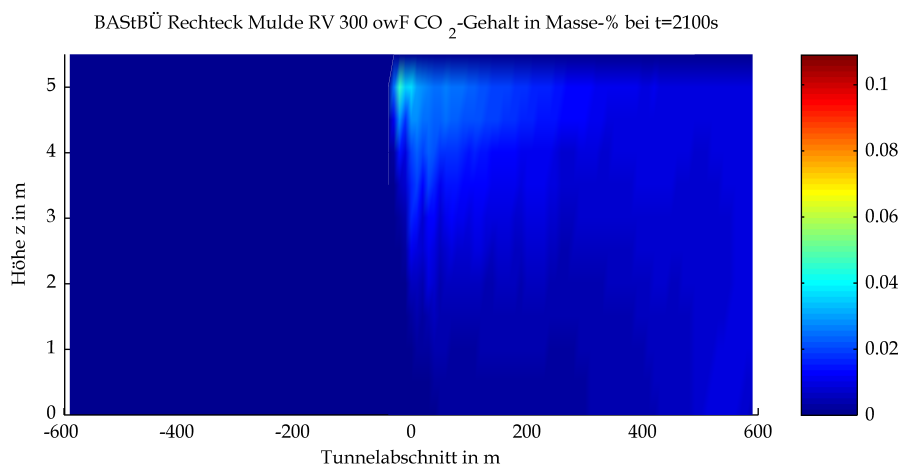
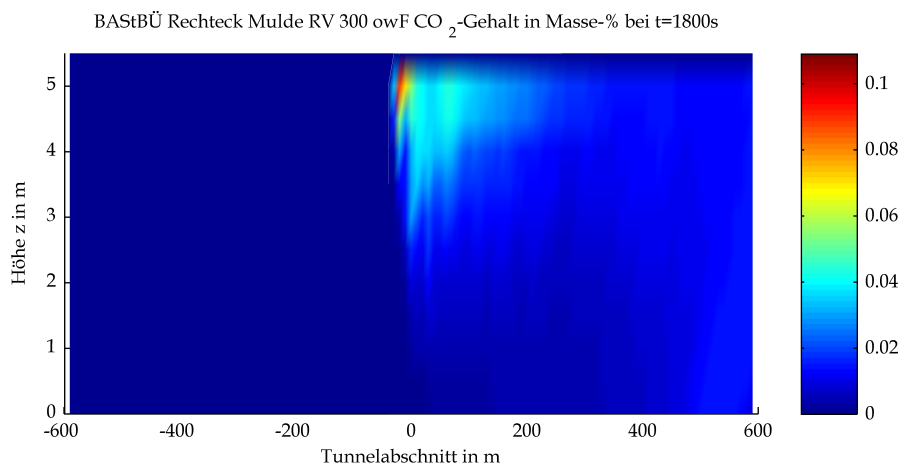


Mittels CFD-Berechnung ermittelte Kohlendioxidgehalte

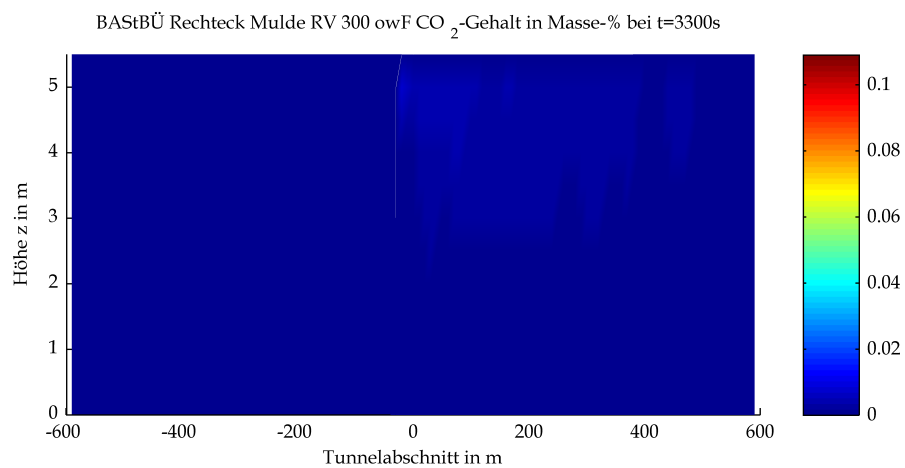
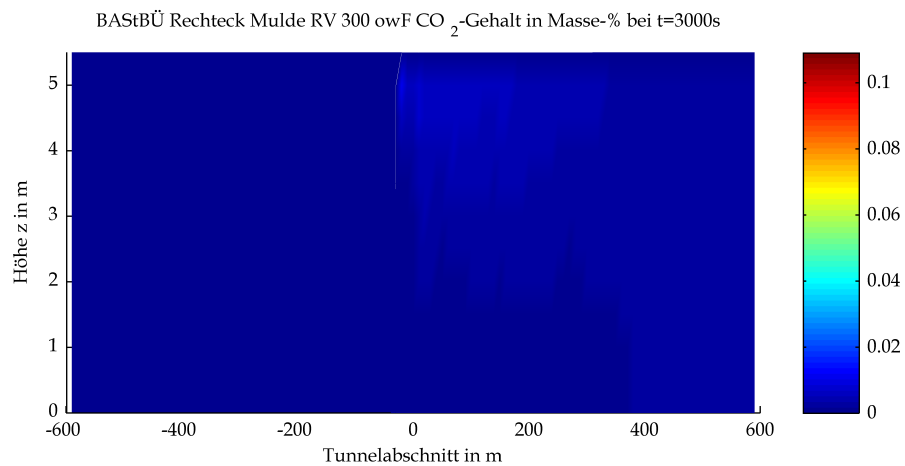
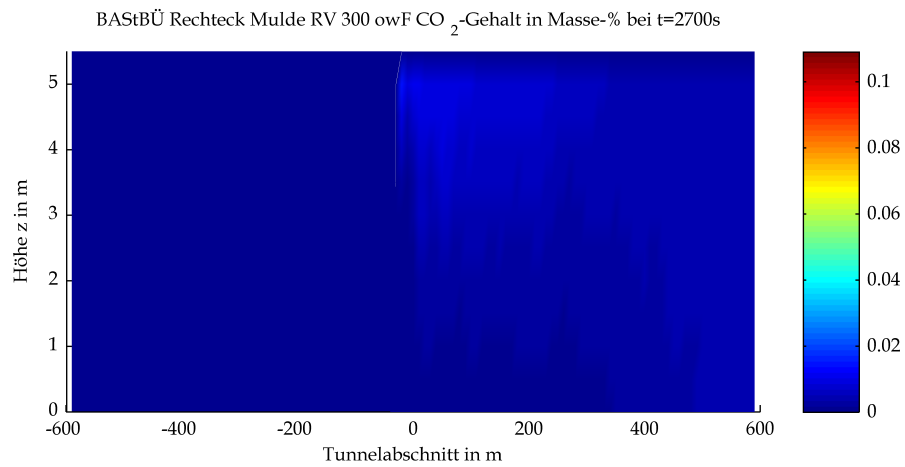




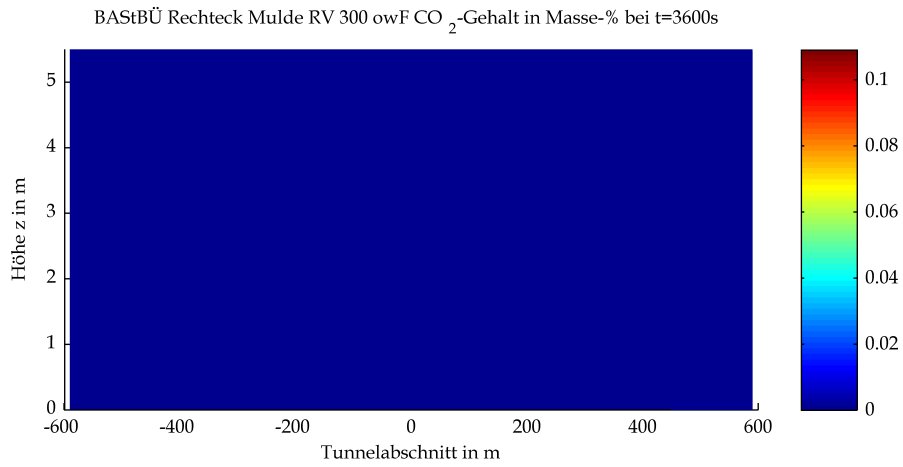
Mittels CFD-Berechnung ermittelte Kohlendioxidgehalte



Mittels CFD-Berechnung ermittelte Kohlendioxidgehalte

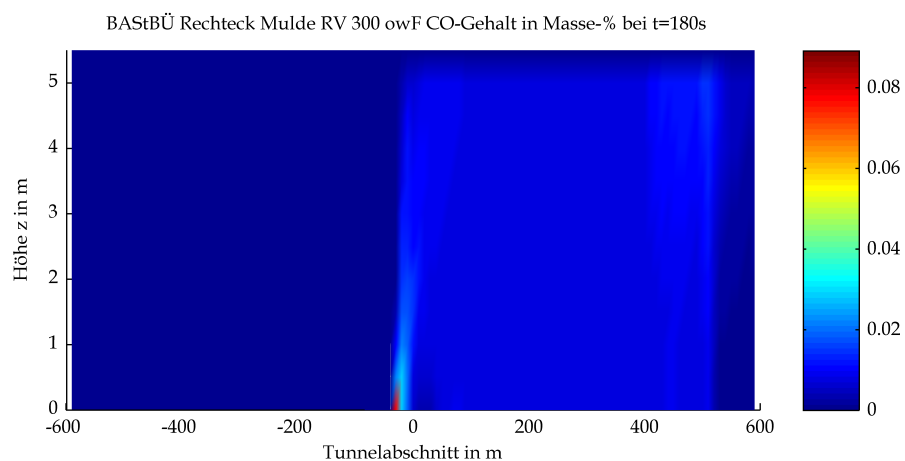
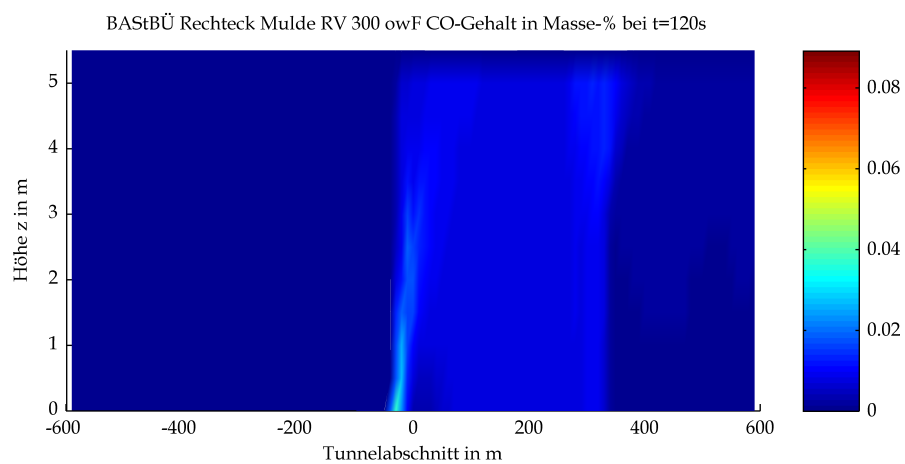
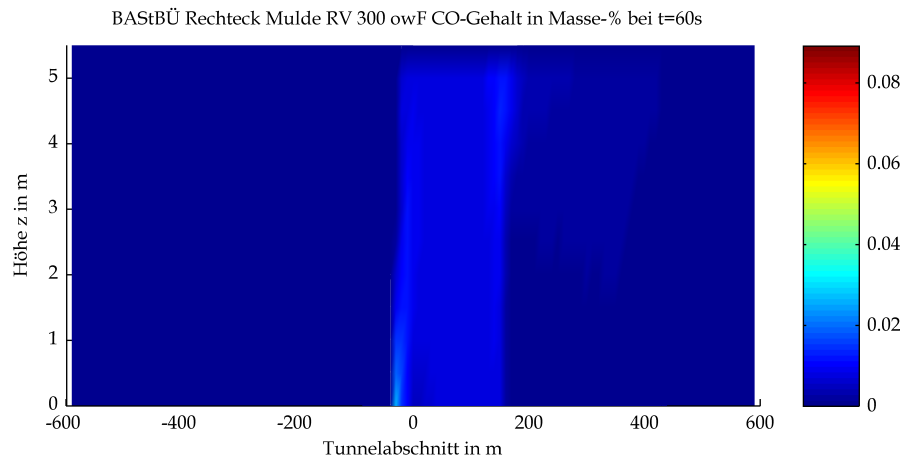


Mittels CFD-Berechnung ermittelte Kohlendioxidgehalte

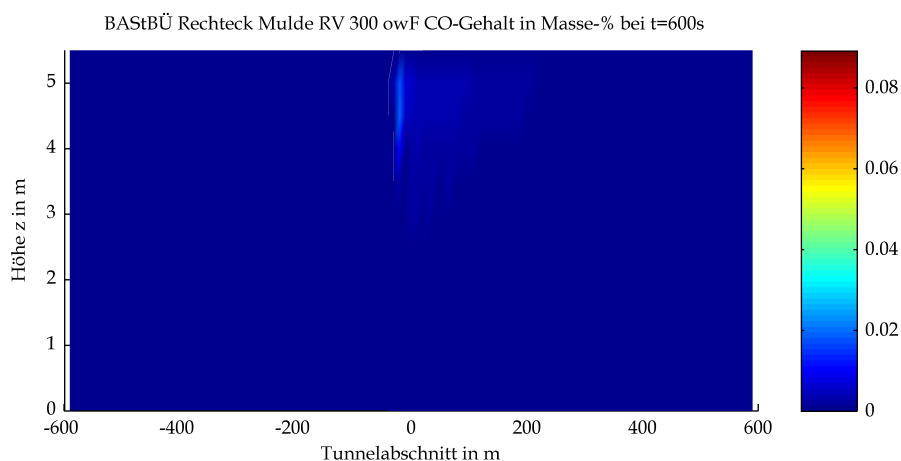
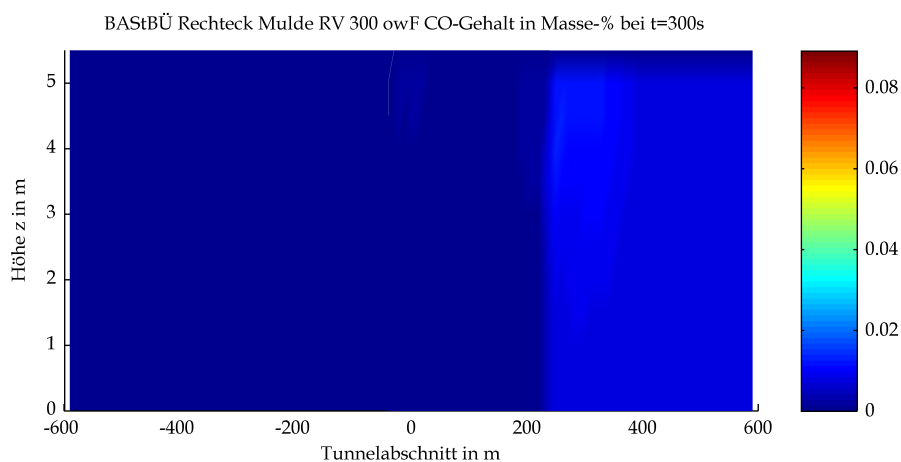
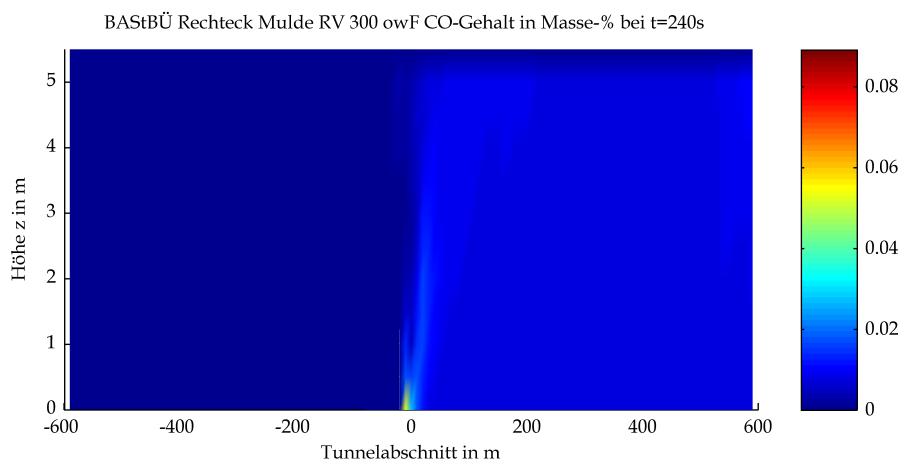


Mittels CFD-Berechnung ermittelte Kohlendioxidgehalte

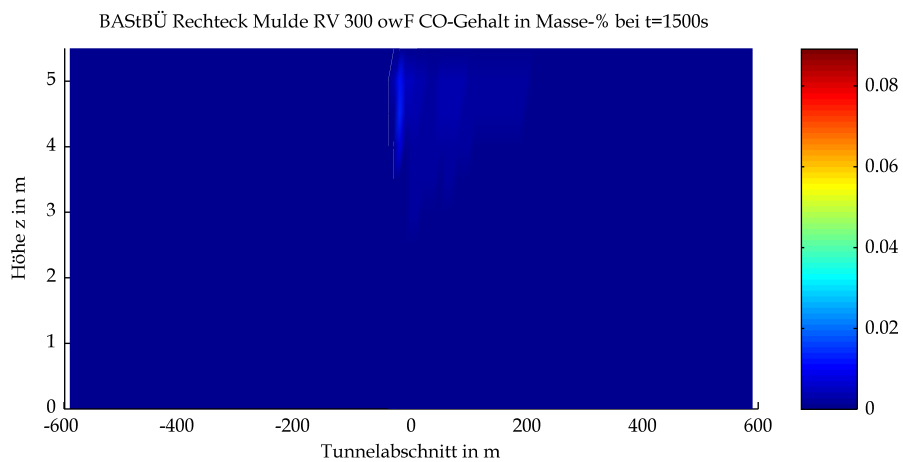
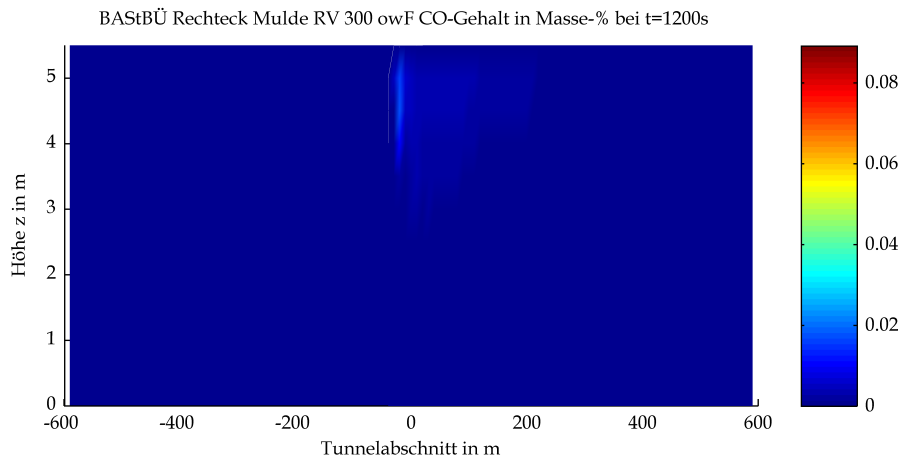
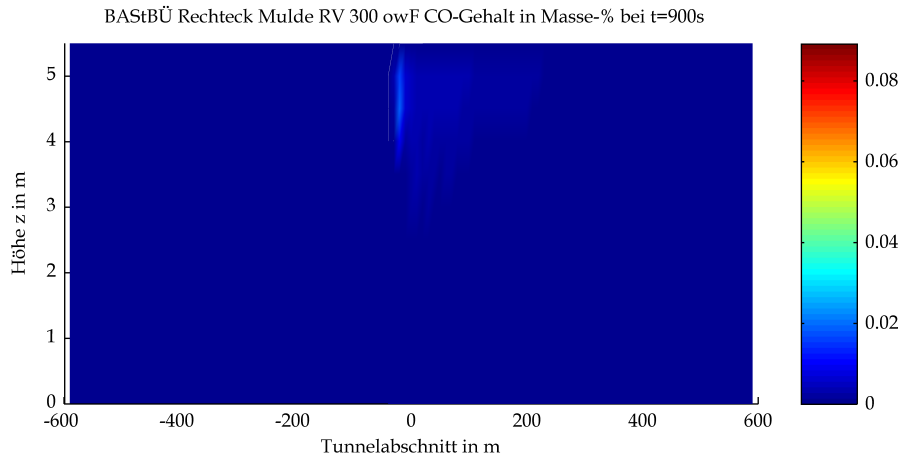
## 7 Kohlenmonoxidgehalt



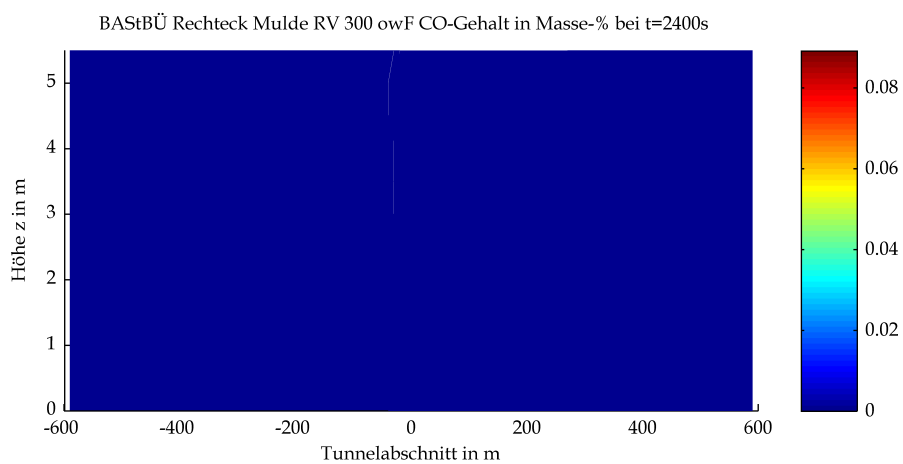
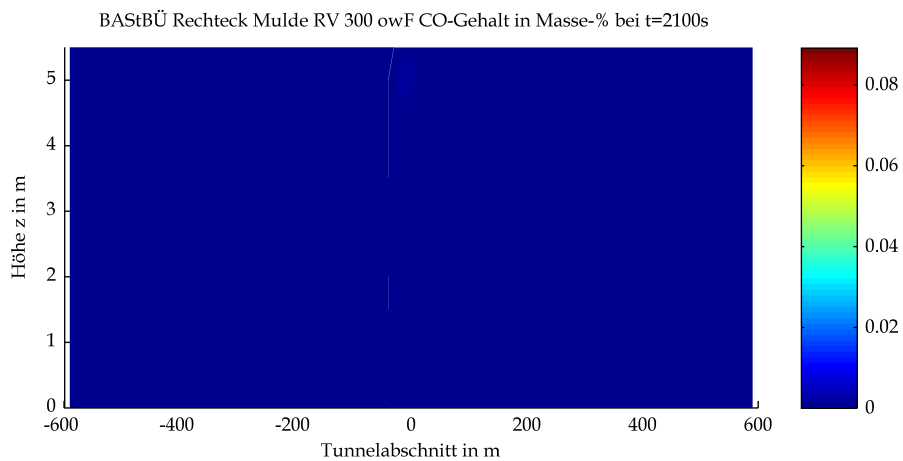
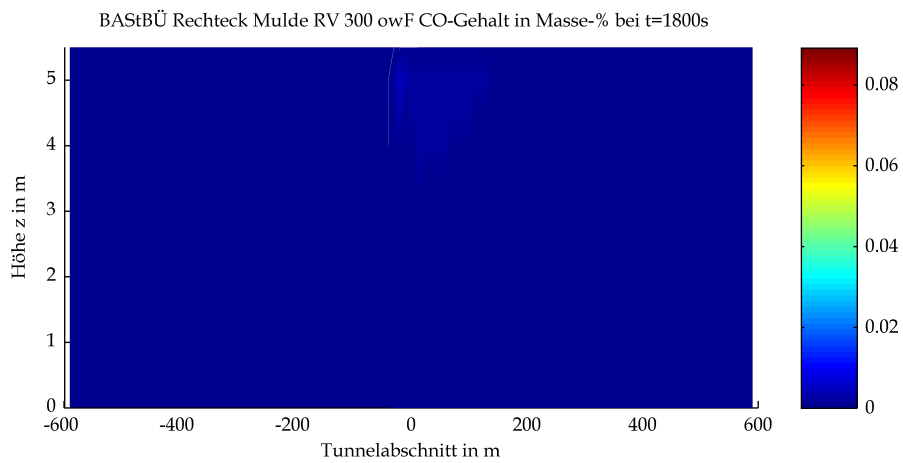
Mittels CFD-Berechnung ermittelte Kohlenmonoxidgehalte



Mittels CFD-Berechnung ermittelte Kohlenmonoxidgehalte

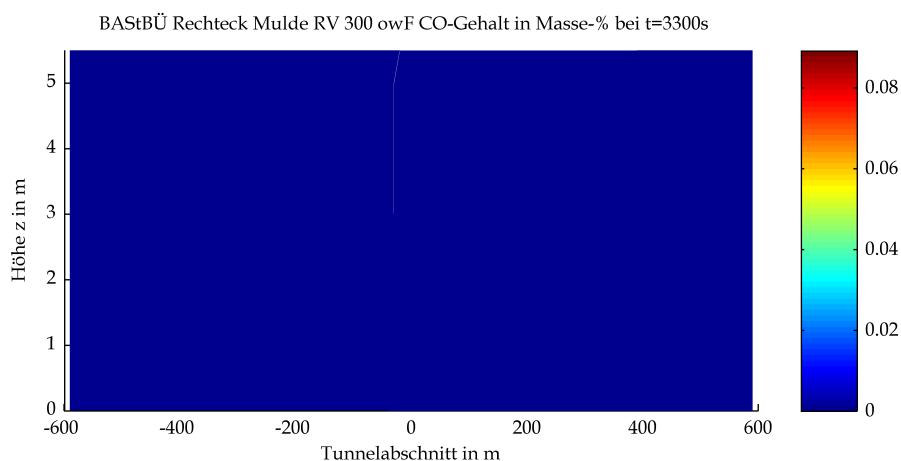
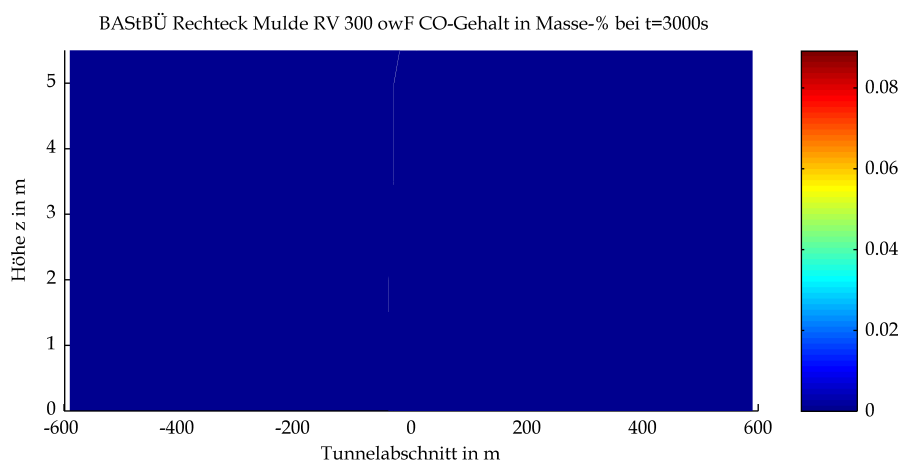
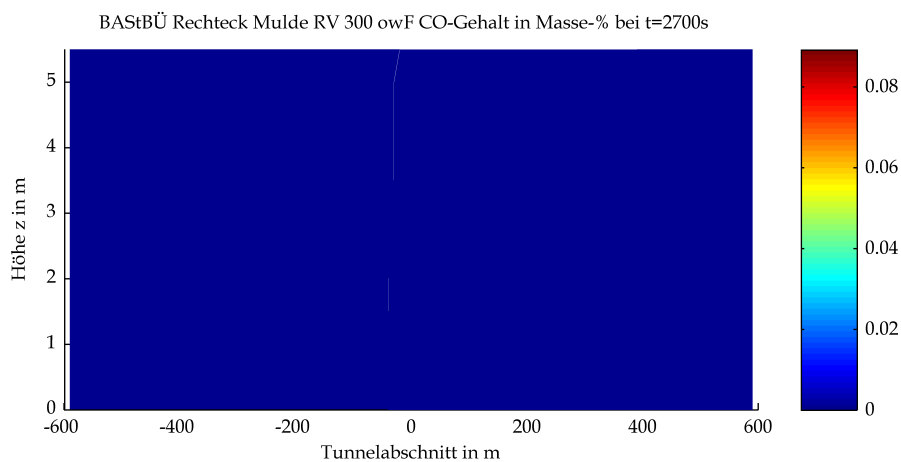


Mittels CFD-Berechnung ermittelte Kohlenmonoxidgehalte

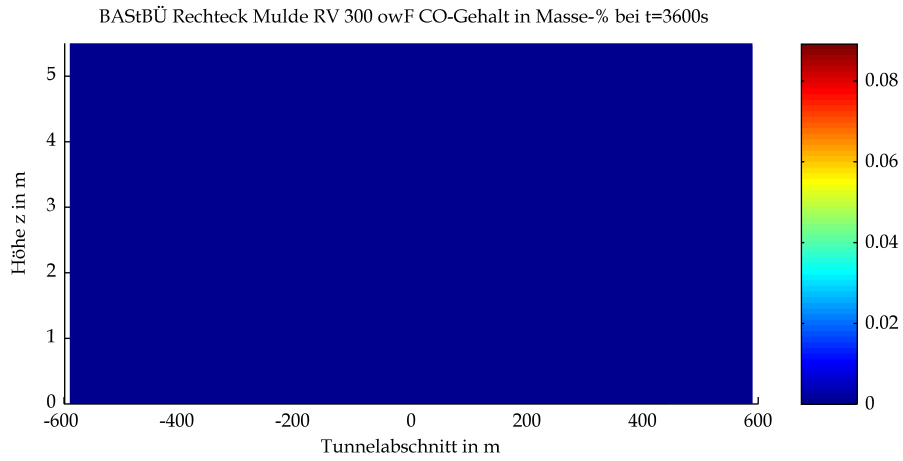


Mittels CFD-Berechnung ermittelte Kohlenmonoxidgehalte





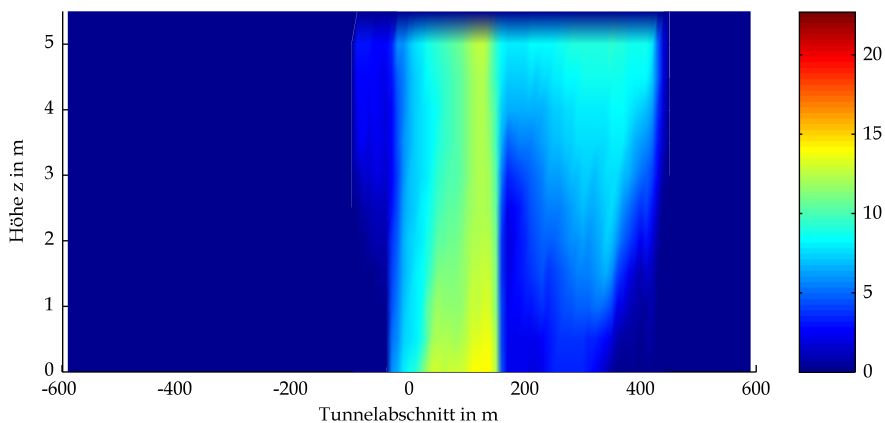
Mittels CFD-Berechnung ermittelte Kohlenmonoxidgehalte



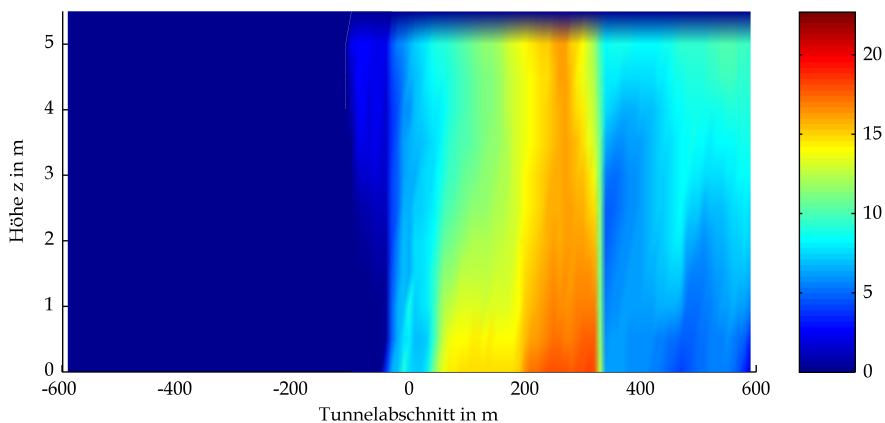
Mittels CFD-Berechnung ermittelte Kohlenmonoxidgehalte

## 8 Optische Dichte

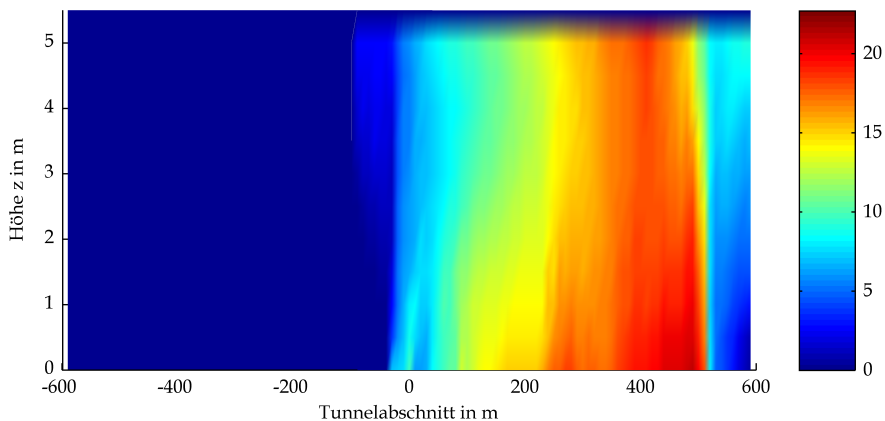
BAStBÜ Rechteck Mulde RV 300 owF Optische Dichte bei t=60s



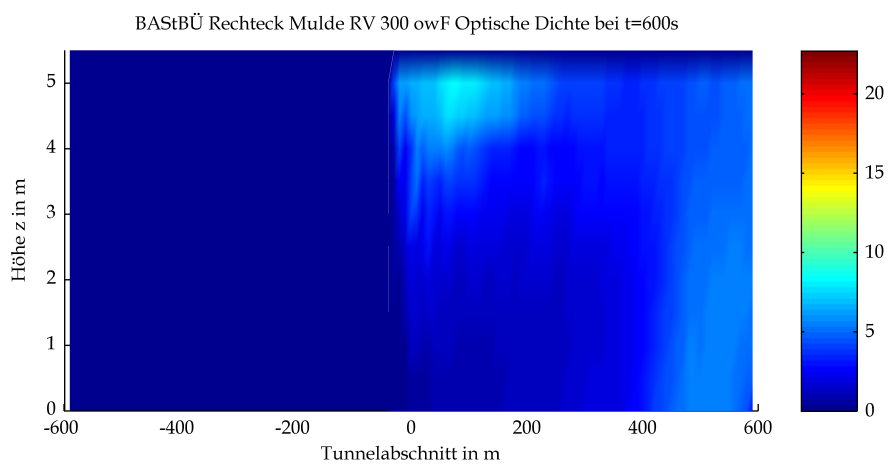
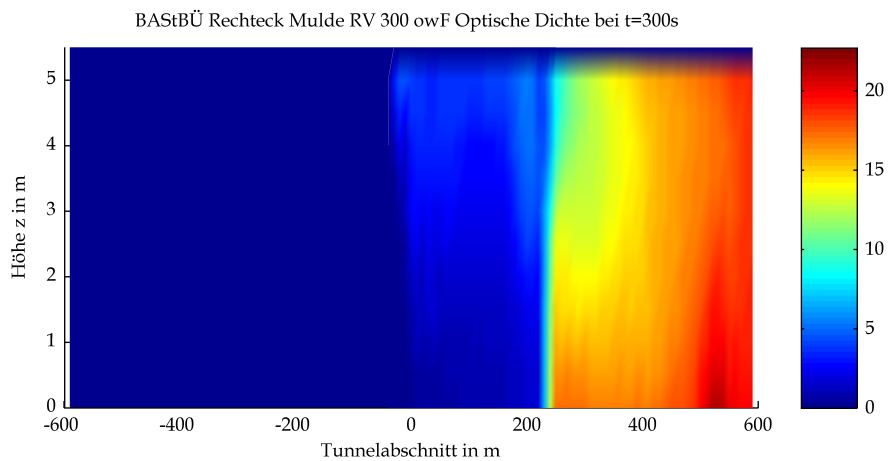
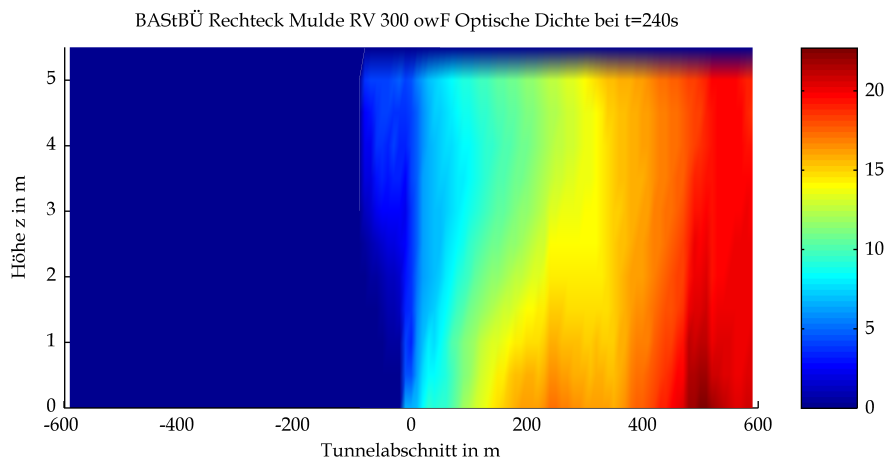
BAStBÜ Rechteck Mulde RV 300 owF Optische Dichte bei t=120s



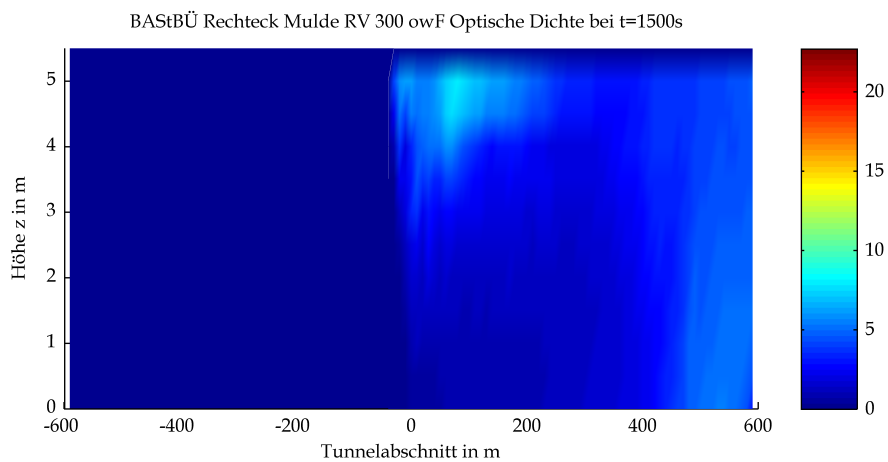
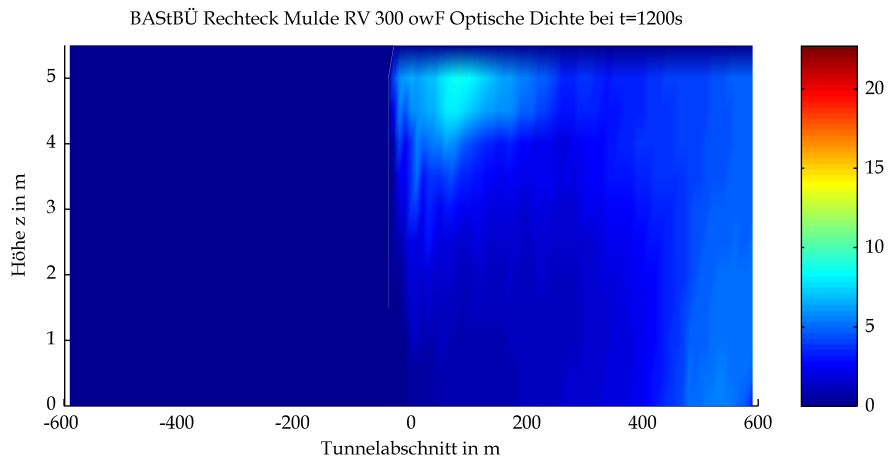
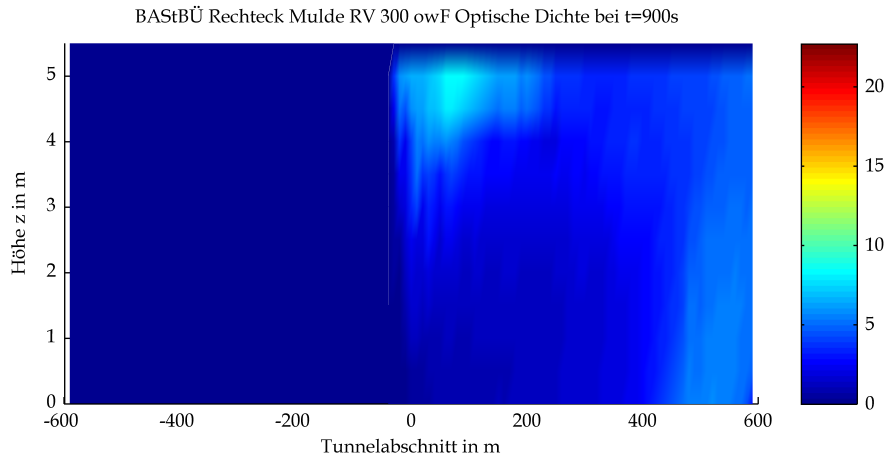
BAStBÜ Rechteck Mulde RV 300 owF Optische Dichte bei t=180s



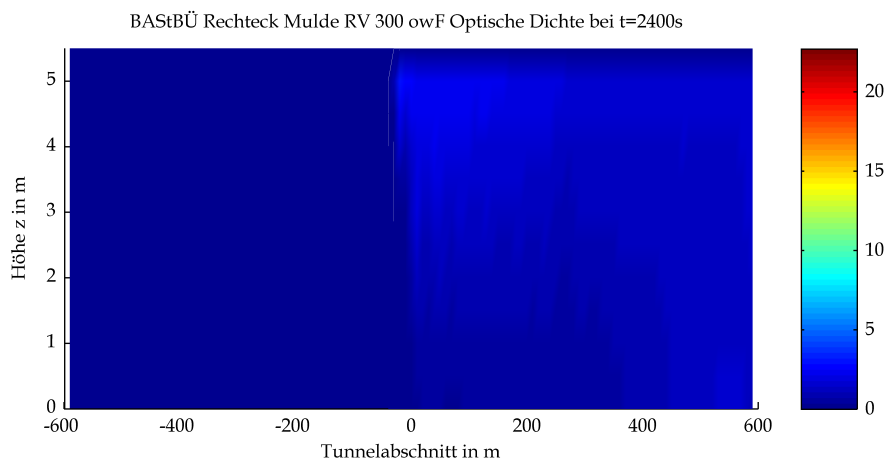
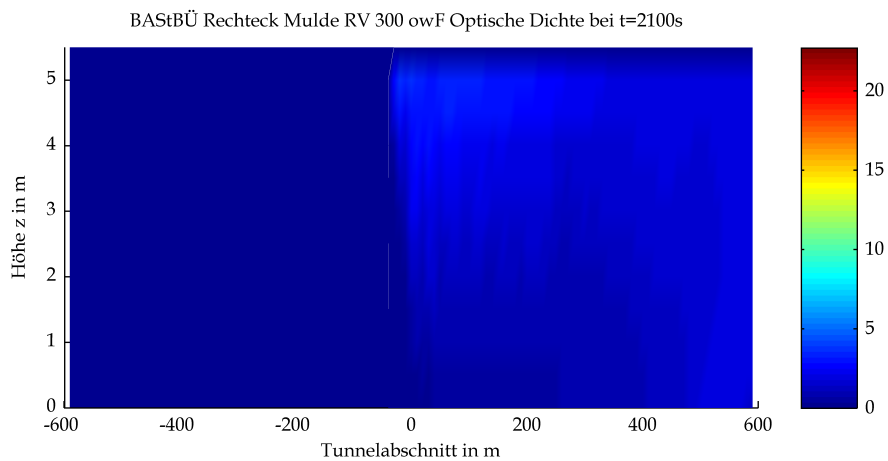
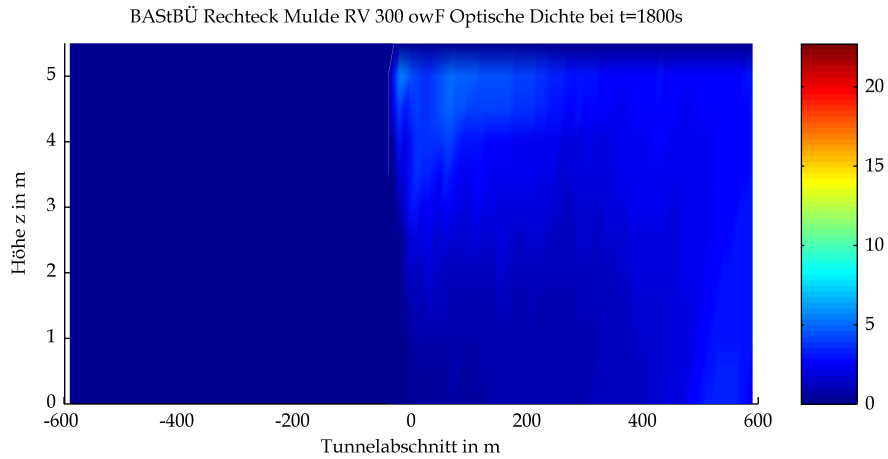
Mittels CFD-Berechnung ermittelte optische Dichten



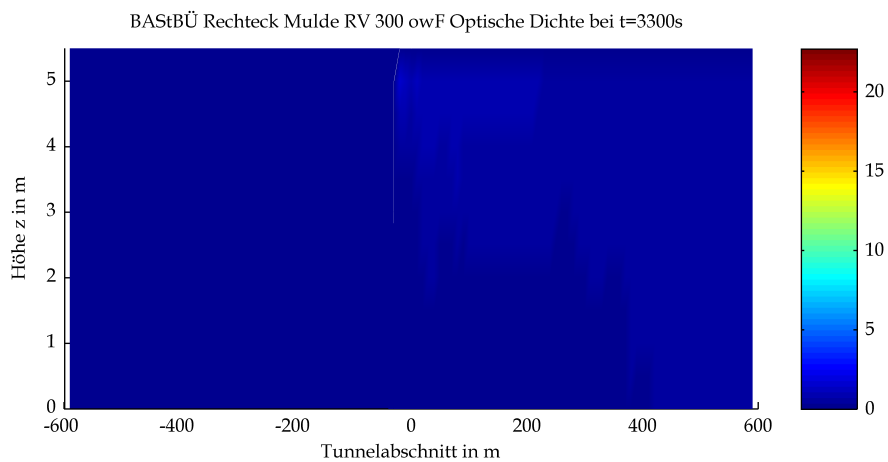
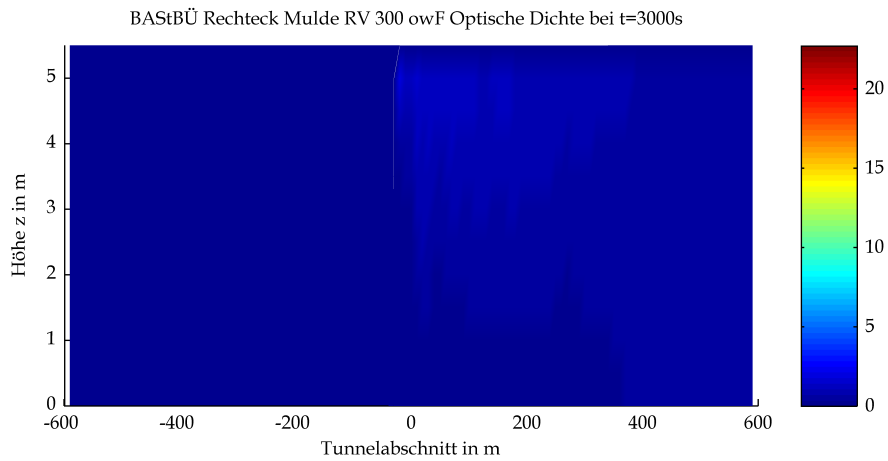
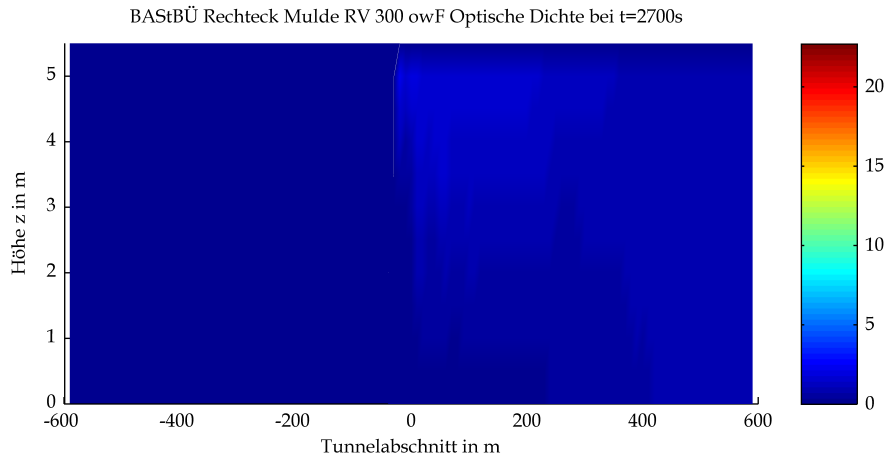
Mittels CFD-Berechnung ermittelte optische Dichten



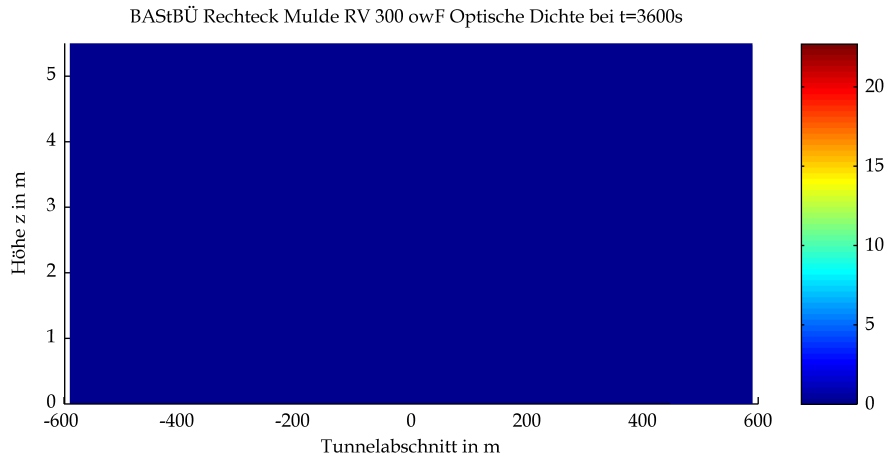
Mittels CFD-Berechnung ermittelte optische Dichten



Mittels CFD-Berechnung ermittelte optische Dichten



Mittels CFD-Berechnung ermittelte optische Dichten

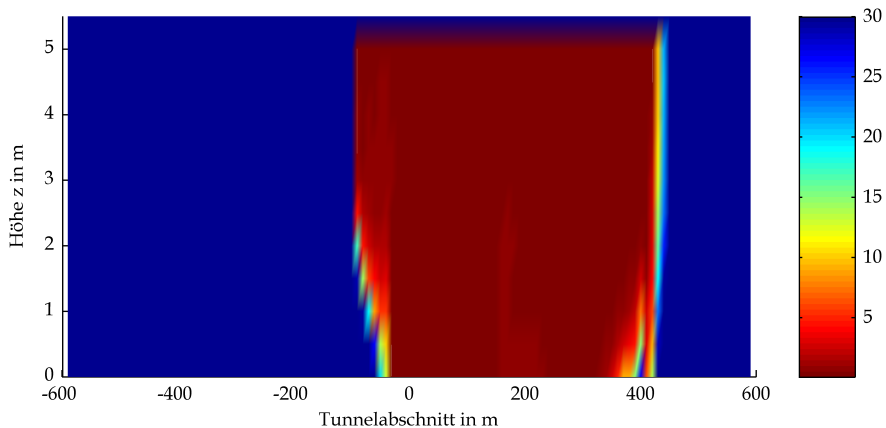


Mittels CFD-Berechnung ermittelte optische Dichten

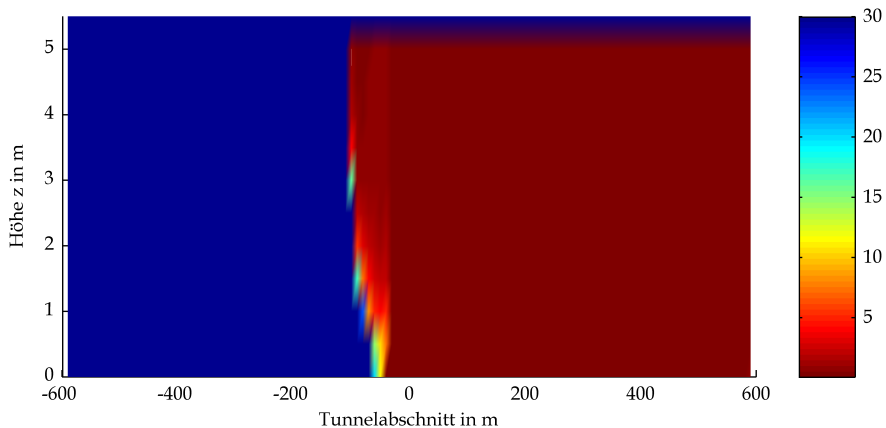


## 9 Sichtweiten

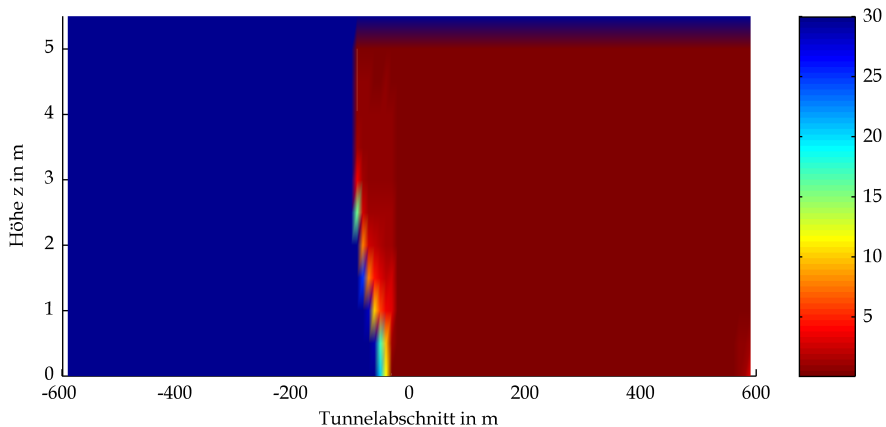
BAStBÜ Rechteck Mulde RV 300 owF Sichtbarkeit in m bei t=60s



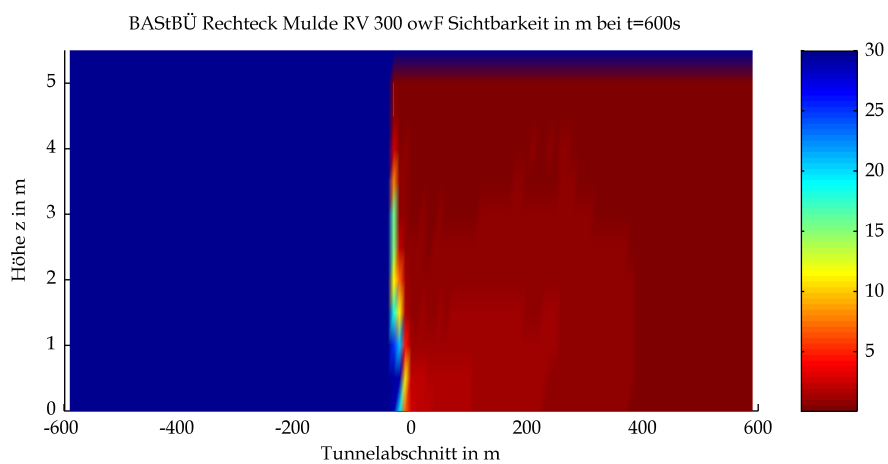
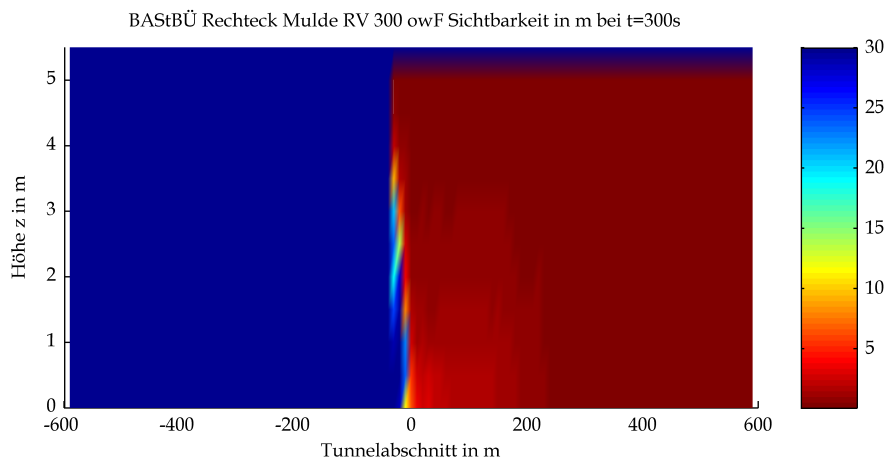
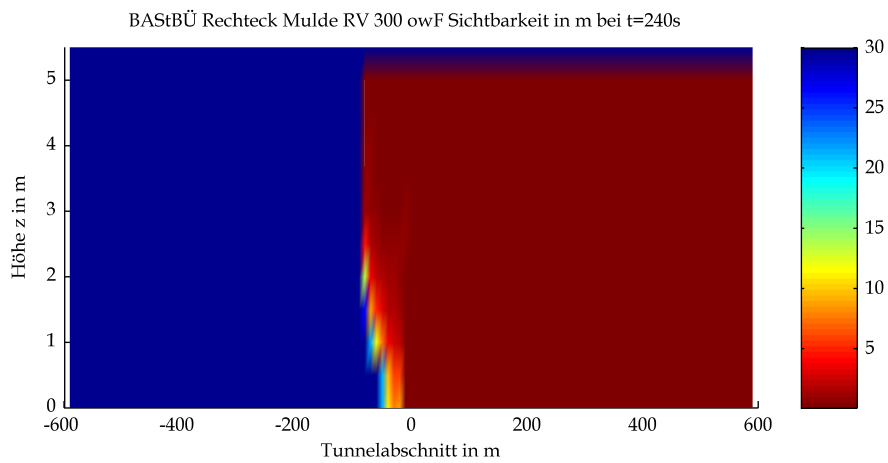
BAStBÜ Rechteck Mulde RV 300 owF Sichtbarkeit in m bei t=120s



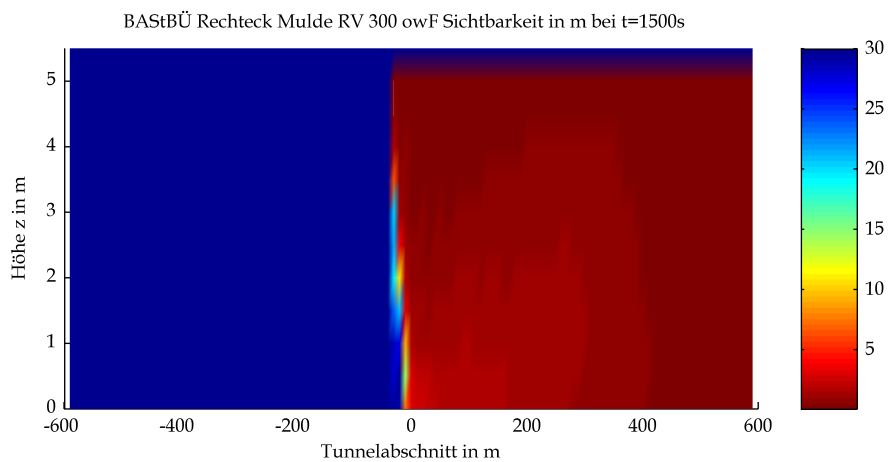
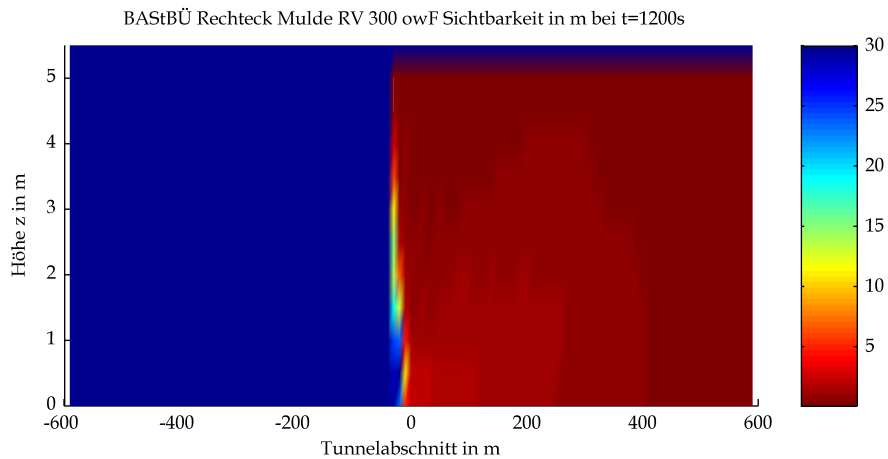
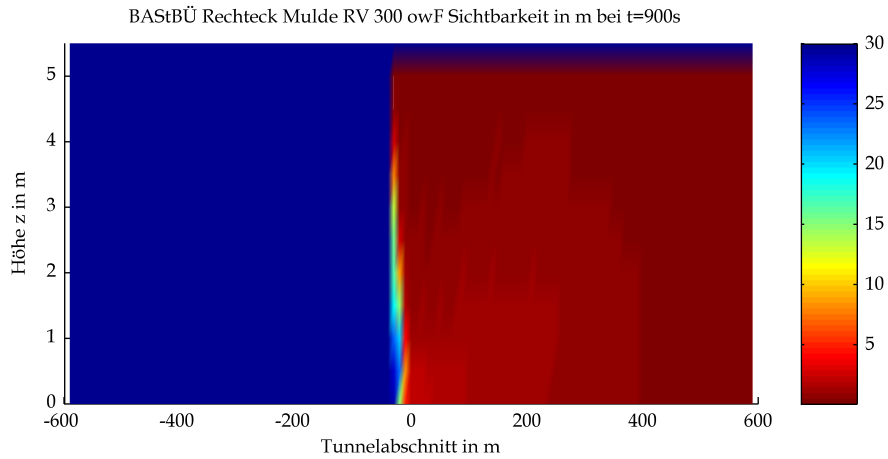
BAStBÜ Rechteck Mulde RV 300 owF Sichtbarkeit in m bei t=180s



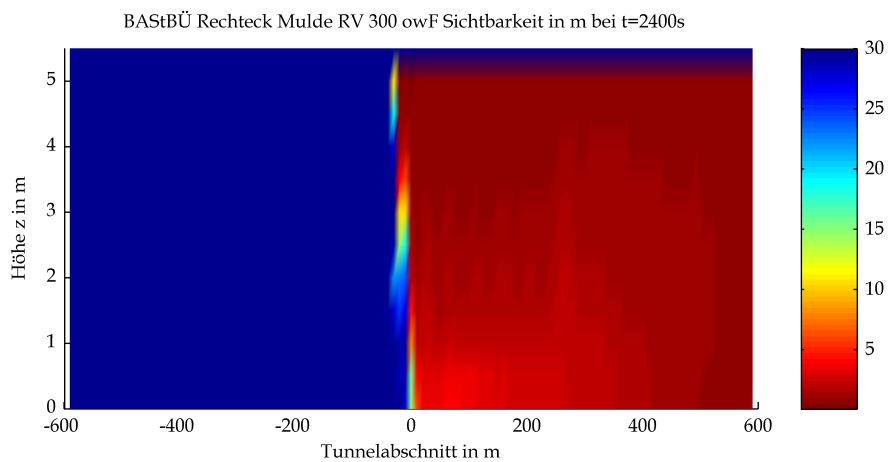
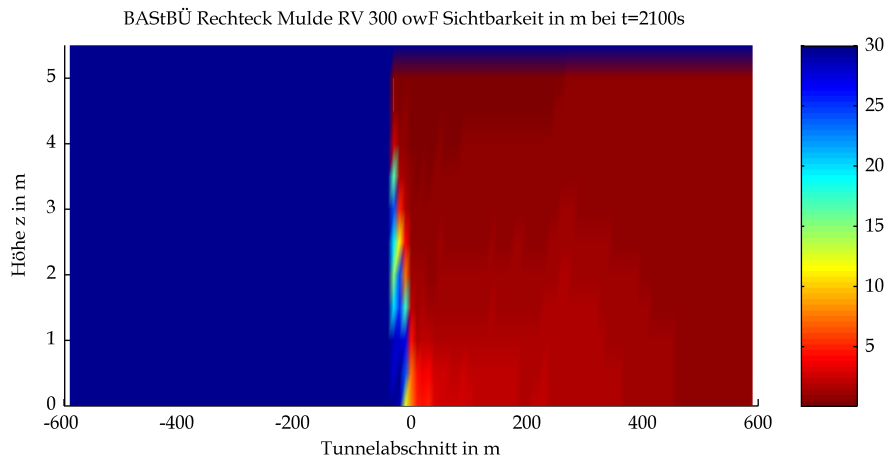
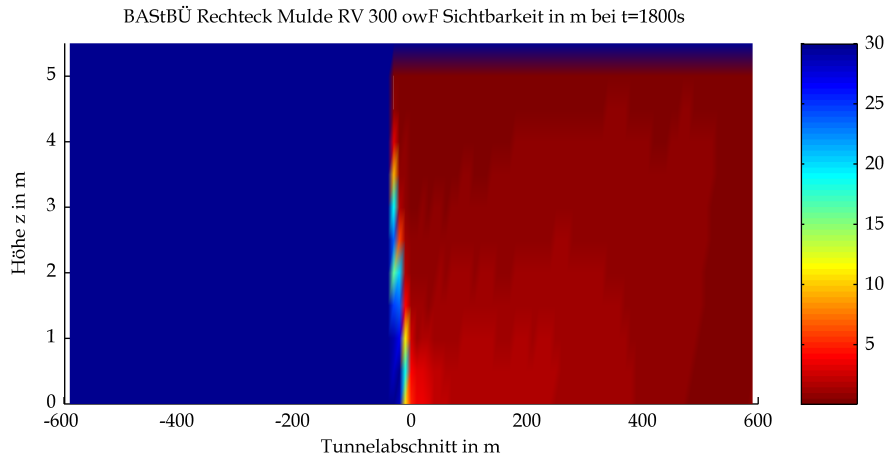
Mittels CFD-Berechnung ermittelte Sichtweiten



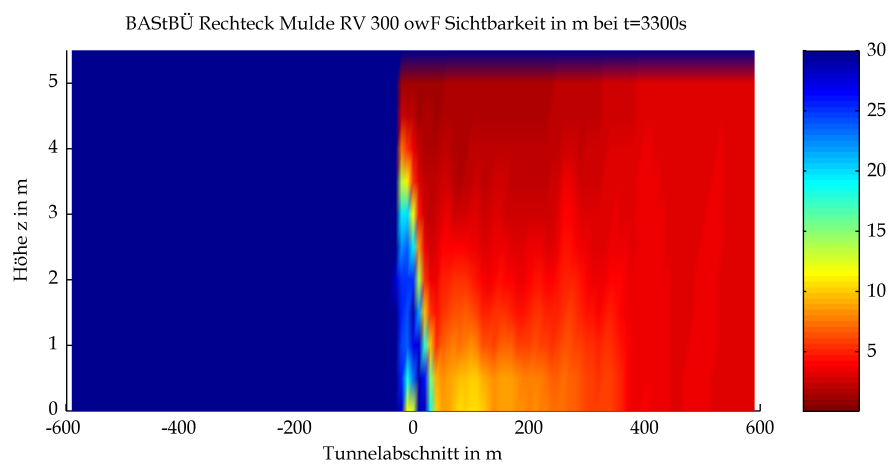
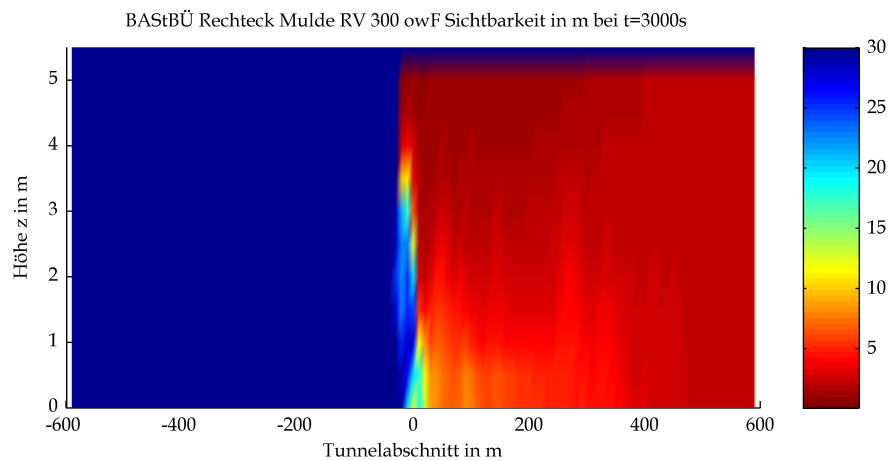
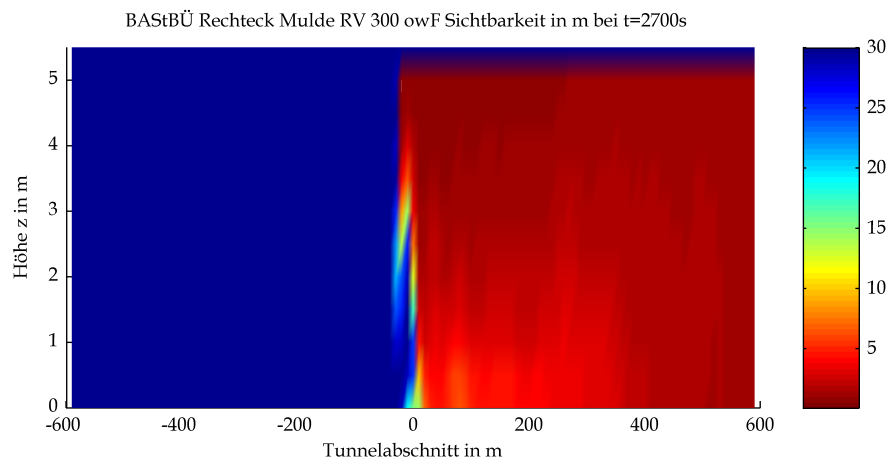
Mittels CFD-Berechnung ermittelte Sichtweiten



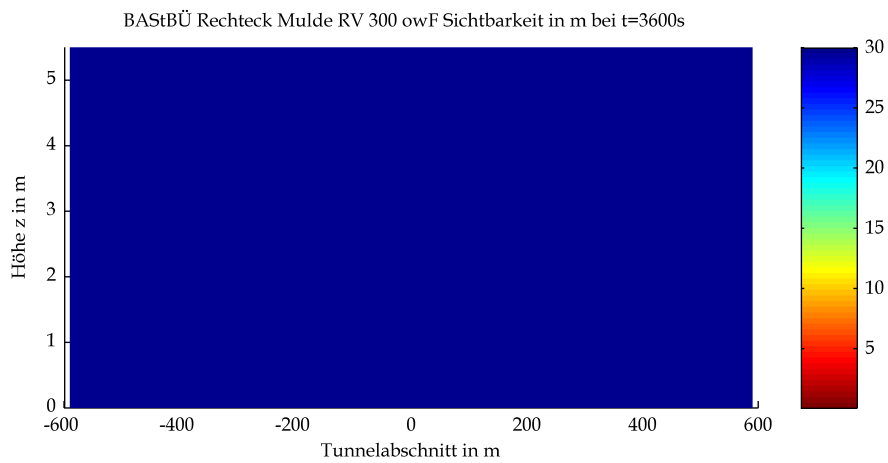
Mittels CFD-Berechnung ermittelte Sichtweiten



Mittels CFD-Berechnung ermittelte Sichtweiten

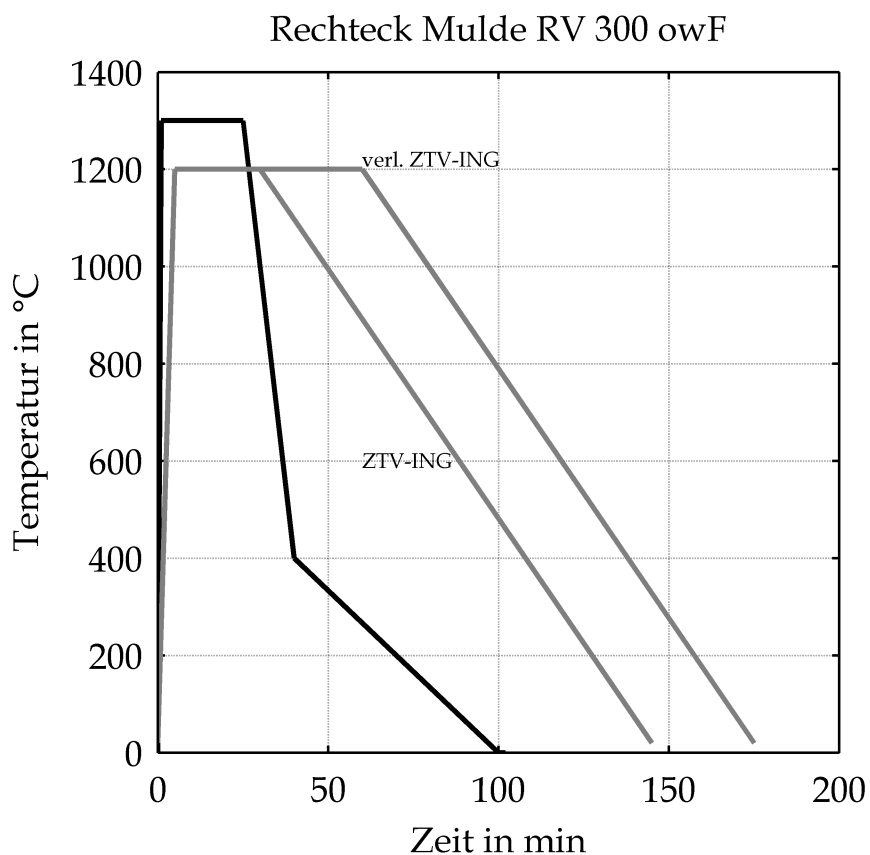


Mittels CFD-Berechnung ermittelte Sichtweiten



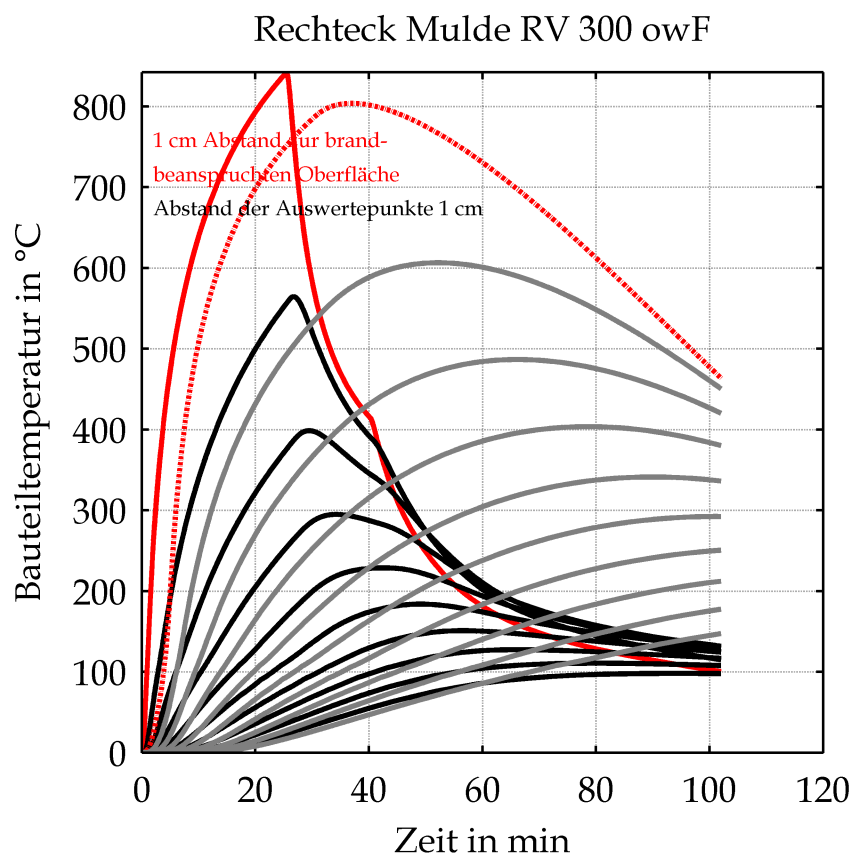
Mittels CFD-Berechnung ermittelte Sichtweiten

## IV Bewerteter Temperatur-Zeit-Verlauf



Bewerteter Temperatur-Zeit-Verlauf unter Berücksichtigung der Ventilationsbedingungen bzw. der Sauerstoffversorgung (schwarz) sowie Temperatur-Zeit-Verlauf nach ZTV-ING und RWS-Kurve (beide grau)

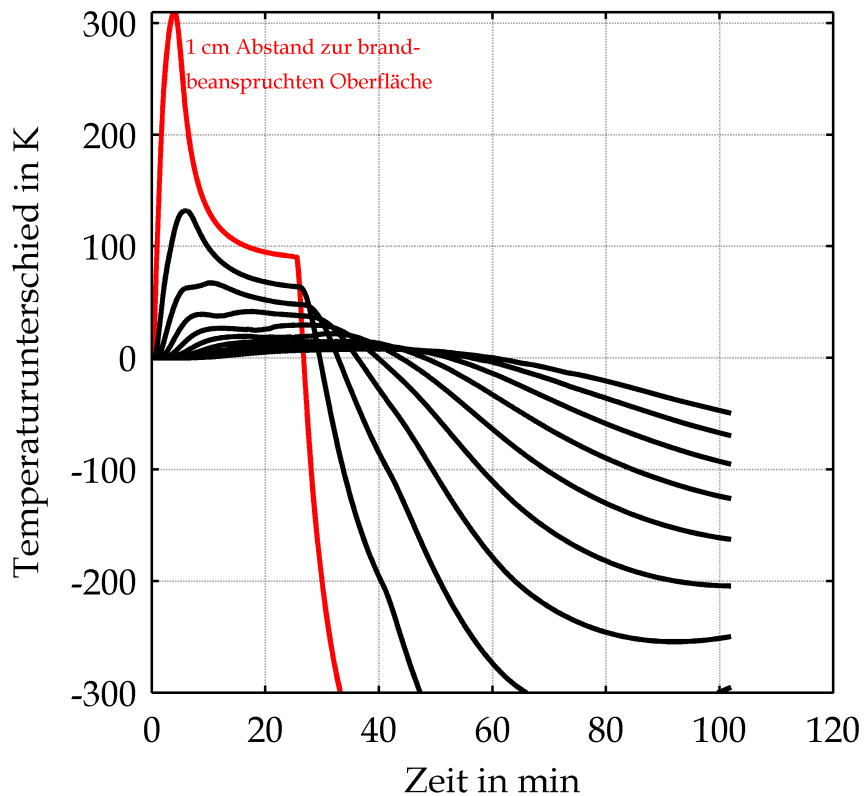
## V Durchwärmungsverhalten



Bauteiltemperaturen in Abhängigkeit von der Zeit und dem Abstand zur Bauteiloberfläche für den bewerteten Temperatur-Zeit-Verlauf (rot und schwarz) und infolge ZTV-ING-Temperatur-Zeit-Kurve (rot gestrichelt, grau)

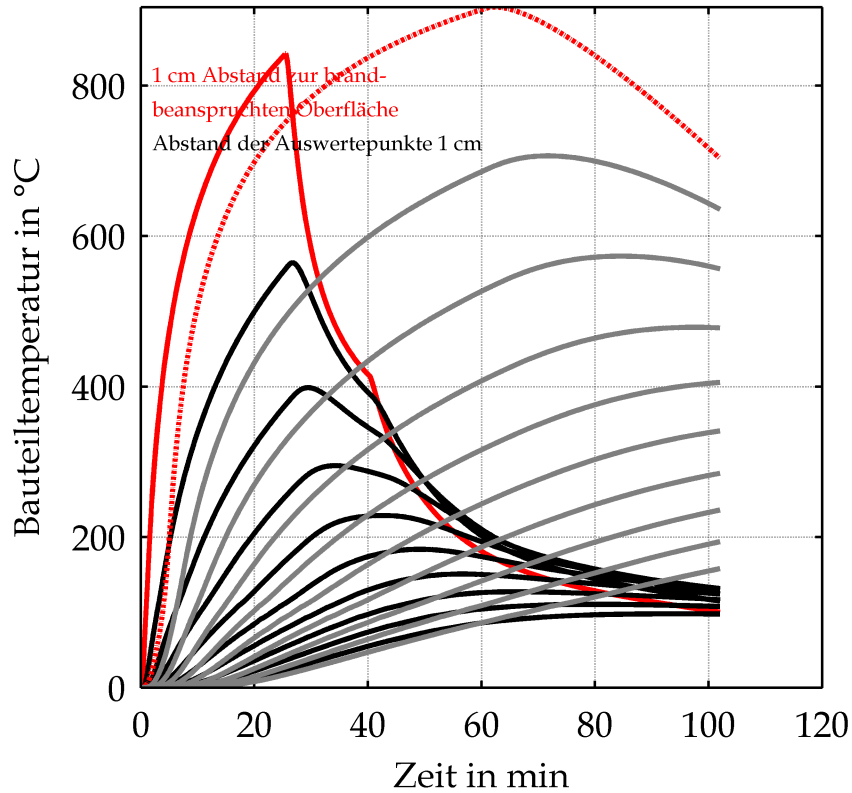


### Rechteck Mulde RV 300 owF



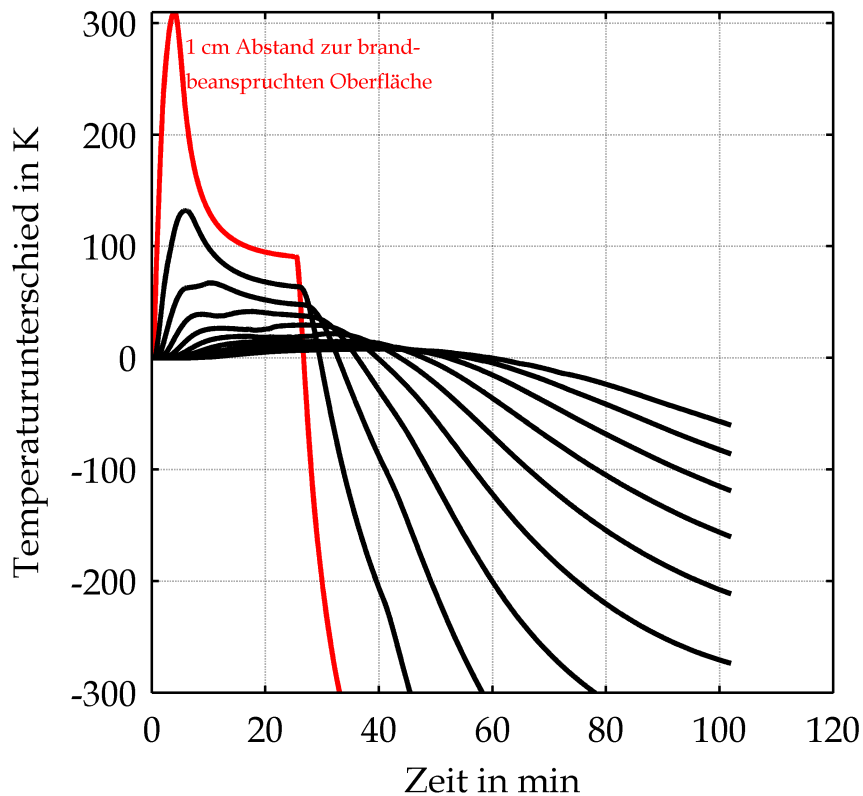
Temperaturdifferenz in Abhängigkeit von der Zeit und dem Abstand zur Bauteiloberfläche zwischen den Bauteiltemperaturen infolge des bewerteten Temperatur-Zeit-Verlauf und der ZTV-ING-Temperatur-Zeit-Kurve

### Rechteck Mulde RV 300 owF



Bauteiltemperaturen in Abhängigkeit von der Zeit und dem Abstand zur Bauteiloberfläche für den bewerteten Temperatur-Zeit-Verlauf (rot und schwarz) und infolge verlängerter ZTV-ING-Temperatur-Zeit-Kurve (rot gestrichelt, grau)

### Rechteck Mulde RV 300 owF



Temperaturdifferenz in Abhängigkeit von der Zeit und dem Abstand zur Bauteiloberfläche zwischen den Bauteiltemperaturen infolge des bewerteten Temperatur-Zeit-Verlauf und der verlängerten ZTV-ING-Temperatur-Zeit-Kurve